

VYSOKÁ ŠKOLA STROJNÍ A TĚCHNICKÉ V LIBERCI

EDUČA. n. p. RICHTER



Kandidátská disertační práce

O B S A Z

	Strana
cel kandidátské disertační práce s hlediska etiket n. p. SKODA PLZEŇ	1
současnou snahostí o dané problematice	4
ochranující materiál použitý pro metalizaci, díveč jeho volby a vlivem vlastnosti ochraňujících průšvív	6
3.1 Úvod	6
3.2 Koruze - ochrana proti korozii	6
3.3 Riziky různých povrchových ochran preváděných v n.p. SKODA	9
teoretický rozbor vlivu nanometalizované klinickové vrstvy na vlastnosti základního materiálu, svá- rového kovu a spoje	36
4.1 Úvod, základní teoretické úvahy o vlivu svá- rování na vlastnosti základního materiálu, svarového kova a spoje	36
4.2 Základní teoretické úvahy o stáruvání ocelí ..	22
4.3 Přidavný vliv nanometalizované klinickové vrst- vy na vlastnosti základního materiálu, svá- rového kova a spoje	27
4.31 Přidavný vliv nanometalizované klinickové vrstvy na metalurgické děje při tavení svárování elektrodeni a z teče vyplyva- jici množství vlastnosti svarového kova a spoje	28
4.311 Základní teoretické úvahy o meta- lurgických dějích při tavení svá- rování elektrodeni	28
4.312 Vliv nanometalizované klinickové vrst- vy na ionizaci elektrického otoku	30
4.313 Vliv nanometalizované klinickové vrst- vy na desoxydaci a krystallizaci tavu lázně /velikost mma/ a stár- ení svarového kova	31

4.314 Vliv nanometalizované klinickové vrstvy na vznik nových fází v přechodové oblasti svaru	33
4.32 Přídavný teplotní vliv nanometalizované klinickové vrstvy na stářínaní základního materiálu a svařového spoje	46
4.4 Návrh zkoušek pro ověření správnosti teoretických úvah	54
Experimenterální část kandidátské práce	55
4.1 Použitá technologie metalizace pro zkoušky	55
4.2 Vlastní technická údaje použitého ochranného materiálu	55
4.3 Strukturální složení nanometalizované klinickové vrstvy	56
4.4 Základní materiál použity pro zkoušky	57
4.5 Přídavný materiál použity pro zkoušky	61
4.6 Změna mechanických vlastností svařového kovu vlivem nanometalizované klinickové vrstvy	65
4.7 Změna mechanických vlastností svařového spoje vlivem nanometalizované klinickové vrstvy	73
5.71 Povrchovní zkoušky svařových spojů	75
5.72 Zkoušky vrubové houževnatosti svařového spoje	78
5.73 Ohýbačí zkoušky svařového spoje	84
5.74 Průběh tvrdosti svařového spoje	86
5.75 Návarevá zkouška ohýbační	91
5.76 Návarevá zkouška rázová	96
5.77 Tříškové zkoušky	101
5.8 Metalografické vyhledávání a chemický rozbor svařových spojů	106
5.9 Podrobné ověření vlastnosti přechodové oblasti svařový kov - základní materiál	131

5.91	Ověření mechanických vlastností	131
5.92	Metalografický rozbor optickou a elektro- nevnou mikroskopii	137
5.93	Elektronová difrakce, identifikace disperzního precipitátu	133
5.94	Rozložení nečistot, vlnětek ve svařovém kovu	134
10	Ověření přidavného teplotního vlivu nanostali- zované hliníkové vrstvy na stárnutí základního materiálu a svařového spoje	136
5.101	Teploty dosahované na povrchu základního materiálu při různých tloušťkách nanoste- lizované vrstvy	136
5.102	Ověření přidavného teplotního vlivu na- taliace na stárnutí základního materiá- lu a svařového spoje	131
11	Rozbor dosažených výsledků a závěry	197
	 úprava materiálu a technologie svařování navrhnuté základě zkoušek	201
	 základní literatura	202

V souvislosti s odovzdáním této kandidátské disertační
se povražduji za svou zálohu povinnost poděkovat svému ške-
ru s. prof. Ing. Josefu Ditlerovi CSc za výborné vedení
z studia, za cenné rady při upracování této práce.

Rovněž chci poděkovat vedení n. p. ŠKODA Plzeň za poskyt-
ení možnosti svýšit si touto cestou svéjí kvalifikaci, za
možnost provést experimentální zkoušky.

Dále bych chtěl poděkovat doc. Ing. Václavu Pileckovi DrSc,
, Františku Janděčkovi CSc z Ústředního výzkumného a vývojového
ústavu n. p. ŠKODA za cenné rady při konsultaci dřívejších
lesků a při upracování závěrečné práce.

Závěrem bych chtěl poděkovat s. Čadkovi z Ořechu zezvoje
muzikologie a m. Vysráloví a Světlíkovi z Ústředního výzkum-
ného a vývojového ústavu n. p. ŠKODA za zajistění a provedení
lesků.

al kandidátské disertační práce z hlediska potřeb
p. ŠKODA

Celosvětovým projevem současných rozvoje techniky je snaha o maximální hospodárnost a snižování vlastních ráklých výroby. Těžimi položkami nákladů jsou materiál a mzdy, např. v n.p. Plzeň činí náklady na materiál cca 41 %, mzdy 40 % z celých nákladů na výrobu [11]. Tyto uvedené údaje nám jasně ukazují, kterými je nutno se ubírat, má-li se dosáhnout nejlepších ekonomických výsledků v našem národním hospodářství – iit se na úspory materiálu a mezd /pracnosti/.

Cestou nastoupenou v n.p. ŠKODA Plzeň, vedoucí k dosažení vlastních úspor materiálu, je přechod z odlišného výkovkového uspořádání ve všechny ekonomicky výhodných případech. Rada konstrukčního navržených přinesla úspory materiálu v rozsahu 25 - 55 % i variantě lité [11 - 14].

Ve druhé fázi boje za hospodárnost výroby, soustředíme se vnitři podniku přímo na oblast svařovaných konstrukcí, na další snížení pracnosti a vlastních nákladů při jejich výrobě. Nedají možnosti úspor nejen ve vlastním svařování /automatizace svařeckých prací, použití nejvhodnějších způsobů svařování apod./, ale i v připravných a dokončujících fázích výroby svařenců /výroba detailů svařenců řezáním kyslíkem na moderních říkových řezacích strojích řízených fotoelektricky s využitím hořáků současně, moderní výroba nýtovových hranců speciálními hořáky typu Trumpf, Pullmax, použití výlisků, konečné povrchové úpravy svařenců apod./. Tyto fáze výroby, jako možný zdroj úspor pracnosti a výrobních nákladů, byly dosud ignorovány, byla však hlavní pozornost jednotlivým svařeckým technologiím. Vlastní vlastního svařování jsou většinou již rezervy úspor vyčerpány, ale jsou stále ještě právě v oblasti připravných a dokončujících fází výroby svařenců. Nejlépe se možnosti úspor v jednotlivých fázích výroby svařenců objevily při upracování projektu centrální svařovny n.p. ŠKODA Plzeň, kdy byl kompletně upraven, po technické a organizační stránce řešen celý výrobní proces svařování. Práce v tomto oboru ukázaly, že takový kompletní řešení výroby musí přinést maximální snížení pracnosti výrobních nákladů [11].

Jako jeden důležitý technický problém vystoupil požadavek řešení otázku vhodné povrchové ochrany plechů a profilů: řešení svařováním, řešení priběhu výroby svařence, řešení svaření jako vhodné základní povrchové úpravy před konečným rátěrem.

šhatost sortimentu svařenců, ovlivněná velkým množstvím různorodých oborů v podniku přinesla různorodost požadavků na vhodné povrchové úpravy. Proto byla v Odboru rozvoje techniky, odd. výzkum a technologie svařování, ověřována vhodnostech povrchových úprav polotovarů i hotových svařenců s ohledem na technické a ekonomické požadavky jednotlivých etap výroby uvažovaných konstrukcí. Účelem úkolu bylo navrhnout takovou postupnost ochrany plechů a profilů pro výrobu svařenců, která by splňovala následující hlavní technické a ekonomické požadavky:

jištěovala skladovatelnost plechů pod přístřeškem po dobu 2 let, aniž by došlo k rezivění, aby odpadlo čištění před zpracováním plechů /výroba polotovarů řezáním kyslikem apod./.

la účinná i během celého průběhu výroby svařence, aby nebylo zapotřebí provádět čištění zrezivělých hotových svařencích konstrukcí před konečnou povrchovou úpravou - nátěrem.

ožnila by případně vynechání základování pod konečný nátěr, který by se prováděl přímo na ni.

vřzená povrchová úprava musí vychovět z hlediska dobré přilnavosti konečného nátěru.

lo by možno použít této ochrany v některých případech jako alternativní povrchové úpravy. Musí proto navržená povrchová úprava splňovat požadavky vzhledové a kvalitativní, kladené na konečné povrchové úpravy. Z tohoto důvodu je nutná její maximální životnost a dlouhodobá odolnost vůči korozii. Tato podmínka je zvláště aktuální u složitých svařenců, kde je řada míst, kam je obtížný přístup při konečné povrchové ochraně komírkové konstrukce, členité svařence apod./.

řihání hotových svařenců by ji nemělo zneshodnotit, aby nebylo zapotřebí provádět nákladné čištění před konečnou povrchovou úpravou nátěrem.

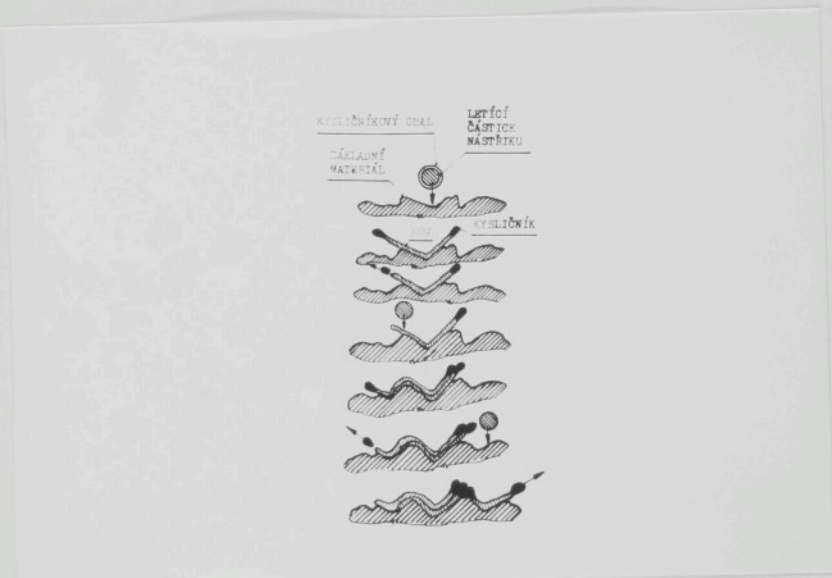
avržená povrchová úprava nesmí být zábranou pro další technologické zpracování, nesmí ani podstatně zhoršovat ekonomii v ní následujících použitých technologií. Musely být proto uvedeny vlastnosti plechů s navrženou povrchovou úpravou při dalším jejich zpracování: řezání kyslikem, tvarování, svařování, rovnání plamenem, žihání apod. /19; 30/.

avržená povrchová úprava musí být ekonomicky únosná, nesmí zavinášet podstatné zvýšení nákladů.

ti svařování musí být hygienicky nezávadná pokud se týče znikajících škodlivin, výparů, kouře apod.

Vlivem kinetické energie částice dojde při dopadu k její deformaci. Kinetická energie závisí na rychlosti částice a její váze. Podle stavu kysličkového obalu, podle toho, zda je tekutý nebo tuhý, dojde rovněž k různé deformaci částice při dopadu.

Na obr. 1 je naznačeno schema tvoření vrstvy při metalizaci.

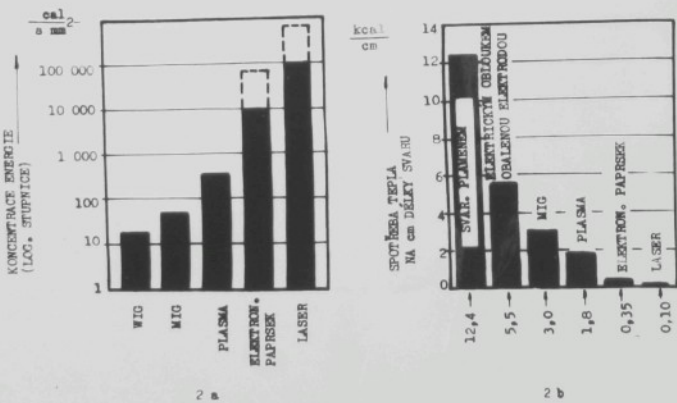


Obr. 1 – Schema tvoření vrstvy při metalizaci

svařovaných konstrukcí vyplynulo, že poruchy jsou způsobené únavou hlavně v místech koncentrátu napětí při provozu se nízkých teplot. K poruchám dochází vlivem nevhodně navrženého nebo dimenzované konstrukce, nevhodné technologie svařování /otázka vrubů, vad, přídavného materiálu atd./ a nevhodné volby základního materiálu. S ohledem na základní materiál je nutno brát v úvahu pevnostní hodnoty, hodnoty vrubové houzevnatosti za normální a provozní teploty, hodnotu vrubové citlivosti materiálu a rovněž náchylnost ke zpevnění a zkřehnutí vlivem deformačního stárnutí.

Z uvedeného je vidět, že svařováním se vlastnosti základního materiálu podstatně mění, hlavně: struktura, pevnost, plasiticitu atd. Ke změnám dochází vlivem:

a/ Teplotního účinku, vyvolaného zdrojem tepla použitého při svařování. Rozsah působení tohoto závisí na druhu použité technologie, neboť jednotlivé svařecké způsoby se podstatně liší intenzitou teplotního účinku /např. elektrický oboulouk, plazma, elektronový paprsek atd./. Velkou úlohu zde hraje koncentrace tepla, která jak je vidět z obr. 2a, je u některých nových způsobů velká.



Obr. 2 – Koncentrace a spotřeba tepla při různých

Konecentrace tepla např. u plazmového svařování je více než 10x větší než u svařování WIG. Při některých způsobech dochází pak k zahřívání nepotřebně široké zony základního materiálu jako je tomu např. u svařování plamenem. Proto je také spotřeba tepla na 1 cm délky svaru při tomto způsobu největší, jak je zřejmé z obr. 2b /12,4 kcal/cm/. U plazmového svařování se spotřeba jeví na tutéž délku jen 1,8 kcal/cm. Z toho je zřejmé, že volba technologie může podstatně ovlivnit výsledky svařování.

Místní ohřev má pak při svařování za následek hlavně:

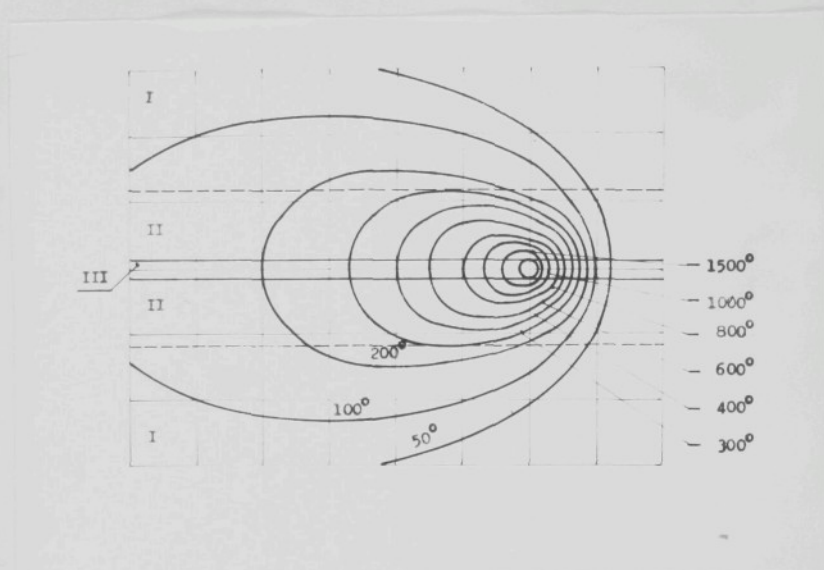
- Elastické deformace /zbytková prutí/
- plastické deformace /trvalou deformaci, mající podstatný vliv na vlastnosti spoje jak bude uvedeno dále/
- strukturální přeměny
- absobci plynů.

Toto vše má souhrnný vliv na mechanické a fyzikálně chemické změny vlastností svarového spoje.

b/ Deformačního účinku, který má původ v tuhosvi svařované konstrukce, tloušťce svařovaného materiálu a i v samotné zvolené technologii svařování a nerovnoměrném rozložení teplosti ve svařované konstrukci.

Že k tomuto ovlivnění opakovaným tepelným a deformačním účinkem svařování opravdu dochází je zřejmé, když počrobě studujeme jednotlivé oblasti ovlivnění základního materiálu.

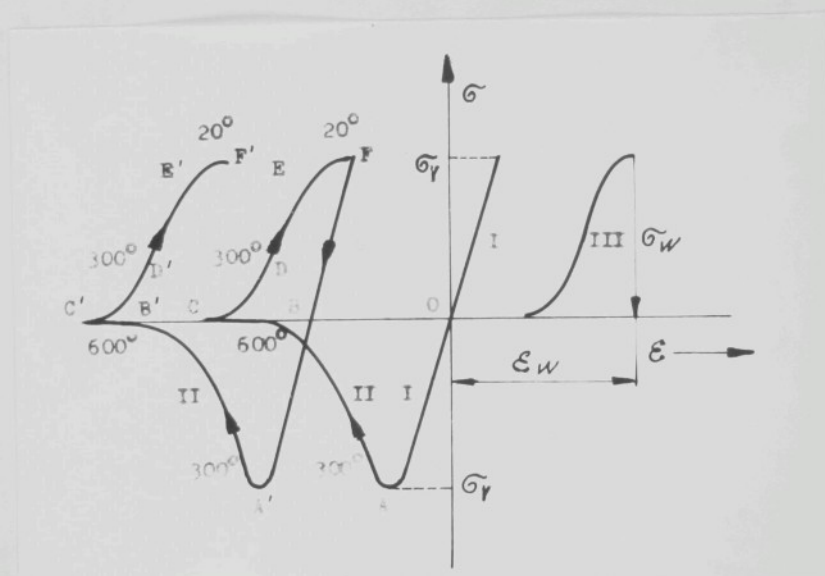
Jak je zřejmé z obr. 3 je možno při svařování vymezit tři rozdílné oblasti tepelně deformačního ovlivnění svarového spoje / 53 /:



Obr. 3 - Oblasti tepelně deformačního ovlivnění svarového spoje

- Oblast I, což je přibližně ta část základního materiálu, kde teplota nepřesáhla 300°C a došlo zde k elastické deformači materiálu.
- Oblast II, zde materiál byl zahřát nad teplotu 300°C .
- Oblast III, svarový kov, kde bylo dosaženo teploty tavení.

prof.W.Soete /53/ vyjádřil vztah mezi napětím a přetvořením těchto oblastí na $\sigma - \varepsilon$ diagramu, obr.4.



Obr.4 - Vztah napětí - přetvoření v jednotlivých tepelně ovlivněných oblastech svarového spoje /I-III/

Napěťové poměry v oblasti I vycházejí z Hookova zákona. V některých částech materiálu je tahové napětí, v jiných tlakové, ve formě vnitřních prutů.

Poměry napětí - přetvoření v oblasti III jsou graficky znázorněny v diagramu $\sigma - \varepsilon$ na obr.4. Při ohřevu během svařování se materiál stlačuje podle čáry OABC, přičemž teplota v bodě A je okolo $+300^{\circ}\text{C}$.

Mez kluzu klesá a v blízkosti bodu B se začíná objevovat plastické přetvoření tlakem, což odpovídá přibližně teplotě 600°C , kdy je mez průtažnosti zanedbatelně malá. Po dobu chladnutí se pak materiál přetváří tahem podle čáry CDEF, přičemž teplota v blízkosti bodu D klesla na teplotu 300°C . Materiál v bodě E opět získává svoji pevnost, dosahuje meze kluzu v tahu a začíná se plastická deformace za studena podle čáry EF. Z diagramu je zřejmé, že tato tepelně ovlivněná oblast je při ohřevu a chladnutí vystavena tlaku a tahu při různých teplotách. Konečný stav napětí a přetvoření reprezentuje bod F, z čehož se dá pak usuzovat, že tato tepelně ovlivněná oblast je materiál deformovaný tlakem a pak tahem, při kterém se odbojurají plastickou deformací špičky těhotného napětí. Při vicevrstvém svařu překonává materiál vícenásobné podobné cykly A'B'C'D'E'F' /obr.4/. Tato střídavá deformace tlakem a tahem způsobuje pak známé deformační stárnutí, jak bude podrobně popsáno v další části této kapitoly.

Poměry napětí - přetvoření v oblasti III jsou graficky znázorněny čarou III, z čehož je zřejmé, že i tento materiál prodejlová výraznou plastickou deformaci.

Pro výsledky svařování je důležitá také oblast částečného natavení v rozhraní svarový kov - základní materiál. V důsledku rychlého ochlazování nemůže totiž dojít k řádnému a pravidelnému rozložení jednotlivých složek taveniny, která je pak na některé složky s nižší teplotou tavení bohatší vlivem jen částečného natavení v této oblasti. Zde dostáváme oblast chemicky velmi nestejnoročou, obsahující řadu nečistot, bohatou na některé složky, oblast, jejíž vlastnosti podstatně ovlivňují vlastnosti svarového spoje.

Vlivem dříve popsaného tepelně deformačního účinku svařování dochází k změnám mikrostruktury a mechanických vlastností ocelí v oblasti sousedící se svarem a v přechodové zóně. Vlastnosti svarém ovlivněných oblastí se liší podle typu fázových přeměn, eventuálně precipitačních procesů, vyvolaných svařováním a též v důsledku lokálně koncentrovaných napětí vytvořených svařovacím tepelným cyklem /32/. Dochází k tzv. stárnutí materiálu, což je velmi důležitá otázka zvláště u typu ocelí zvolených v našem případě pro zkoušky /neuklidněná, nízkouhlíkatá ocel/. Proto bude nutno tomuto v dalším věnovat zvýšenou pozornost.

Pokud se týče vlivu druhých interstitiických prvků, tj. kyslíku a uhlíku na stárnutí, vyplývá ze zkoušek prováděných doc. Ing. Hrušnákem CSc /44/ :

Kyslík tvoří v celém intervalu teplot stabilní kysličníky. S ohledem na známou velkou afinitu kyslíku k uhlíku, železu, křemičíku a některým dalším prvkůmá s ohledem na možnost tvorby kysličníků v celém intervalu teplot od likvidu až po nízké teploty nedá se předpokládat, že by nějaká část kyslíku zůstala ještě v intersticiálním tuhém roztoku.

Uhlík má o mnoho větší rozpustnost v austenitu než ve železi. Při přeměně $\gamma \rightarrow \alpha$ tvoří karbid železa - cementit Fe_3C . Dá se předpokládat, že část uhlíku zůstane i po přeměně $\gamma \rightarrow \alpha$ intersticiálně rozpouštěna v α železe. Protože se dokázalo, že dusík a uhlík mohou z tuhého přesyceného roztoku železa precipitovat při nízkých teplotách ve formě hexagonálních $\varepsilon \text{Fe}_3\text{N}$ a $\varepsilon \text{Fe}_3\text{C}$, které mohou v sobě rozpouštět určité množství uhlíku, resp. dusíku, je předpoklad účasti uhlíku na dříve popsaném stárnutí. Když převládá v tuhém roztoku α železa intersticiální uhlík nad dusíkem, dusík vytvoří vlastní záži, ale vstupuje do $\varepsilon \text{Fe}_3\text{C}$ a nebo opačně uhlík vstupuje do $\varepsilon \text{Fe}_3\text{N}$, náleží převahu dusík.

Časovou závislost vyprecipitovaného množství příslady v železe za dobu t lze vyjádřit tzv. Wertovým a Zenerovým vzorcem (49) :

$$W = 1 - e^{-(\frac{t}{\tau})^n}$$

W poměr vyloučených atomů k počtu atomů schopných precipitace

τ časová konstanta, zahrnující koeficient difuze a další faktory pochodu /počáteční koncentrace, teplota stárnutí/

n závisí na tvaru precipitující částice, pro kulový tvar $n = \frac{3}{2}$, pro diskový tvar $n = \frac{5}{2}$

Celkově lze shrnouti vliv na velikost změny mechanických vlastností tak, že hlavně záleží na:

a/ typu, tvaru a koncentraci precipitátů /N, C/ v mřížce železa α

b/ poměru $\frac{N}{C}$

c/ hustotě a uspořádání mřížkových poruch.

Ze všech poznatků dříve uvedených je zřejmý maximální vliv dusíku na stárnutí. Předpokládá se, že obsah dusíku 0,001 - 0,003% je hranicí, kdy ještě ke stárnutí nedochází [44].

Při tomto průběhu stárnutí ale nedojde k uspořádání celého tuného roztoku dusíku v oceli železe (což je zřejmé i z Westova a Zenerova vzorce), ale jen jeho části, která odpovídá množství mřížkových poruch, které mohou vázat precipitát. Když se pak nějakým vnějším zásahem, např. deformací vnese do materiálu dostatečný počet nových poruch (dislokací), může proces uspořádávání nitridové fáze pokračovat. Tím se dostáváme, s ohledem na mechanizmus a příčiny vzniku, k dalšímu druhu stárnutí, tzv. deformačnímu.

b) Deformační stárnutí

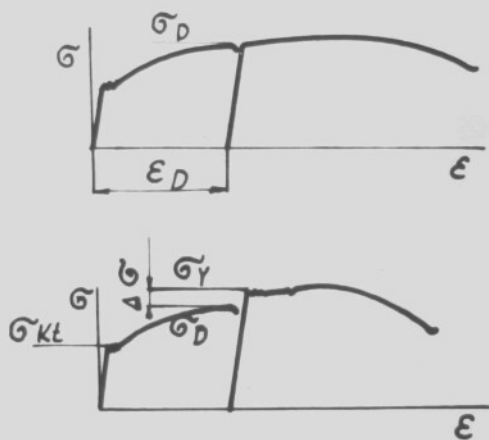
Tento druh stárnutí je způsoben interakcí mezi volnými dislokacemi vytvořenými v oceli plastickou deformací za studena a atomy příslušdy interstiticky rozpuštěnými v mřížce feritu a difundujícími během stárnutí k dislokacím. V tepelně ovlivněné oblasti základního materiálu dochází, jak bylo dokumentováno v úvodní části této kapitoly k deformačním pochodem. V oblasti ovlivněné pod A 1 lze předpokládat deformaci do 3 %, v oblasti ovlivněné teplotami mezi A 1 - A 3 deformaci do 10 %, v oblasti svaru, kde je velký odvod tepla lze předpokládat plastické vytvoření minimálně 10 %, spíše více [31]. Podle současných názorů [8] dochází během deformačního stárnutí k segregaci interstiticky rozpuštěných atomů dusíku a uhlíku na dislokacích, k tvorbě tzv. Cottrellových atmosfér a v konečné fázi ke vzniku precipitátu na dislokacích liniích. Lěřitkem velikosti stárnutí je opět změna mechanických vlastností - hlavně zkřehnutí materiálu. Plasticá deformace je podmíněna vznikem a pohybem volných dislokací. Nejsou-li v materiálu volné dislokace, schopné skluzového pohybu, má ocel sníženou přetvárnou schopnost.

Deformační stárnutí právě podstatně ovlivňuje a snižuje možnost pohybu dislokací, dvojím způsobem:

a) Vlivem tváření za studena se zvýší o několik řádů hustota dislokací v materiálu a tím se vytvoří četné překážky pro pohyb volných dislokací, čímž se znesnadní plasticá deformace - dojde ke zkřehnutí materiálu.

b) Vlivem vlastního stárnutí po deformaci, tj. obsazením dislokací atomy dusíku a uhlíku vyprincipitovaných z feritu. Během stárnutí po deformaci dochází difuzí k hromadění atomů dusíku v dislokacích, k vytvoření shluků (atmosfér) interstiticky rozpuštěných atomů. Tímto se brání dislokacím v pohybu, dojde k zakotvení dislokací. Atomy se hromadí, ale také na hranicích zrn, hranicích očízích částic a hmoty tuhého roztoku. Tato hraniční místa pak fungují jako zdroje nových dislokací. Nová plasticá deformace při zatěžování nastává pohybem těchto nových dislokací. K vytvoření čerstvých dislokací a k dosílení další dislokace

protlačit seskupením dislokací zakotvených během stárnutí shluky interstiticky rozpuštěných atomů /32, 48, 49, 50/ respektive k uvolnění zakotvených dislokací a shluků, je třeba větší přetvárné síly. Tímto druhem stárnutí dojde k zpevnění materiálu a jeho zkřehnutí. Zpevnění lze vyjádřit např. zvýšením meze kluzu ke kterému dochází vlivem deformačního stárnutí /obr. 5/.



Obr. 5 - Zpevnění materiálu vlivem deformačního stárnutí

Velikost zpevnění lze vyjádřit vzorcem:

$$\Delta \sigma = \sigma_y - \sigma_0$$

- σ_0 napětí potřebné pro vyvození plastické deformace, která vyvolala deformační stárnutí,
- σ_y napětí potřebné na vyvození plastické deformace po stárnutí /mezí kluzu po stárnutí/.

4.31 Přídavný vliv nametalizované hliníkové vrstvy na metalurgické děje při tavném svařování elektrodami a z toho vyplývající změny vlastností svarového kovu a spoje.

4.311 Základní teoretické úvahy o metalurgických dějích při tavném svařování elektrodami

Metalurgie obloukového svařovacího procesu má svoje zvláštnosti:

- kontinuálnost svařovacího procesu
- vysokou intenzitu reakcí
- krátkou dobu trvání reakcí.

Kontinuita svařovacího procesu je v tom, že během trvání elektrického oblouku mezi základním materiálem a koncem elektrody dochází k neustálému přechodu svarového kovu v kapkách do tavné lázně. V každém okamžiku svařování probíhají současně všechny metalurgické děje svařovacího procesu. Z toho vyplývá, že tu nedochází k homogenizaci v celém objemu taveného kovu, ale jen v mikroobjemech /64/.

Vysoká intenzita metalurgických reakcí v elektrickém oblouku je vyvolána hlavně vysokou teplotou a velkým reakčním povrchem mezi kovem a struskou. Metalurgické reakce svařovacího procesu probíhají převážně v mikroobjemech drobných kapek. Tyto tzv. mikrometalurgické reakce se vyznačují tím, že probíhají ve velmi krátkém časovém intervalu a nedochází tu k rovnovážnému stavu reakcí mezi kovem a struskou.

Pouze existující přebytek strusky a v ní nadněrné množství intenzivně reagujících složek, může zabezpečit zvýšenou čistotu svarového kovu i v krátkém časovém intervalu.

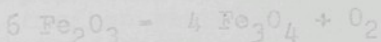
Působení nametalizované hliníkové vrstvy na metalurgické děje při svařování, bude velmi podstatně ovlivněno právě dříve uvedenými zvláštnostmi.

Při úvahách o metalurgických dějích při svařování, musíme vzít ještě v úvahu druh použité elektrody a ohledem na její obal.

Jako přídavného materiálu bude použito obou základních druhů elektrod: s obalem bázickým /E 44.83/ a s obalem kyselým /E 44.72/. Chceme tím ověřit vlastnosti svarového kovu ovlivněného nametalizovanou hliníkovou vrstvou a uklidněného /bázická elektroda/ a svarového kova neuklidněného /kyselá elektroda/. Je všeobecně známo, že ač lze dostat u obou elektrod svarový kov obdobných fyzikálně chemických vlastností, má druh obalu podstatný vliv na další speciální vlastnosti svarového kovu, např. na odolnost proti křehkému porušení.

Teplota oblouku hořícího mezi elektrodou a základním materiálem je při použití proudu 250 - 280 A coa 5500 až 5900°C /51/. Se zvětšujícím se proudem roste i teplota. Při těchto vysokých teplotách svařování dochází k změnám ve svarovém kovu.

Roztavený kov je okysličován působením kyslíku ze vzduchu a kyslíku, který je při vysoké teplotě oblouku uvolňován ze rozkludu vyšších kysličníků obsažených v obalu elektrod na kysličníky nižší např. podle rovnice:



Dochází pak k spalování prvků např. uhlíku, křemiku, mangani. Nejprve dochází k spalování uhlíku a vznikající kysličník uhlnatý probublává lázní, působí její silné vření a rozstřik kovu.

Přechod kyslíku a kysličníků do svaru se snažíme maximálně omezit. A zde sehrávají rozhodující úlohu odkysličovače obsažená v obalu elektrod, působení vznášené strusky na kov. Podle druhu obalu je průběh dezoxidace rozdílný:

a/ Kyselé obaly: patří do skupiny elektrod s obaly s kysličníky železa. Jsou tavidelné vyššími proudy. Odkysličování se provádí hlavně feromanganem.



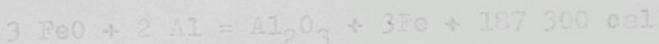
Vzniklý kysličník manganatý je ve svarovém kovu nerozpustný a přechází do strusky. Při dezoxidaci mangani, tento reaguje velmi pomalu a dochází ale ještě také současně k reakci s uhlíkem:



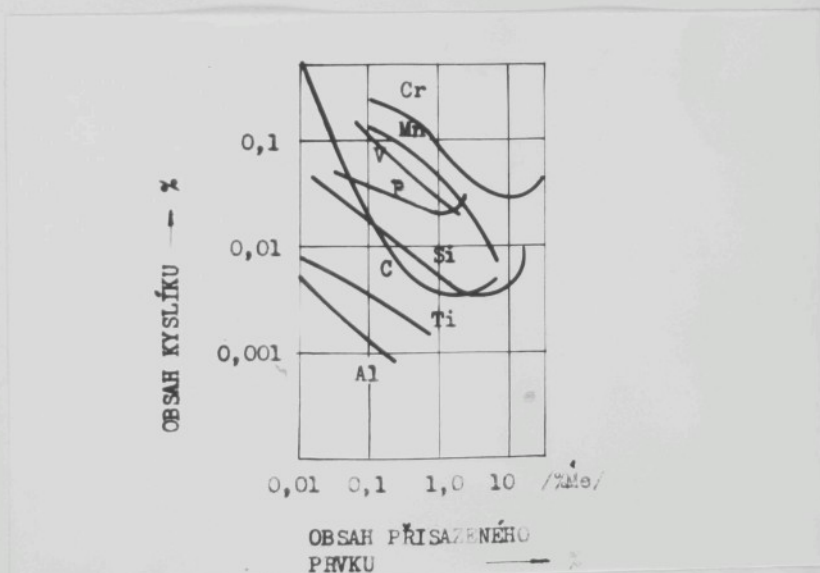
a tato reakce probíhá ještě při tuhnutí. Vznikající CO z větší části uniká, ale je možnost vzniku parí /obdoba neuklidněné oceli/.

4.313 Vliv nametalizované kliníkové vrstvy na deoxydaci a kryrstalizaci tavné lázne /velikost zrn/ a struktury svarového kovu

Jak je zřejmé z obr.6 je kliník velmi dobrým deoxydacním prostředkem. Deoxydace probíhá podle rovnice:



Jde tedy o exotermickou reakci, při které vzniká teplo a produktem je kysličník hlinity / Al_2O_3 /.



Obr. 6 - Deoxydacní schopnost jednotlivých prvků při 1600°C

zkouškami bylo zjištěno, že malé přídavky hliníku při dezoxydaci oceli mají vliv na velikost zrna a mechanické vlastnosti. Bern a Koch provedli řadu zkoušek a dokázali, že zjenění zrna a zvýšení meze průtažnosti jsou způsobeny sloučeninami hliníku, ale nikoliv toho podílu hliníku, který existuje v oceli ve stavu kovovém, tedy jako legující přísada /61/. Hlavní vliv má Al_2O_3 a nitridy hliníku.

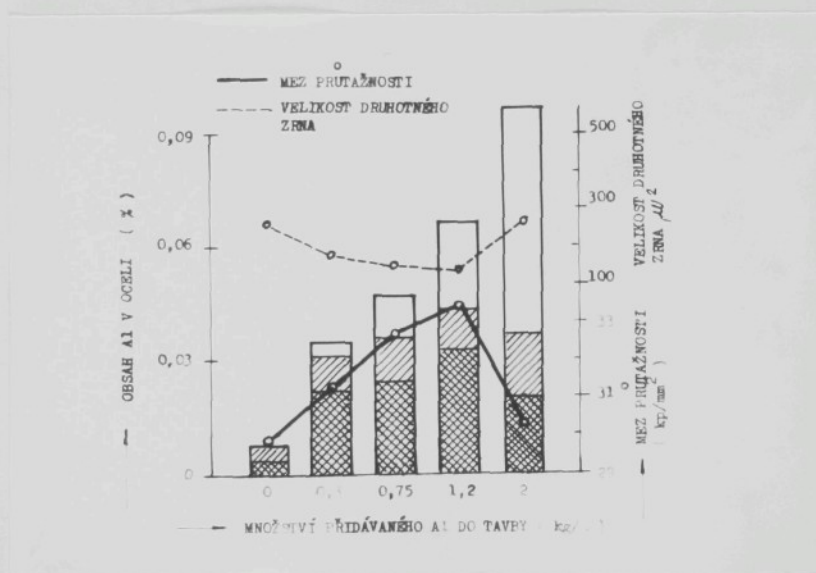
Při dezoxydaci vznikající Al_2O_3 je v oceli rozptýlen ve formě vnitřků. Rovněž tak nitridy hliníku / AlN /. Pokud jsou tyto ve svaru v subnikroskopické formě, působí na zjednění struktury svařového kovu příznivě, natož tvoří jádra krystallizace. Přeměna taveniny v tuhou fázi neprobíhá totiž v celé hmotě najednou. Začne v řadě míst vytvořením krystalizačních zárodků /nukleací/. Pro průběh krystallizace je důležitý počet krystalizačních zárodků, který vznikne v jednotce objemu taveniny za jednotku času. Tyto zárodky mohou vznikat přímo z taveniny vlivem kolisání teploty a energie - tzv. homogenní nuklace. Rychlosť tvorby a růstu zárodků závisí na podohlazení taveniny, na změně energie. Krystallizace může být také zahájena a probíhat na cizích zárodech, tzv. heterogenní nuklace. Zde mohou působit nekovové vnitřky, s vysokou teplotou tavení, v našem případě Al_2O_3 .

Nuklace na cizím zárodku může proběhnout jen až v tom případě, jestliže je smíšen kovem. Určitý úhel smíšení mezi kovem a zárodkem je proto důležitou podmínkou heterogenní nuklace. Je-li tento úhel malý /při dokonalém smíšení/, mezikálové napětí mezi cizím zárodkem a kovem je malé a krystallizace snadno pokračuje při malém podohlazení. Úhel smíšení závisí na chemické povaze cizího zárodku a jeho krystalové struktury. Jako cizí zárodky se nejlépe uplatňují částice, jejichž mřížka se co nejvíce blíží mřížce krystalizujícího kovu. L. Junin /67/ zkoumal smíšení Al_2O_3 roztaveným kovem a zjistil, že na rozhraní kovu s Al_2O_3 tvoří nová mezikáze, skládající se z hlinitanu železnatého. Zjistil, že mezní úhel smíšení kovem je u mezikáze vznikající na styčné ploše Al_2O_3 ostrý. Změněná to tedy, že Al_2O_3 se vzniklou mezikázi je smáčen kovem velmi dobře. Protože se látky, které se snadno smáčejí, obtížně oddělují od kovu, je zde vyšvětlení z hlediska povrchových jevů, proč Al_2O_3 se těžko odstranuje z kovu. Na druhé straně svědčí soudná směřivost vnitřků Al_2O_3 o tom, že tyto mohou být zárodky pro krystallizaci. Při větším počtu krystalizačních zárodků a jejich rovněrném rozptýlení vzniká mnoho krystalů, ocel je jemnozrnná, má lepší mechanické vlastnosti. Jakmile mají vnitřky větší rozdíly, zhoršují mechanické vlastnosti svaru.

Podle obsahu hliníku v oceli se výrazně bude tedy měnit tvar a uspořádání kysličníkových, nitridických a oxysulfidických vnitřků /síra se při tuhnutí vylučuje ve formě sulfidů, oxysulfidů, s hliníkem jako sírnik hlinitý - Al_2S_3 /.

Toto je tedy příznivý vliv hliníku, jako tzv. horofilního výku, snižujícího povrchovou energii krystalu na minirum a tím náchylnost zrna tuhého roztoku k růstu při přehřátí.

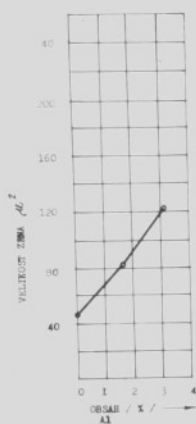
Ovšem z výsledků prací Berna a Kocha se ukázal i nepříznivý vliv zbytkového kovového hliníku na velikost zrn a mechanické hodnoty oceli /61/. Při překročení určité hranice obsahu zbytkového kovového hliníku, mísí zlepšující vliv sloučenin hliníku Al_2O_3 , AlN na velikost zrn a mechanické hodnoty. Vlivem většího množství zbytkového kovového hliníku v oceli dochází k maximálnímu růstu velikosti zrn a poklesu mechanických hodnot /obr.7/.



Obr.7 - Vliv množství přidaného hliníku do oceli a způsob jeho přidání na velikost zrna a mez průtažnosti /61/

diagramu na obr.7, který je sestrojen pro ocel s chemickém
složením: C = 0,15 %, Si = 0,25 %, Mn = 0,53 %, N = 0,008 %,
P = 0,021 %, je vidět veliký negativní vliv zbytkového kovo-
ho hliníku v oceli na mezní průtažnosti a velikost zrna.

Obr. 8 je vidět negativní vliv zbytkového kovového hliníku
na růst zrn při teplotě přehřátí 900 - 920°C /61/.



Obr. 8 - Vliv množství hliníku v oceli na růst
zrna při teplotě přehřátí 900 - 1000°C /61/

Na základě všech těchto poznatků, dá se i v našem případě po-
čítat s negativním vlivem zbytkového kovového hliníku na oblast
svarového kovu a přechodové zóny. Dojde pravděpodobně k velkému
zhrubnutí struktury, což bude pak mít také vliv na mechanické
vlastnosti, vč. vrubové houževnatosti, protože tato je rovněž
ovlivňována podstatně velikostí zrna, jak je vidět z obr. 9.

Úspěšný průběh metalurgických reakcí, růzmíctání vnitřní, jejich přechod z kovu do strusky, a vznik pórů při svařování bude záviset ve značné míře na viskozitě roztaveného kovu a strusky. Tavení elektrody i základního kovu je provázeno vývinem velkého množství plynů. Jejich objem několikanásobně převyšuje objem nataveného kovu. Intenzivní vývin plynné a vysoká teplota způsobují, že se díky vysokému tlaku kov a že se prakticky všechn kov v kapci zúčastní chemických reakcí. Dostí velká část plynů se tvorí redukcí kysličníků obsažených v jádru elektrody, uhlíkem přítomným v elektrodě. Dále vznikají plyny ze složek obalu, ale i z vody obsažené v obalu, do svaru se musí dostat i plyny z okolní atmosféry při nedokonalé ochraně. Tyto plyny se v životopisu zpouští a při tuhnutí se z kovu uvolňují. Velká viskozita tavné lázně a strusky zhoršuje podmínky pro vyloučení nekovových vnitřníků, může onezít průběh reakcí mezi struskou a kovem i zpomalit uvolňování v kovu rozpuštěných plynů a tím umožnit vznik pórů. Dá se předpokládat, že nametalizovaná hliníková vrstva podstatně ovlivní viskozitu tavné lázně i strusky.

Je známo, že viskozitu roztavené oceli výrazně ovlivňuje množství, tvar a velikost nekovových vnitřníků. Vliv vnitřníků na viskozitu roztaveného železa je možno vyjádřit Einsteinovou rovnicí /6/:

$$\eta_x = \eta(1 + 2,5\varphi + 7\varphi^2)$$

η_x dynamická viskozita taveniny s dispergovanými částicemi

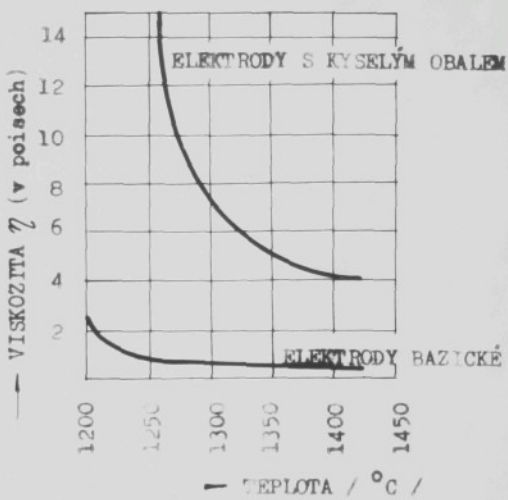
η dynamická viskozita taveniny bez dispergovaných částic

φ specifický objem dispergovaných částic

Pro specifický objem Al_2O_3 o hodnotě $0,25 \text{ dm}^3/\text{kg}$ /6/ vychází viskozita oceli s dispergovaným Al_2O_3 :

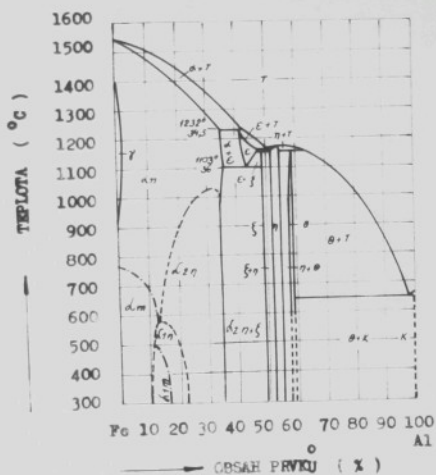
$$\eta_x = 2,061$$

Z tohoto je vidět, že viskozita oceli se vlivem vnitřní dispergovaného Al_2O_3 podstatně zvyšuje, což bude zhoršovat přechod vnitřníků do strusky. Při tom je nutno vzít v úvahu, že Al_2O_3 se do tavné lázně dostane také z nástěrku, který je obsahující určité množství, část kovového hliníku a vrstvy se vlivem vysoké teploty elektrického oblouku oxidaří změní také na Al_2O_3 a část může vzniknout při deoxidační tazce lázně hliníkem.



Obr. 10 -- Viskozita strusek kyselých a bázických

- b/ Vlivem vysokého množství zbytkového kovového hliníku v tavné lázni může dojít k zvětšení velikosti zrna.
c/ Hliník může ovlivnit proces stářnutí svarového kovu.

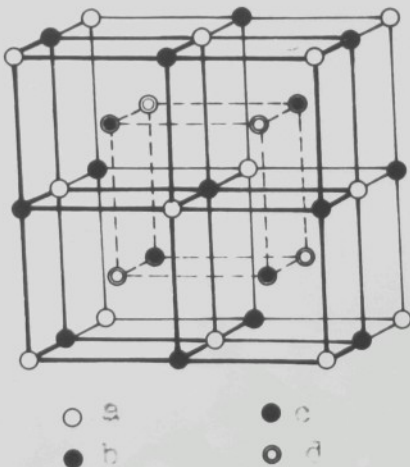


Obr. 11 - Rovnovážný diagram slitin Fe-Al

Označení struktur na diagramu:

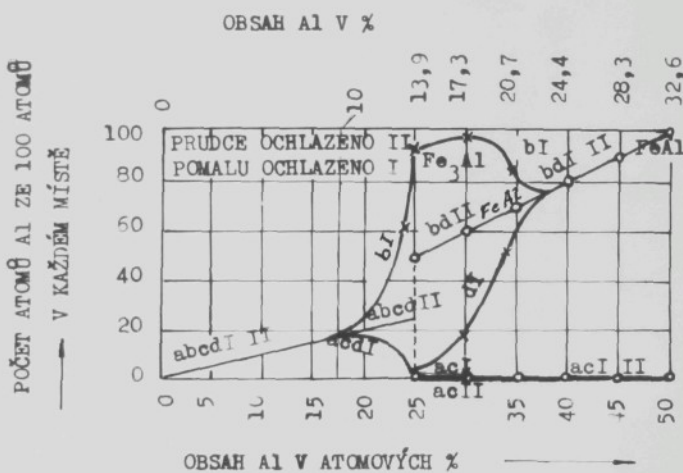
- d_n neuspořádaný, nemagnetický tuhý roztok
- d_m neuspořádaný, magnetický tuhý roztok
- δ_m uspořádaná, nemagnetická nadstruktura Fe_3Al
- δ_{1m} uspořádaná, magnetická nadstruktura Fe_3Al
- δ_{2m} uspořádaná, nemagnetická nadstruktura Fe_3Al
- δ intermediární fáze $/Fe Al_2/$
- η intermediární fáze $/Fe_2Al_5/$
- θ intermediární fáze $/Fe Al_3/$

Hliník se rozpouští v železe až nejvýše do 36 % a rozpustnost se s klesající teplotou jen málo zmenšuje. Poledn. se velmi rychle uzavírá, takže při 1 % hliníku je již zcela uzavřeno. Církuho bod se hliníkem dosti rychle snižuje. V tuhém roztoku se odohrává více přeměn směřujících k pravidelnému uspořádání atomů - k nadstrukturám. Řada autorů popsal ve svých pracích průběh uspořádávání tuhých roztoků hliníku v železe / 8-71/. Tito autoři vyznačili v kubické, prostorově centrované mřížce železa čtyři druhy význačných poloh atomů, označených a, b, c, d / obr. 12/.



Obr. 12 - Význačné polohy atomů v kubické, prostorově centrované mřížce / 8/

Ve slitinách s obsahem do 18 at.% hliníku jsou oba druhy atomů uspořádány náhodně /neuspořádaný tuhý roztok/, až jsou slitiny prudce ochlazeny z vysoké teploty /600-800°C/ nebo ochlazeny pomalu /60/. Od 18 do 25 at.% hliníku je stále neuspořádaný tuhý roztok u prudce ochlazených slitin. V pomalu ochlazovaných slitinách začínají atomy hliníku segregovat do míst "b", až při 25 at.% hliníku, což odpovídá stechionetrickému složení Fe_3Al a objevuje se nové uspořádání, ve kterém atomy hliníku zaujímají místa "b" a atomy železa místa "a", "c", "d". Graficky je toto uspořádání znázorněno na obr.13.



Obr.13 - Rozmístění atomů hliníku a železa mezi čtyřmi polohami /68/

Polohy atomů hliníku jsou zde vztášeny na objem 100 atomů uvedené mřížky. V náhodném uspořádání je každé místo "a", "b", "c", "d" obsazeno stejným počtem atomů hliníku a křivka rozmístění je pro všechny čtyři místa totožná. Jakmile však atomy hliníku začnou segregovat do míst "b", křivka pro tato místa stoupá a pro místa "a", "c", "d" klesá, až při složení Fe_3Al dosahuje křivka charakterizující obsah atomů hliníku v místě "b" hodnoty téměř 100 a křivka "a", "c", "d" klesá téměř na nulu.

Mezi 25 a 30 at.% hliníku počet atomů hliníku v místech "a", "c" postupně dosahuje nuly v pomalu ochlazovaných slitinách, kdežto v prudce ochlazených je hodnota pro místa "a", "c" nulová v celém rozsahu. V prudce ochlazovaných slitinách je křivka rozmístění pro místa "b", "d" totožná. U pomalu ochlazených slitin bylo zjištěno, že od 25 do 30 at.% hliníku zůstala téměř všechna místa "b" obsazena atomy hliníku a navíc atomy hliníku obsazují postupně místa "d".

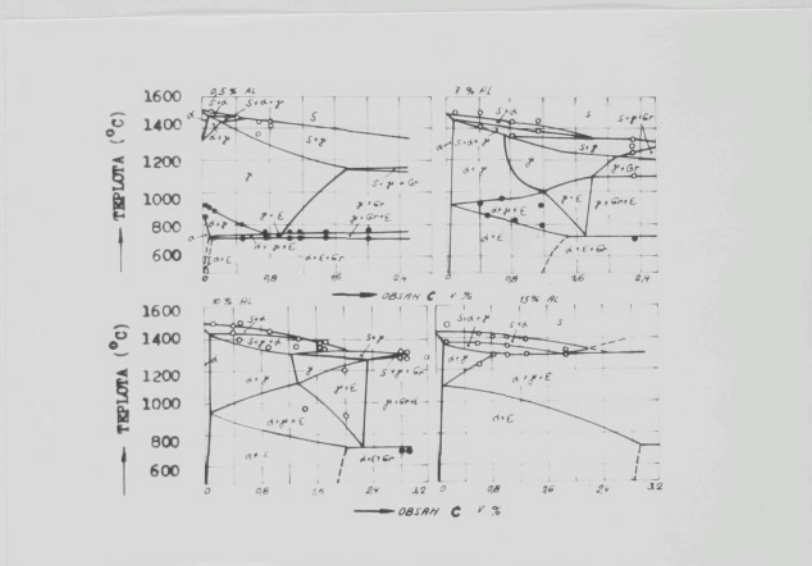
Mezi 30 a 40 at.% hliníku se místa "b", "d" shodně obsazují tak, že se stoupajícím obsahem hliníku jeho atomy spoluťší časťecně místa "b" a zaplňují místa "d" a to až do 37,5 at.% hliníku, kdy obě místa jsou stejně obsazena. U slitin s vyšším obsahem hliníku zaplňují atomy hliníku další místa "b", "d" a při 50 at.% hliníku jsou všechna tato místa plně obsazena. Tento stav odpovídá nadstruktúře Fe_3Al .

Nadstruktura Fe_3Al je stabilní až do teploty cca 570°C. Nad touto teplotou je tuhý roztok vždy neuspořádaný. Rozsah výskytu nadstruktury Fe_3Al za nízkých teplot sahá zhruba od 10 do 23 % hliníku, při větším jeho obsahu existuje jen $FeAl$.

Druhé oblasti v rovnovážném diagramu není zapotřebí rozšírat, protože tak vysoký obsah hliníku v našem případě nepřichází v úvahu. Je ale nutno s ohledem hlasně na obsah hliníku v základním materiálu a na poměry v přechodové oblasti rozobrat stav v soustavě Fe-Al-C. V této soustavě je třeba uvažovat mimo tuhého roztoku ještě další tři fáze podmíněné přítomností uhliku. Je to jednak fáze ϵ /nejedná se o stejně označenou fázi z obr. 11/, grafit a karbid hliníku Al_3C . Rovnovážný diagram řídila řada autorů /Vogel, Wäder, Ljöberg, Morral, Schmidt/, čast s rozdílnými výsledky. Podstatným příspěvkem pro popsání stavů v soustavě Fe-Al-C přinesly práce Dr. Pluhače a Ing. Vyklického /57-60/, hlavně v oblastech s vyšším obsahem hliníku.

Baše úvahy, ale musí být zaměřeny na poměry v oblastech rovnovážného diagramu Fe-Al-C s nízkým obsahem hliníku.

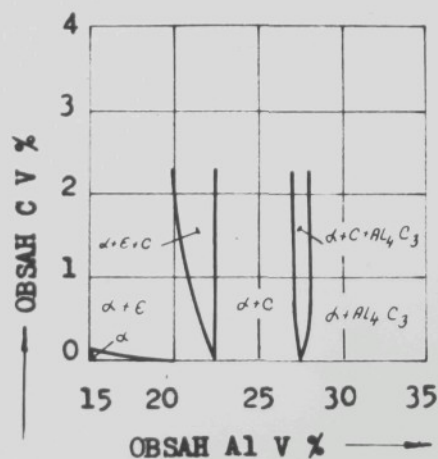
Na obr.14 jsou uvedeny binární řezy rovnovážným diagramem slitin Fe-Al-C s konstantním obsahem hliníku /60/.



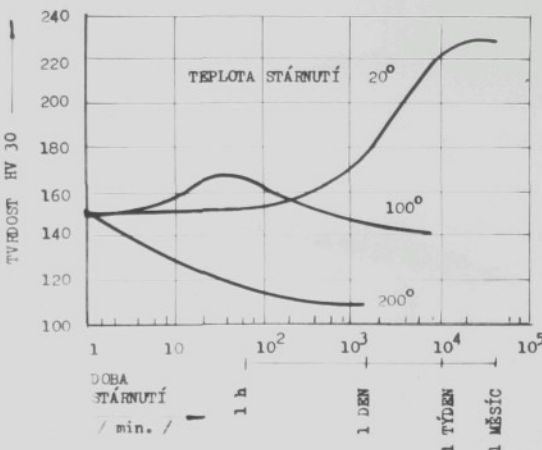
Obr.14 - Binární řezy rovnovážným diagramem slitin Fe-Al-C s konstantním obsahem hliníku /60/

Existenční oblasti jednotlivých fází jsou patrné i na diagramu. V našem případě, s ohledem na poměrně nízký obsah hliníku, nelze uvažovat o existenci fáze ϵ . Již Morral ji identifikoval jako křehkou magnetickou fázi, která má plošně centrovánou kubickou mřížku parametru $3,74 \text{ \AA}$, odpovídající mřížce Cu₃Al. Teda tedy opět o fázi se stechiometrickým složením Fe₂Al, ale s odlišným typem krystalové mřížky než existuje u uspořádaného tvaru roztoku /60/.

Fodle nejnovějších výzkumů, prováděných Ing. Vyklickým z SVÚT Praha, nelze souhlasit s tím, že fáze ε se objevuje ve slitinách Fe-Al-C již od 0 % hliníku, jak je uváděno na obr. 14 na diagramech Löhberga a Schmidta. Autor toto svoje tvrzení zdůvodňuje mimo jiné tím, že tato fáze v diagramech v oblastech velmi nízkých obsahů hliníku zastupuje obvyklý typ karbidu Fe_3C . Z tohoto pak usuzuje, že se stoupajícím obsahem hliníku od 0 % nebude okamžitě karbid Fe_3C , s podstatně odlišnou mřížkou od fáze ε , přecházet v tutéž fázi. Je pravděpodobné, že teprve při jistém vyšším obsahu hliníku vznikne fáze ε . Autor na základě zkoušek klade existenci fáze ε do oblasti slitin Fe-Al-C s obsahem hliníku cca 8 - 22,5 % a její možností bude záviset na obsahu uhlíku. Autor vypnacoval izotermický řez rovnovážným diagramem slitin Fe-Al-C pro obsahy 15 - 35 % Al, z kterého lze odvodit, že při nižším obsahu hliníku a uhlíku, bude slitina tvořena tuhým roztokem hliníku v železe /obr. 15/.



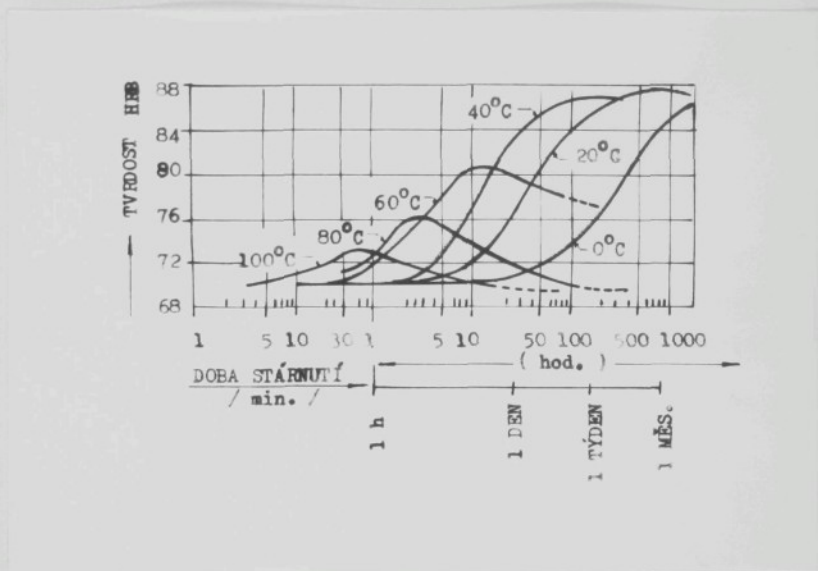
Obr. 15 - Izotermický řez rovnovážným diagramem slitin Fe-Al-C při $1000^{\circ}C$ / 60/



Obr. 16 - Tvrdoš v závislosti na teplotě a dobu stárnutí po zakalení ze 700°C u oceli ČSN 41 1373

Stárnutí po zakalení při 20°C způsobuje značné vyvření s maximem po jednoměsíčním stárnutí. Naproti tomu stárnutí při 200°C dochází k snížení tvrdosti v důsledku růstu vyprezipitovaných částic. Má tedy význam u tohoto druhu ocelí uvažovat o stárnutí jen při teplotách o málo vyšších než je pokojová teplota. Probíhá-li jejich stárnutí při vyšších teplotách než 100°C, vytvázení je buď málo výrazné nebo k nimu vůbec nedojde. Další vliv pak má doba setrvání na teplotě.

Na obr.17 je uvedeno zvýšení tvrdosti vlivem stárnutí po zakalení z 720°C u oceli podobného chemického složení jiné je rámi sledovaná ocel ČSN 41 1373. Průběh tvrdosti je uveden pro celou řadu teplot stárnutí /63/.



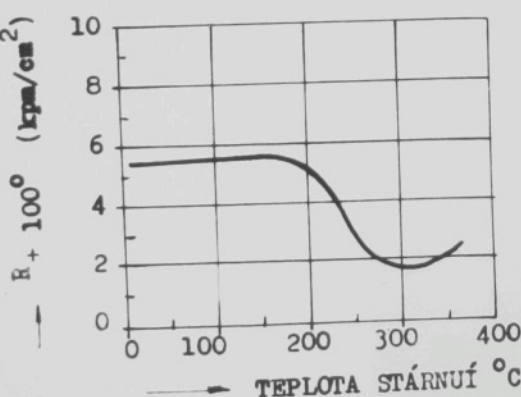
Obr.17 - Tvrdost v závislosti na teplotě a době stárnutí po zakalení ze 720°C u nízkouhlíkaté oceli /63/

Z průběhu křivek je vidět, že k podstatnému ovlivnění zpevnění dojde při nízkých teplotách až po delší době působení. Tento poznatek je pro naš případ sledování vlivu teploty od metalizace důležitý.

Z dříve uvedeného lze předpokládat, že během zpracování plechů při jejich výrobě a vlivem ovlivnění svařem, dochází k vytvoření podmínek pro vznik přesyceného tuhého roztoku dusíku v železe. Metalizací se zvýší teplota na povrchu některého materiálu /at již u plechů, nebo hotových svářenou/,

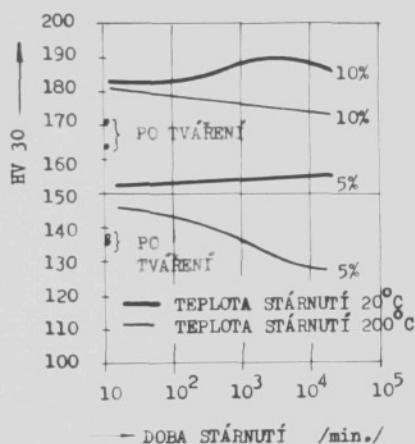
která může uspišit stárnutí. Velikost ovlivnění bude záviset na výši teploty a na době jejího pásobení. Dá se předpokládat, že metalizací nedojde k podstatnému zvýšení teploty, že nedosáhne hodnoty 100°C a že tato teplota bude působit po velmi krátkou dobu. S ohledem na toto, by podle průběhu výtvorování uvedeného na diagramech na obr. 16, 17 nemělo dojít v našem případě k žádnému podstatnému urychlení stárnutí, nboť zvýšení jeho velikosti /zvýšení zpevnění/. Toto tvrzení bude nutno ověřit zkouškami.

Na obr.18 je uvedena změna hodnot vrubové houževnatosti vyvolaná deformačním stárnutím. Zkoušky proběhly při 5 % deformaci a stárnutí po 1 hodinu v teplotním intervalu 20°C až 350°C při teplotě zkoušení 100°C /49/ .



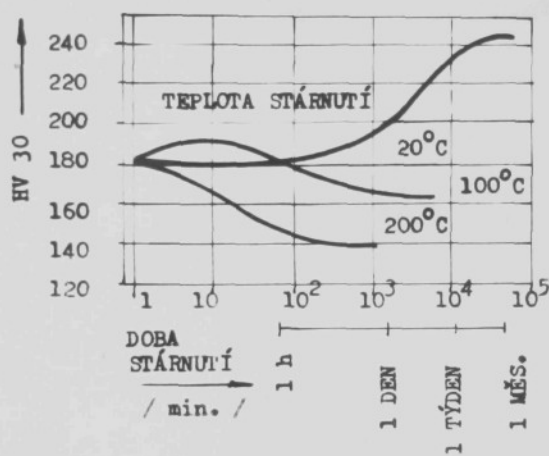
Obr.18 - Závislost vrubové houževnatosti při 100°C na teplotě deformačního stárnutí

Na obr.19 je uveden časový průběh tvrdosti po deformačním stárnutí při 20°C a 200°C , pro plastickou deformaci 5 % a 10 %. Po ochlazení vzorku je 700°C v peci /49/. Tvrdost se zvýšila tvářením za studena z hodnoty oca 100 HV na hodnoty uvedené v diagramu. Pak po velmi krátké době stárnutí došli k jejímu dalšímu zvýšení. Další časový průběh tvrdosti je zřejmý z diagramu.



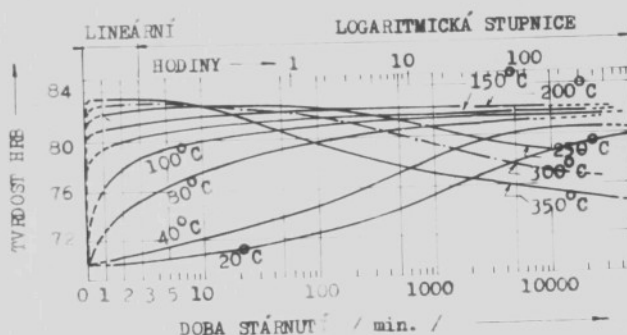
Obr.19 - Závislost tvrdosti na době deformačního stárnutí při 20°C , 200°C , po deformaci 5 % a 10 %

Průběh tvrdosti po deformačním stárnutí u oceli s vysokým přesycením tuhého roztoku interstitickými atomy je uveden na obr.20. Stárnutí proběhlo při teplotách 20, 100, 200°C . Vysokého přesycení interstitickými atomy se dosáhlo zakalením z teploty 700°C do vody, před deformací 5 %.



Obr.20 - Závislost tvrdosti na době a teplotě stárnutí po deformaci

Na obr.21 je uvedeno zvýšení tvrdosti vlivem deformačního stárnutí /deformace 15 %/, u nízkouhlíkaté oceli podobrého chemického složení jako má ČSN 41 1373, při různých teplotách stárnutí / 63 /.



Obr.21 - Průběh tvrdosti v závislosti na době a teplotě stárnutí po deformaci 15 % u nízkouhlíkaté oceli / 63 /

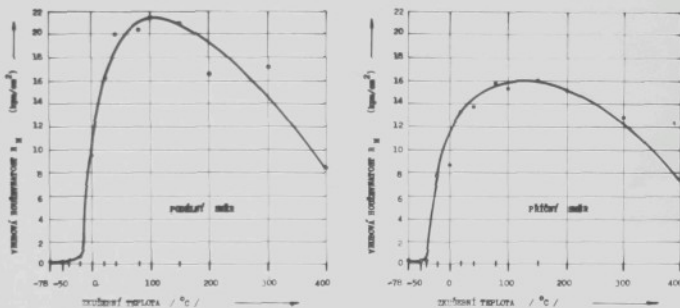
Na tab.11 jsou uvedeny pro informaci normou předepsané základní mechanické hodnoty daného druhu materiálu drátu. Ověřovací zkoušky mechanických hodnot použitého drátu nebyly prováděny, protože nejsou rozhodující pro požadavek ochrany. Rozhodující je zde chemické složení a jeho dodržení. Jak ukazuje výsledky v tab. 10 chemické složení použitého drátu odpovídá údajům normy.

Tab.11 Předpis základních mechanických hodnot drátu
ČSN 42 4005.21 - stav polotvrzý

Materiál	Mez pevnosti σ_{Pt} (kp/mm ²)	Tažnost δ_{10}	Tvrzost $P=5D^2$ HB
ČSN 42 4005.21	min. 10	min. 6	25 - 30

5.3 Strukturní složení nametalizované hliníkové vrstvy

Pro zjištění složení nametalizované hliníkové vrstvy, kolik obsahuje hliníku v kovové formě a kolik Al_2O_3 , byl proveden její chemický rozbor. U všech tloušťek nametalizované vrstvy byl obsah Al_2O_3 v rozsahu 0,068 - 1,15 %, zbytek byl hliník v kovové formě. Obsah Al_2O_3 v nametalizované vrstvě je poměrně nízký, dle literárních údajů i osobní konsultace s Ing. Veselým ze Státního výzkumného ústavu ochrany materiálu v Praze se obsah Al_2O_3 pohybuje v rozmezí 0,5 - 10 %, podle způsobu metalizace a zvolené technologie. V našem případě lze vysvětlit poměrně nízký obsah Al_2O_3 ve vrstvě, metalizací z krátké vzdálenosti /což se předpokládá pro případ metalizace v automatické lince/. V tomto případě letící báštice roztaveného hliníku prodélává minimální oxydaci. Pro metalizaci je podle nejnovějších poznatků nevhodnější ta vzdálenost, ve které je rychlosť a teplota částice v určitém optimálním poměru, při kterém se dosahuje nejlepšího zakotvení nametalizované vrstvy.

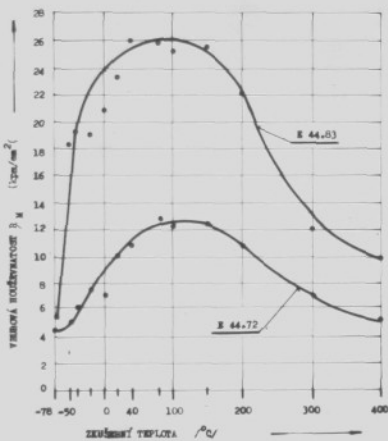


Obr. 22 - Průměrné hodnoty vrubové houževnatosti oceli ČSN 41 1373 při teplotě přerušení $-78^{\circ}\text{C} \pm 400^{\circ}\text{C}$

Náchylnost oceli ČSN 41 1373 ke stárnutí byla ověřována zkouškami vrubové houževnatosti uměle stárnutých, tzn. vysazovaných za kritických poměrů pro stárnutí: 10 % deformace a ohřev na 250°C po dobu 0,5 hod. s ochlazením na vzduchu. Sesíňnaté hodnoty jsou uvedeny na tab. 17 (minimální, maximální a průměrné hodnoty).

Tab. 17 - Stárnutí oceli ČSN 41 1373 - příčný směr

Stav mater.	Neovlivněný zákl.mater.	10 % defor.	10 % defor. + 250°C	Zkrátknutí /průměrné hodnoty/ def. def. + stár. stár.		
		R _{p0,2}	R _{U0,2}	R _U		
Vrubové houževnatost R _m (kg/mm ²)	12,8-14,0 13,4	4,6-6,0 5,3	1,8-4,3 2,2	8,1	10,1	2,0



Obr. 23 - Průměrné hodnoty vrubové kouževnatosti svarového kovu elektrod použitých pro zkoušky v závislosti na teplotě zkoušení

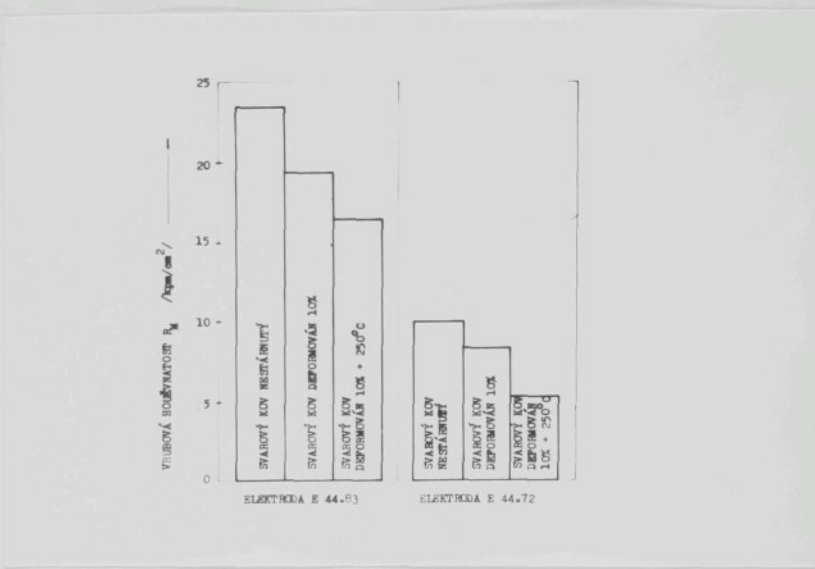
Odolnost svarového kovu proti stárnutí byla zjištěna skrze hodnoty vrubové kouževnatosti po deformaci 10 % a žíhaní 250°C /0,5 hod.-vzduch.

Získané hodnoty jsou uvedeny na tab. 23 (min., max. a průměrné hodnoty).

Tab. 23 - Hodnoty vrubové kouževnatosti svarového kovu po 10 % deformaci a žíhaní 250°C

Elektroda	R_H (kpm/cm ²)	
	10 % deformace	10 % deformace + 250°C 1/2 hod. vzduch
E 44.83	16,5 - 22,3 19,4	15,4 - 17,1 16,3
E 44.72	7,2 - 9,1 8,2	4,2 - 6,7 5,4

Na obr. 24 jsou porovnány průměrné hodnoty vrubové houževnatosti při 20°C nestárnutého svarového kova obou typů elektrod s hodnotami po deformaci 10°C a žíhání 250°C .

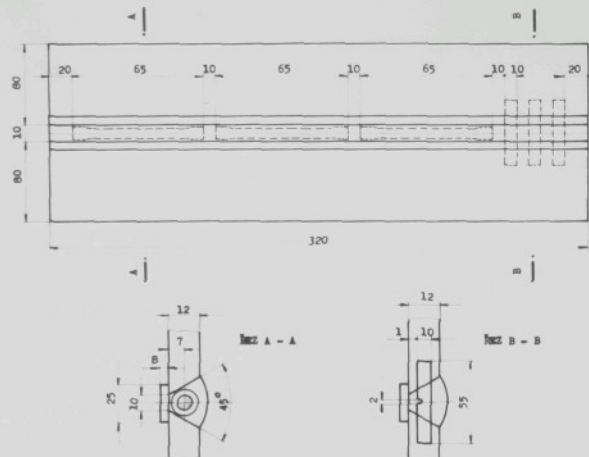


Obr. 24 - Hodnoty vrubové houževnatosti svarového kova z elektrod E 44.83 a E 44.72 bez stárnutí a se stárnutím

5.6 Změna mechanických vlastností svarového kovu vlivem nametalizované hliníkové vrstvy

Jak je uvedeno v teoretické části kandidátské práce, dá se předpokládat, že nametalizovaná hliníková vrstva bude podstatně ovlivňovat mechanické vlastnosti svarového kovu, působením: vlastní, hliníku v kovové formě, velikosti zrna a změnou poučeru při metalurgických procesech během svařování.

Abychom ověřili vliv nametalizované hliníkové vrstvy na vlastnosti svarového kovu, byla provedena řada zkoušek a výsledky porovnány s výsledky u neovlivněného svarového kovu, uvedenými v kapitole 5.5. Rozměry zkoušebních desek jsou uvedeny na obr. 25.

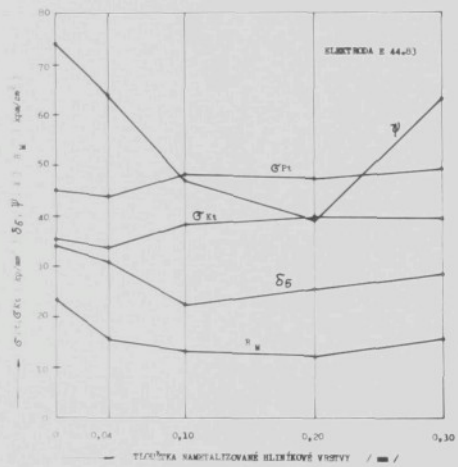


Obr.25 - Zkušební desky na ověření základních mechanických vlastností svařového kovu v závislosti na tloušťce nametalizované hliníkové vrstvy

Zkušební desky byly nametalizovány hliníkem o tloušťce vrstvy 0,04; 0,10; 0,20; 0,30 mm z obou stran, vč. návarových ploch. Tím býl podchycen ten nejnepríznivější případ, svalování detailů svařenou, opatřených ochrannou hliníkovou vrstvou až po výrobě návarových ploch, kdy je předpoklad, že dojde i k jejich nametalizování.

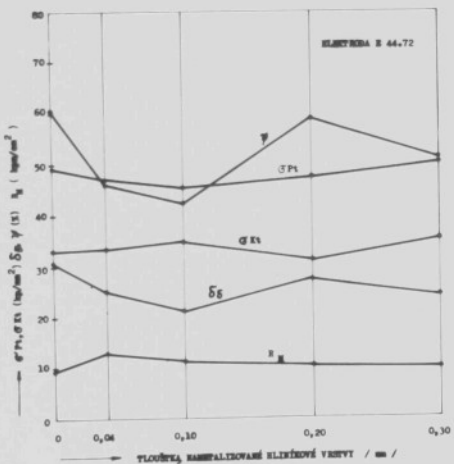
Na tab.24 jsou uvedeny získané základní mechanické hodnoty svařového kovu při teplotě 20°C v závislosti na tloušťce nametalizované hliníkové vrstvy (minimální, maximální/průměrné hodnoty). Pro porovnání jsou v tabulce uvedeny i hodnoty pro svařový kov neovlivněný nametalizovanou vrstvou.

Na obr.26 je vyznačen průběh průměrných mechanických hodnot svařového kovu elektrody E 44.83 v závislosti na tloušťce nametalizované vrstvy hliníku.



Obr. 26 - Průběh průměrných mechanických hodnot svarového kovu z elektrody E 44-8 v závislosti na tloušťce nametařované hliníkové vrstvy

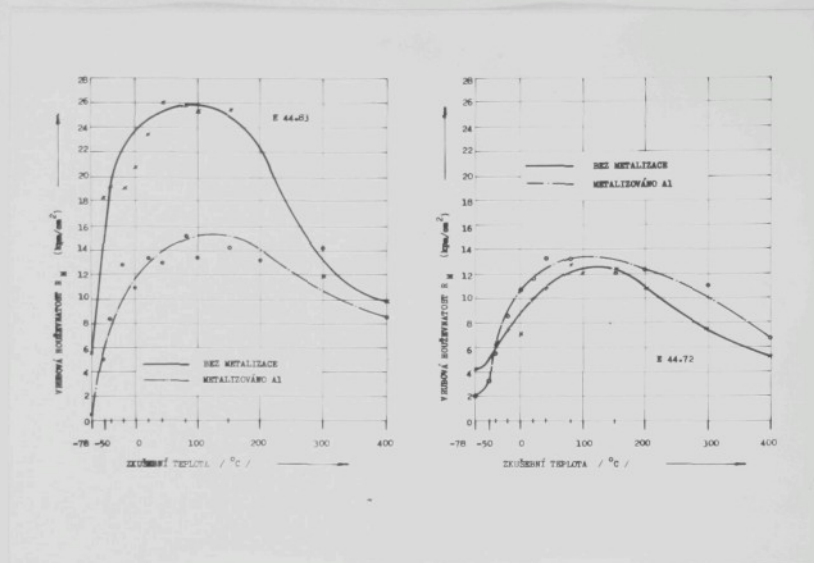
a obr.27 je pak uveden průběh těchto hodnot pro elektrodu
B 44.72.



Obr.27 - Průběh průměrných mechanických hodnot svařového kovu z elektrody B 44.72 v závislosti na tloušťce nanetalizované hliníkové výrobky

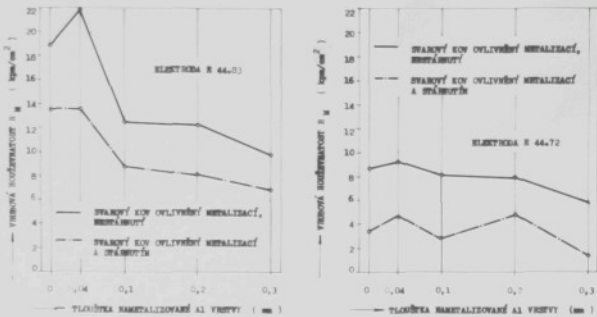
Při svařování zkusebních desek s nanatalizovanou hliníkovou vrstvou elektrodou B 44.72 docházelo k vření tavné lázně, avšak při větších tloušťkách metalizace. Povrch zkoušek byl v důsledku toho nekvalitní, s řadou port. U elektrod basických /B 44.83/ k tomuto jevu nedocházelo.

v diagramu na obr.28 je uvedena průměrná hodnota vrubové kouřovatosti v závislosti na teplotě pro tento případ. Po celkovém zkoušení v diagramu vyneseny průměrné hodnoty vrubové kouřovatosti svarového kovu a s olovným typem elektrod nezávislého metalizace.



Obr.28 - Průměrné hodnoty vrubové kouřovatosti i svárového kovu z elektrod E 44-01 a E 44-72 po vlivném a ovlivněního metalizaci klinické tloušťky 0,19 mm, v závislosti na teplotě přezáření

celnosti metalizací ovlivněného svárového kova pro i stárucí plzeňsková zkoušení vrubové kouřovatosti po 10 % deformaci až dosah 250 °C/0,5 hod-vzduchu. Následné hodnoty jsou uvedeny pro oba typy elektrod na tab. 36. Pro porovnání jsou uvedeny rovné hodnoty pro metalizaci neovlivněný svárový kov.



Obr.29 - Hodnosti vrubového lodevnatočného svařování o kruhu nebalancovaného a sfirnatého v závislosti na tloušťce nemetalizované klipnikové vrstvy.

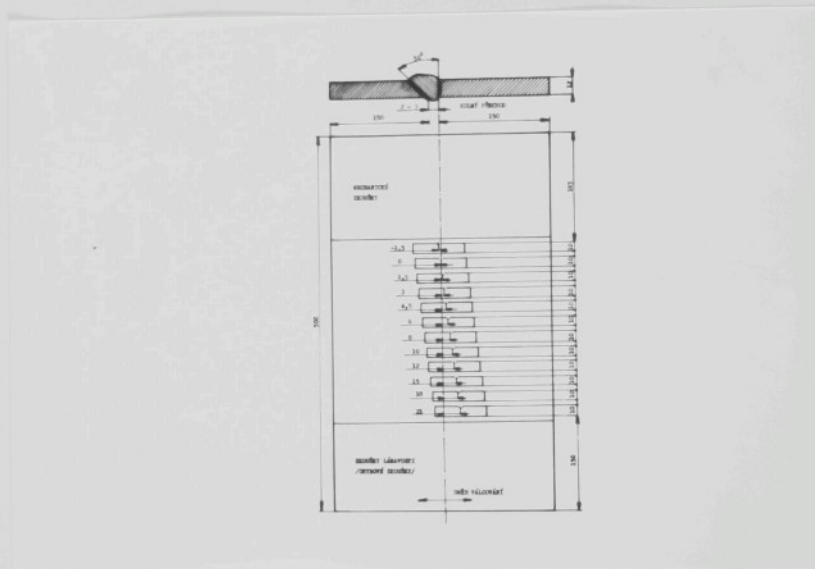
5.7. Řízení mechanických vlastností svařování spoje vlivem nemetalizované klipnikové vrstvy

Vlastnosti svařových spojů provedených různými svařovacími postupy srovnávány zde v tabulce:

- Vlastnosti svařovacích spojů závisí na tloušťce svařovaného materiálu, které ovlivňuje vlastnosti původního materiálu spoje, což je vlastnost sejmutitelnosti.
- Vlastnosti svařovacích materiálů používaných pro svařování.
- Použitím aplikací a postupu svařování.

pracovního spoju a určení vlivu
výrobního procesu na kvalitu
výrobku. Výzkum byl proveden
na žárujících žárovkách s vý-
měnou žárovky v každém závodu
a vývojového závodě v rámci výroby
realizovaných žárovek.

Závesného žárovkového hřívce byly použity žárovky s výkonem 500 x 1000 W, které byly vloženy do žárovkového hřívce
a byly vloženy do provozu jako 1/2 žárovky. Obě žárovky byly
zavřeny žárovkovou sklem o hr. 30. Závesek žárovky byl vložen do žárovkového hřívce
a vložen do žárovkového hřívce.

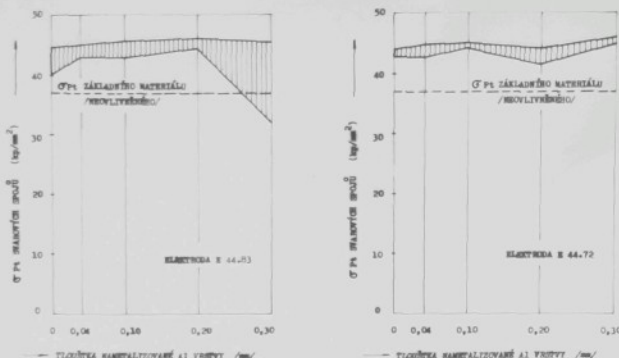


Spoj žárovky s žárovkovým hřívem je vytvářen pomocí vakuu, vložením žárovky do žárovkového hřívce a vložením žárovkového spoje.

Po vložení žárovky do žárovkového hřívce je žárovka vložena do žárovkového hřívce.

$1,15 \times 1,15 = 1,32$ počet vrtův 1 + 1 + 1
 $1,32 \times 1,32 = 1,74$ počet vrtův 1 + 1 + 2

Podle výše uvedených počtu vrtův byly žárovky vloženy do žárovkového hřívce a žárovky byly vloženy do žárovkového hřívce.



Obr. 31 - Porovnání pevnosti svařových spojů při různé tloušťce namětalizované klinické vrstvy

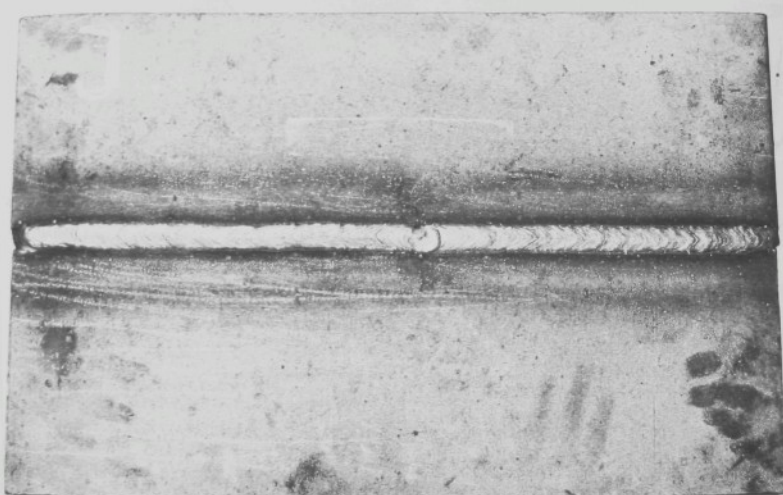
Pevnostní hodnoty svařových spojů odpovídají ve většině případů hodnotám základního materiálu. Pouze ve dvou případech bylo dosaženo minimálních hodnot základního materiálu, zkoušky proběhly v případu svazu, kde zřejmě došlo vlivem většího knoflíku k vytvoření křehké oblasti. Jde o zkoušky s největší tloušťkou nástěnku /0,3 mm/.

Při svařování zkoušených dízel elektroden s kyselým díalem 44.72 docházelo opět jako u zkoušek svařovacího kovu k vření tavící látky, již od tloušťky nástěnky 0,10 mm. Na obr. 32 - 36 je porovnání kvality povrchů svařek a je na nich vidět vzniklé pory na povrchu.

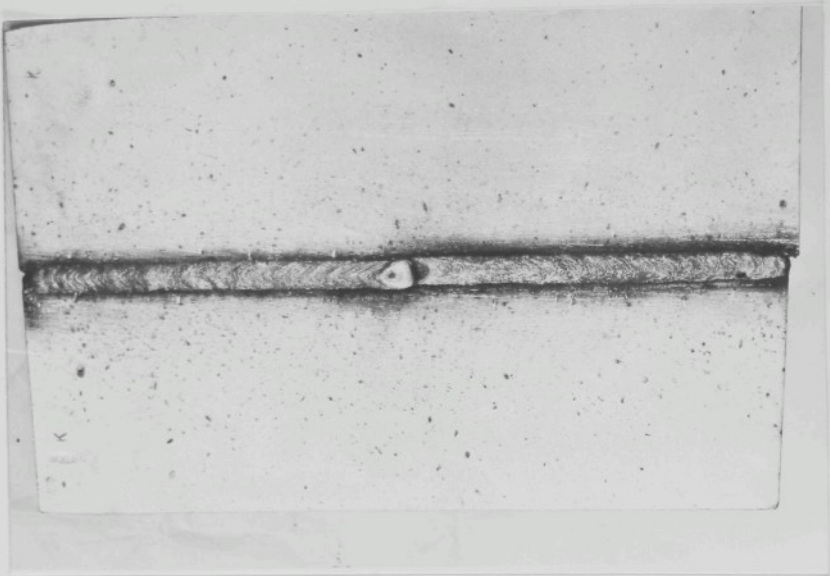
5.72 Zkoušky vrubové houževnatosti svarového spoje

Zkušební tělesko je 1. rozměr získána ze zkoušebního desek prováděných podle obrázku. Tento druh zkoušky nám umožnuje velmi jednoduše zahájit pokles hodnot vrubové houževnatosti v cylindrických oblastech svarového spoje.

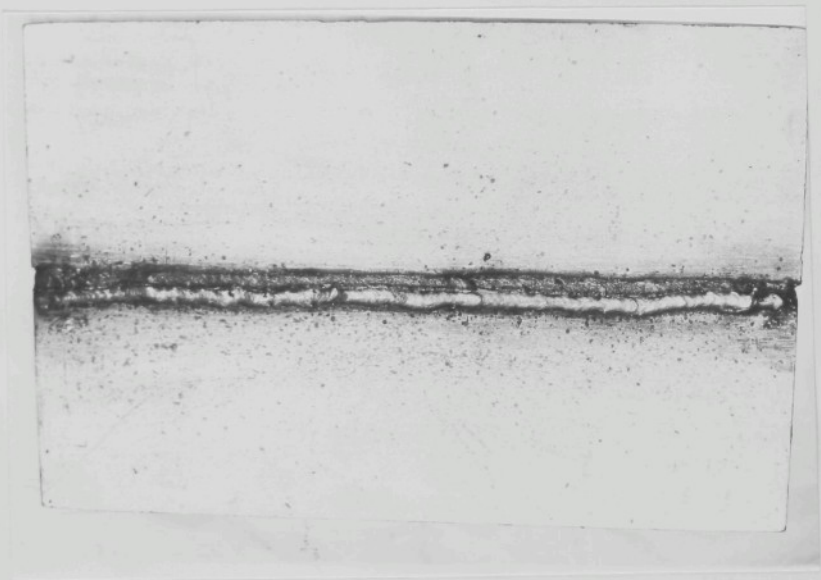
Na tab. 38 jsou uvedeny hodnoty vrubové houževnatosti svarového spoje, v různé vzdálenosti od přechodu svaru, v závislosti na tloušťce nemetalizované hliníkové vrstvy. Na diagramu na obr. 37 jsou vyneseny hodnoty vrubové houževnatosti pro elektrodu E 44.63 a tloušťky nemetalizované hliníkové vrstvy. Na diagramu na obr. 38 jsou uvedeny hodnoty vrubové houževnatosti pro elektrodu E 44.72.



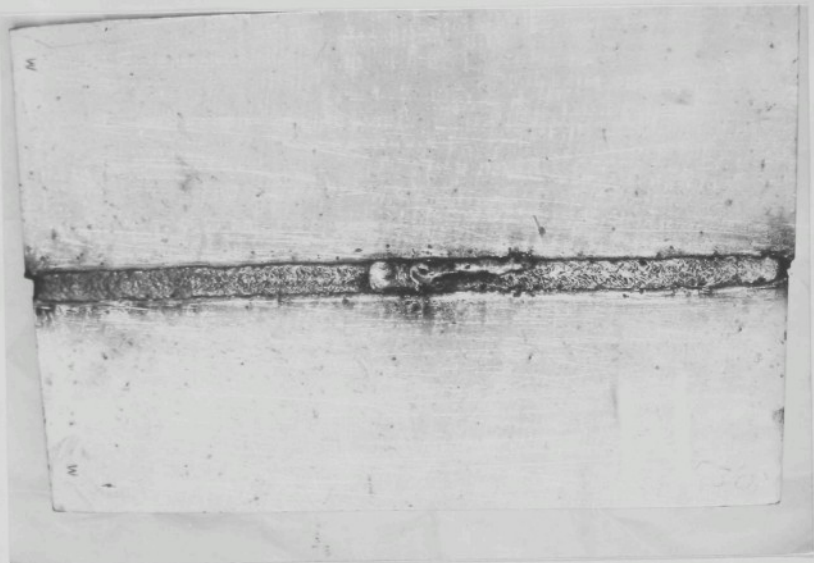
Obr.32 - Vzhled povrchu svaru zkoušky vlastnosti svarového spoje, při použití elektrody E 44.72 a desek bez nemetalizované hliníkové vrstvy



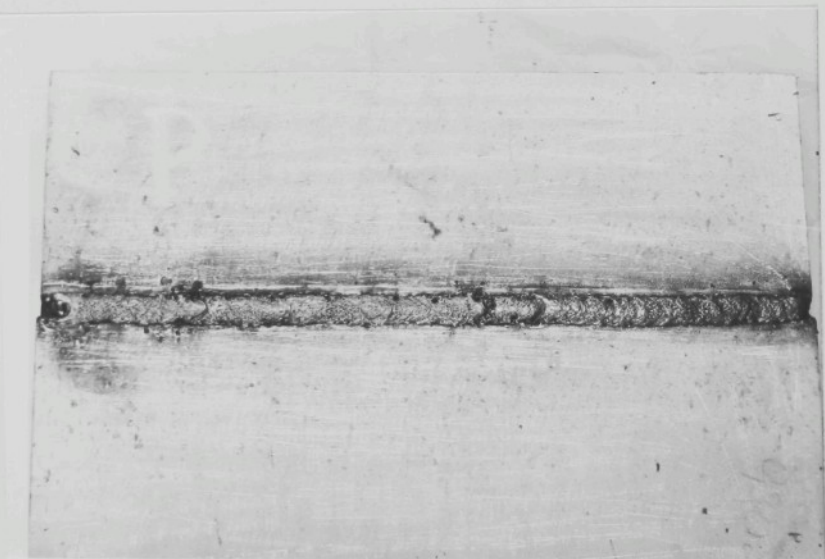
Obr.33 - Vzhled povrchu svaru zkoušky vlastnosti svařového spoje,
při použití elektrody E 44-72 u desek s naneatalizovanou
hliníkovou vrstvou tloušťky 0,04 mm



Obr.34 - Vzhled povrchu svaru zkoušky vlastnosti svařového spoje,
při použití elektrody E 44-72 u desek s naneatalizovanou



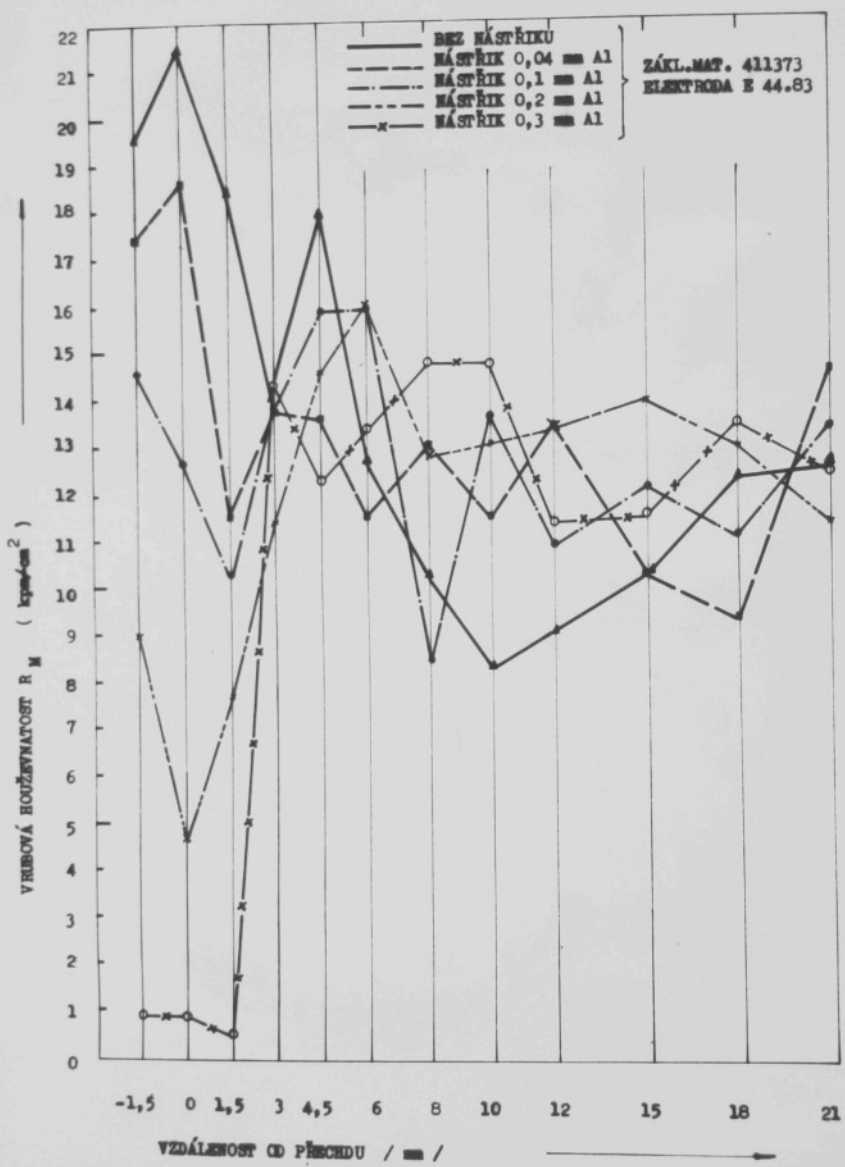
Obr.35 -- Vzhled povrchu svaru zkoušky vlastnosti svarového spoje,
při použití elektrody E 44.72 u desek s nametalizovanou
hliníkovou vrstvou tloušťky 0,20 mm



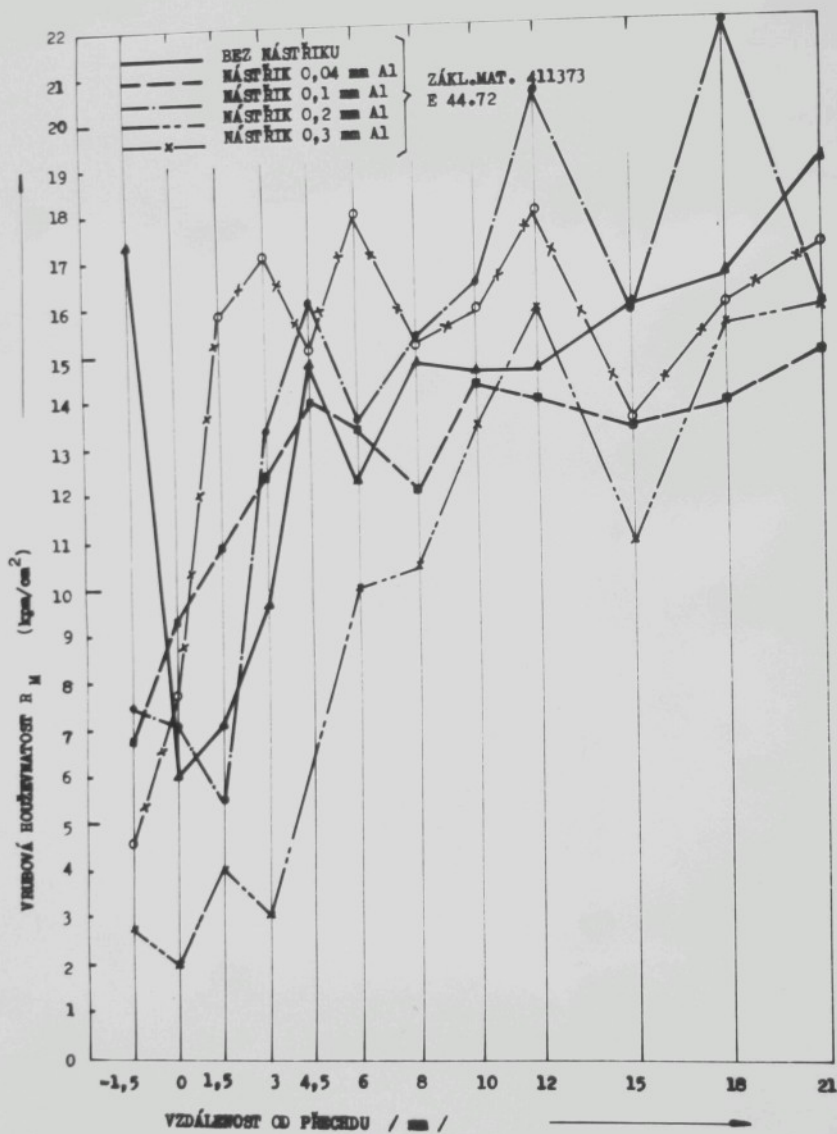
Obr.36 -- Vzhled povrchu svaru zkoušky vlastnosti svarového spoje,
při použití elektrody E 44.72 u desek s nametalizovanou
hliníkovou vrstvou tloušťky 0,30 mm

4.28 - Hodnoty vrubové houževnatosti svarového spoje pro různé tloušťky nametázkované hliníkové vrstvy

tloušťka nametázkované vrstvy /mm/	0	0,04	0,10	0,20	0,30
počítá elektroda	Vzdálenost od osy přechodu /mm/	Vrubová houževnatost R_M (kpm/cm ²)			
44.83	- 1,5	19,6	17,4	14,6	9,0
	0	21,5	18,6	12,8	4,6
	1,5	18,4	11,5	10,3	7,6
	3	14,0	13,8	14,0	11,3
	4,5	18,0	13,6	15,9	14,6
	6	12,8	11,5	15,9	16,0
	8	10,3	13,0	8,4	12,8
	10	8,4	11,5	12,6	13,0
	12	9,1	13,4	10,9	13,4
	15	10,3	10,3	12,1	13,9
	18	12,3	9,3	11,1	13,0
	21	12,5	14,6	13,4	12,5
44.72	- 1,5	17,4	6,8	7,5	2,8
	0	6,0	9,3	7,1	2,0
	1,5	7,1	10,9	5,5	4,0
	3	9,6	12,4	13,4	3,0
	4,5	14,8	14,0	16,1	14,6
	6	12,3	13,4	13,6	10,0
	8	14,8	12,1	15,3	10,5
	10	14,6	14,3	16,5	13,4
	12	14,6	14,0	20,5	15,9
	15	15,9	13,4	15,9	10,9
	18	16,5	13,9	21,8	15,5
	21	18,8	14,9	15,9	15,9



Obr.37 - Průběh hodnot vrubové kouževnatosti svařového spoje s různou tloušťkou nemetallizované hliníkové vrstvy.



04.28 - Průběh hodnot vrubové houzevnatosti svařovaného sníže s různou tloušťkou nametalizované hliníkové vrstvy

Z uvedených diagramů je zřejmé, že k největšímu zlomení dochází v oblasti přechodu svaru do základního materiálu. Příčinou je pravděpodobně vznik křehké fáze, vlivem vyššího obalu hliníku, jak bylo předpokládáno v teoretické části práce.

5.73 Ohýbací zkoušky svarového spoje

Pyše pro zkoušky byly získány ze zkoušebních česek provedených podle obr.30. Ploché ohýbací zkoušky byly zkoušeny trnem o průměru 2 t.

Na tab.29 je uveden dosáhnutý úhel ohýbu při jednotlivých zkouškách.

Tab.29 - Zkouška lámavosti svarového spoje

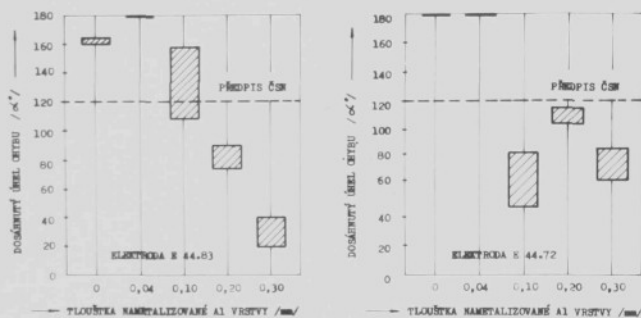
tloušťka nimetal. vrstvy → /mm/	0	0,04	0,10	0,20	0,30
Druh elektrody	Dosáhnutý úhel ohýbu α° /do vzniku první trhliny/				
E 44.83	160, 165 1.	180	103, 110, 153 1.	75, 90 1.	20, 40 1.
E 44.72	180 1.	180	45, 65, 83 1.	105, 113, 115 1.	65, 77, 85 1.

Poznámka :

1. Trhline vznikla v přechodu svaru.

Pro materiál 41 1373 je normou předepsán $\alpha = 120^{\circ}$.

z diagramu na obr.39 je vysnažen průběh velikosti úhlu ohýbu v závislosti na tloušťce nametalizované hliníkové vrstvy pro oba typy elektrod.

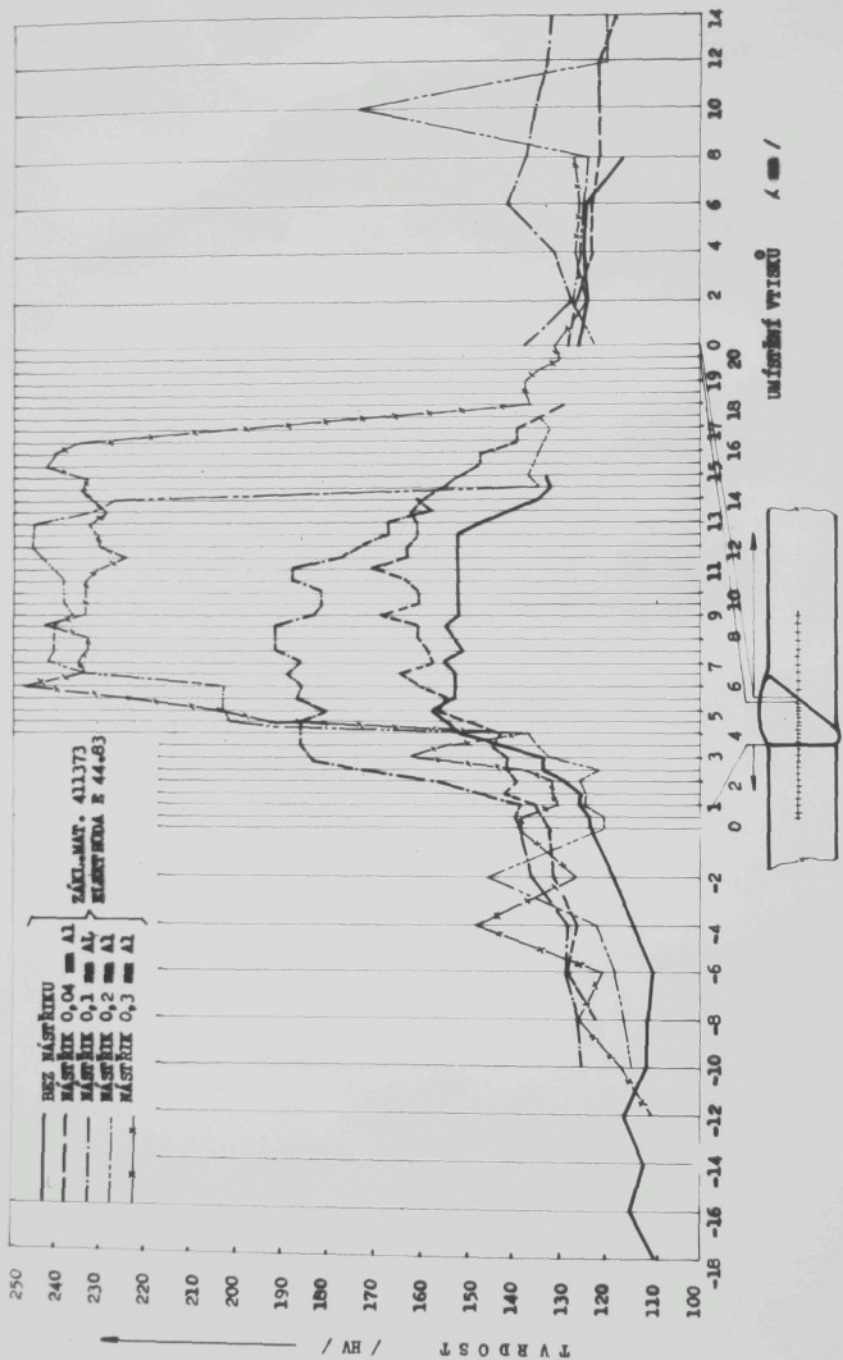


Obr.39 - Dosáhnutý úhel ohýbu svarového spoje při různých tloušťkách nametalizované hliníkové vrstvy

Z uvedené tabulky a diagramu je zřejmě, že hodnot předepsaných normou bylo dosáhнуto pouze při nástřiku tloušťky 0,04 mm v obou typů elektrod. Při tloušťce nástřiku 0,10 se norma celkem přiblížuje spoj provedený bazickou elektrodou E 44-83. Khlína vznikla u zkoušek s větší tloušťkou nametalizované vrstvy vždy v přechodu, zřejmě vlivem vzniklé křehké fáze a zhužubnutí struktury.

Tab.30 Průběh tvrdosti ve svarovém spoji při různých tloušťkách nástříku Al

Tloušťka nástříku /mm/		0	0,04	0,1	0,2	0,3
Použitá elektroda	Vzdálenost v tisku /mm/	Tvrzost /Hv/				
E 44.83	- 18	109				
	- 16	115				
	- 14	112				
	- 12	116				110
	- 10	111	125	114	116	
	- 8	111	122	116	116	126
	- 6	110	128	128	118	121
	- 4	114	126	128	122	147
	- 2	118	131	136	145	126
	0	123	132	138	120	138
	+ 0,5	123	126	139	120	138
	1	125	135	138	124	130
	1,5	125	142	145	124	131
	2	128	139	155	125	131
	2,5	133	141	170	121	137
	3	138	141	183	131	161
	3,5	141	144	186	134	154
	4	150	142	186	136	136
	4,5	154	150	186	201	191
	5	157	156	181	203	205
	5,5	152	154	187	203	228
	6	152	160	186	203	247
	6,5	152	164	189	233	233
	7	154	157	186	242	235
	7,5	151	158	191	240	233
	8	152	160	191	240	233
	8,5	154	160	191	240	242
	9,0	151	168	183	236	233
	9,5	151	160	181	238	233
	10,0	151	160	181	238	233
	10,5	151	163	187	238	233
	11,0	151	170	187	240	230
	11,5	151	162	177	242	224
	12,0	151	162	173	245	230
	12,5	151	160	166	245	230
	13,0	147	160	166	245	232
	13,5	140	161	156	233	228
	14,0	134	159	160	227	230
	14,5	131	154		133	233
	15,0	132	151		136	232
	15,5		146		135	242
	16,0		146		133	240
	16,5		138		128	235
	17,0		138		131	215
	17,5		132		133	183
	18,0		128			135
	18,5					136
	19,0					136
	19,5					134
	20,0					129
	0	125	127	137	121	130
	2	123	125	126	126	123
	4	124	122	130	124	125
	6	123	122	140	123	124
	8	115	120	136	122	125
	10		120	134	170	
	12		120	131	118	
	14		116	130	118	

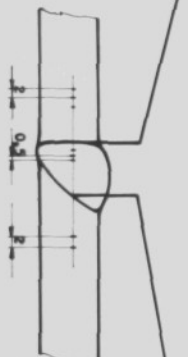


Obr. 68 - Závislost hodnot třídelnosti přes svařový spoj provedený elektrodou S 44.83 při různých tloušťkách namontované hliníkové vrstvy.

Tab.31 Průběh tvrdosti ve svarovém spoji při různých tloušťkách nástříku Al

Tloušťka nástříku Al [mm]		0	0,04	0,1	0,2	0,3
Tloušťka elektr. [mm]	Vzdálenost vtisku [mm]	Tvrzost /H _v /				
	-28			108		
	-26			107		
	-24			107		
	-22			108		
	-20		109	109		
	-18		110	109		
	-16		110	128	112	
	-14	121	115	115	112	
	-12	124	126	115	116	
	-10	125	120	123	120	
	-8	124	116	124	118	
	-6	136	122	134	118	
	-4	136	121	132	125	117
	-2	136	124	141	134	117
	0	136	124	145	156	117
	0,5	136	126	144	186	123
	1	136	124	143	197	123
	1,5	138	125	140	196	123
	2	138	131	142	192	126
	2,5	137	126	142	187	128
	3	141	131	142	205	160
	3,5	143	135	141	203	160
	4	142	159	143	203	160
	4,5	145	154	142	202	168
	5	147	165	142	206	168
	5,5	144	169	141	206	168
	6	144	161	142	212	168
	6,5	145	157	142	210	170
	7	144	153	148	207	170
	7,5	146	160	154	206	163
	8	149	158	161	212	158
	8,5	149	156	163	224	162
	9	151	157	161	209	169
	9,5	154	157	166	202	170
	10	154	160	165	202	173
	10,5	151	160	160	199	170
	11	149	161	158	145	166
	11,5	155	154	157	147	171
	12	142	156	149	146	179
	12,5	138	156	151	146	177
	13	136	150	151	138	179
	13,5	142	150	147	137	181
	14	142	144	146	138	151
	14,5	140	137	114	136	134
	15	142	143	142	136	128
	15,5	138	138	131	135	128
	16	136	138	129	131	128
	16,5	136	138	129	131	125
	17	138	138	128	135	131
	17,5	137	138	124	131	128
	18		138	123	133	
	18,5		133	120		
	19			118		
	0	133	133	124	122	120
	2	129	133	123	122	124
	4	131	133		122	123
	6	126	131		120	119
	8		121			123
	10					125
	12					120
	14					117
	16					120
	18					114

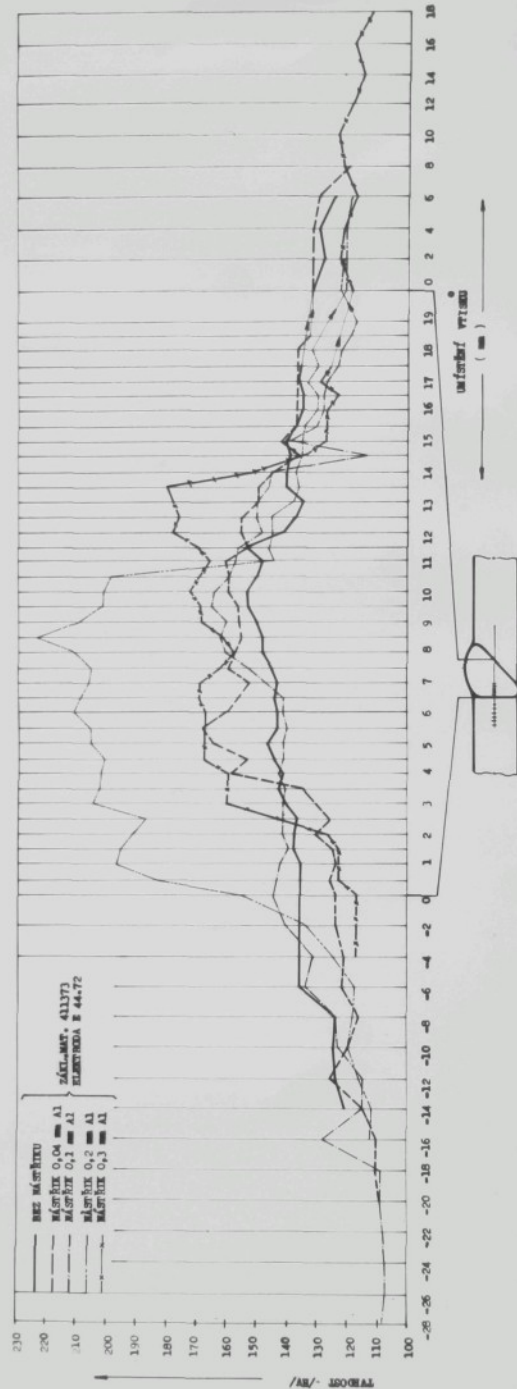
E 44.72



ZDROJ VLASTNÝ

SVAŘOVACÍ

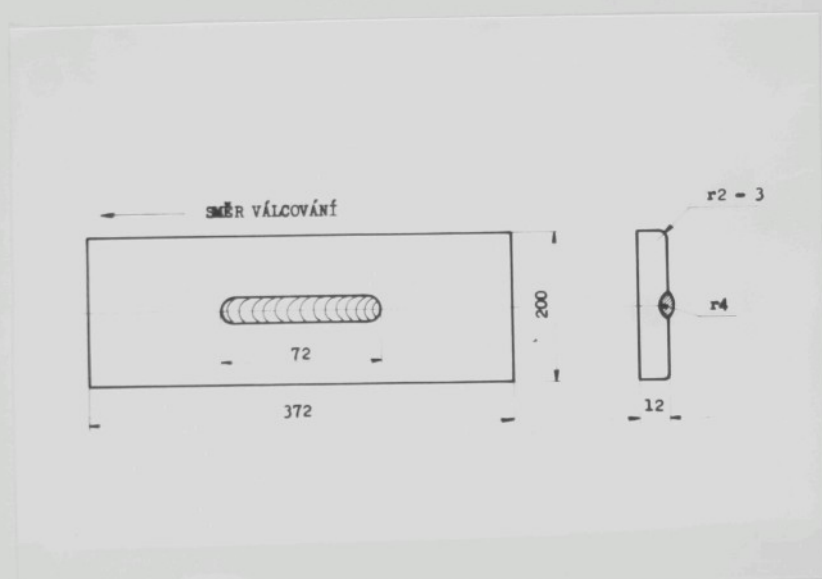
ZDROJ VLASTNÝ



Obr. 41 - Průběh hodnot tvrdosti přes uvarový spoj provedený elektrodenou R 44-72 při různých tloušťkách naměřili-

5.75 Návarová zkouška ohýbová

(kušební deska pro tento druh zkoušky je znázorněna na obr.42.)



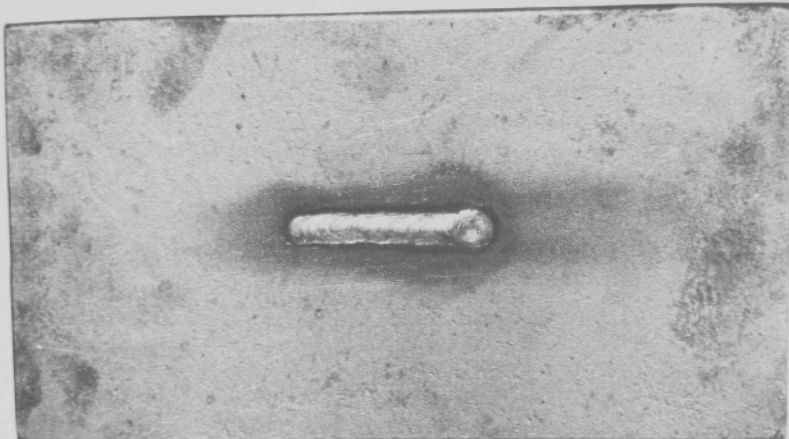
Obr.42 - Náčrtk ukušební desky pro ohýbovou návarovou zkoušku metalurgické svařitelnosti

Desky byly opatřeny nametalizovanou vrstvou hliníku o tloušťce 0,04; 0,10; 0,20; 0,30 mm i v drážce. Pak byla nanosena návarová housenka oběma typy elektrod, průměr elektrody 5 mm.

Při návarování housenky kyselou elektrodou E 44.72 docházelo opět k vzniku tavné lázně a vzniku poru, jak je zřejmé z obr. 43 - 47. Při návarování basiolou elektrodou E 44.83 k tomuto jevu nedocházelo.

Na tab.32 a v diagramu na obr.48 jsou uvedeny výsledky této zkoušky.

Z výsledků je vidět podstatný vliv nametalizované hliníkové vrstvy. Hodnot předepsaných normou bylo dosaženo u elektrody E 44.83 průza je tloušťky nametalizované hliníkové vrstvy 0,10 mm u elektrody E 44.72 jen při tloušťce 0,04 mm. V ostatních případech dochází k vzniku první trhliny již při malém úklu ohýbu. Zřejmě došlo k podsváření oboucasné návarové housenky hliníkem, a tím k velkému snížení plasticity svařového kovu.



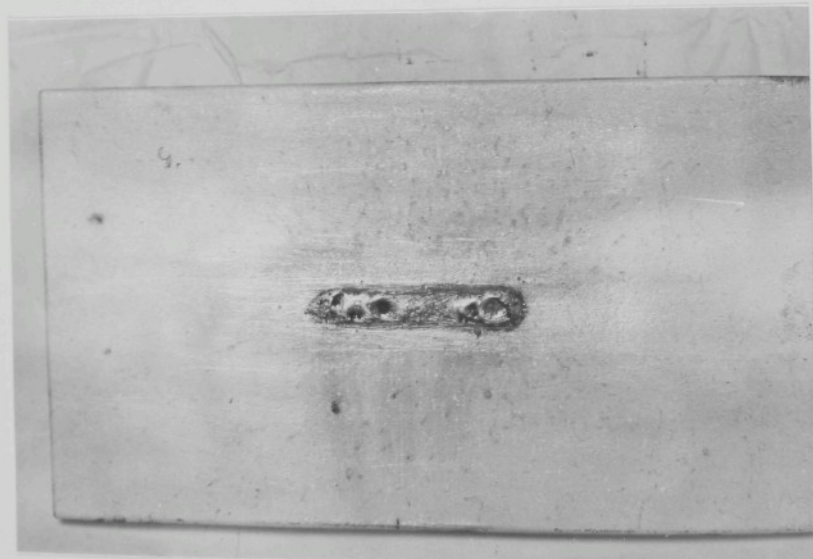
Mr.43 - Vzhled povrchu housenky u návarové zkoušky ohybové, u desky bez nanometalizované vrstvy hliníku, provedené elektrodou B 44.72



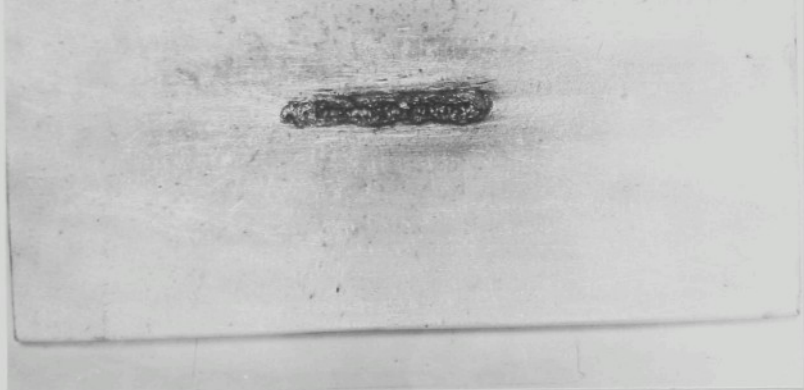
Mr.44 - Vzhled povrchu housenky u návarové zkoušky ohybové, u desky s nanometalizovanou vrstvou hliníku tloušťky 0,04 mm, provedené elektrodou B 44.72



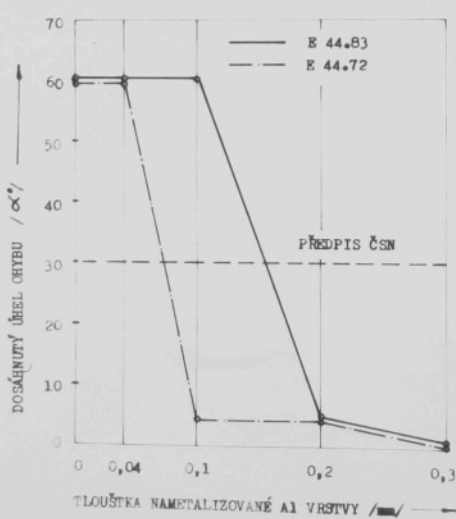
45 - Vzhled povrchu housenky u návarové zkoušky ohýbové,
u desky s nametalirovánou vrstvou hliníku tloušťky
0,10 mm, provedené elektrodou E 44-72



46 - Vzhled povrchu housenky u návarové zkoušky ohýbové,
u desky s nametalirovánou vrstvou hliníku tloušťky
0,20 mm, provedené elektrodou E 44-72



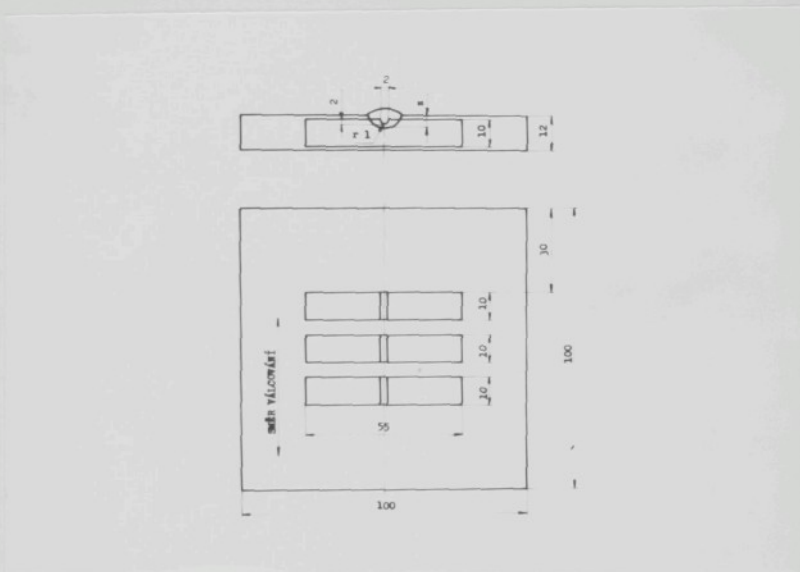
17 - Vzhled povrchu housenky u návarové zkoušky chybové, u desky s nametalizovanou vrstvou hliníku tloušťky 0,30 mm, provedené elektrodou E 44.72



18 - Velikost úhlu chybu při dosažení první trhliny u návarové zkoušky chybové

Nařízení o návarové zkoušce rázové

Zkušební deska pro tento druh zkoušky je znázorněná na

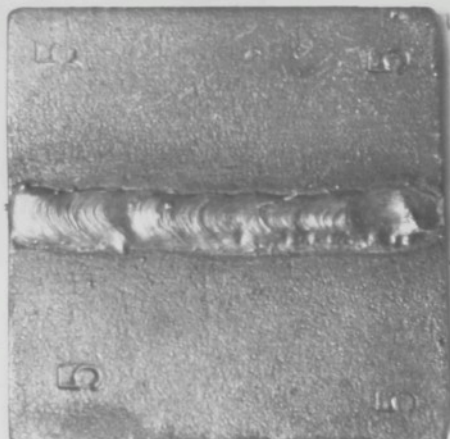


Obr.49 - Náčrtk zkušební desky pro návarovou zkoušku rázovou

Desky byly opět opatřeny nametalizovanou vrstvou hliníku s tloušťkou uvedených vložek (i v drážce). Pak byla umístěna návarová souprava obecné typy elektrod, průměr elektrody 10 mm.

Při navářování housenky lyselou elektrodou E 44.72 docházelo opět jako u přechodového typu zkoušky k vření tavné lítiny a vnitku očru, jak je zřejmé z obr.50 - 54. Při navářování elektrodou bezickou E 44.83 k tomuto jevu nedocházelo.

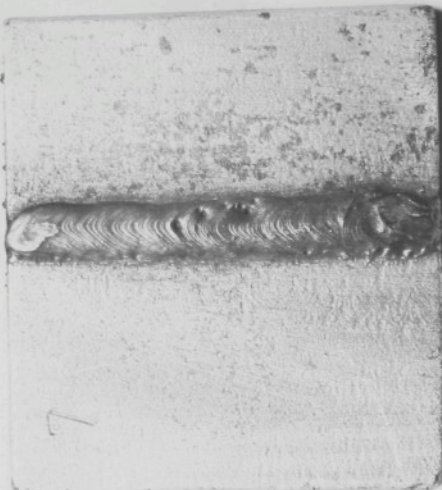
Z tab.33 a v diagramu na obr.55 jsou uvedeny výsledky této zkoušky. Z výsledků je vidět, že tento druh zkoušky neulíčí vliv nametalizované hliníkové vrstvy na svávitelnost materiálu. Krubová hrubost se nijak výrazně nemění.



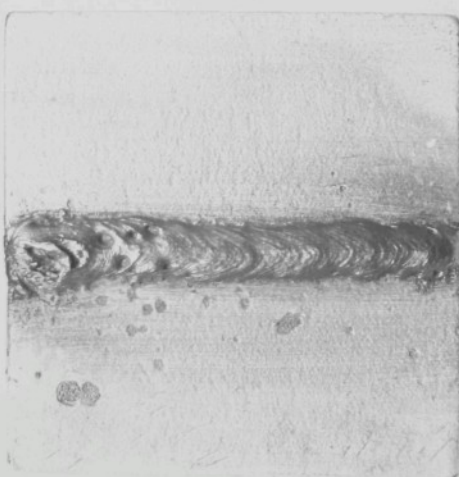
■.50 - Vzhled povrchu housenky u návarové zkoušky číso 6,
u desky bez nametalizované vrstvy hliníku



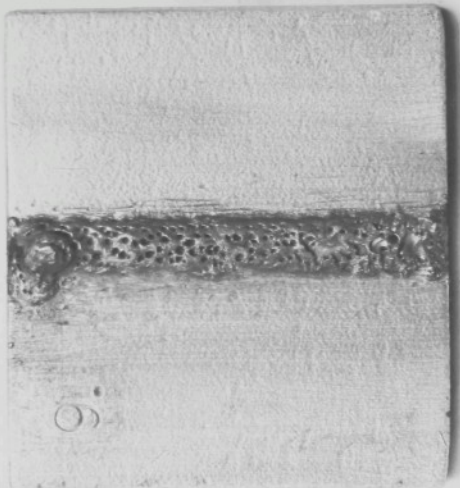
■.51 - Vzhled povrchu housenky u návarové zkoušky číso 6,
u desky s nametalizovanou hliníkovou vrstvou tl. větky
0,04 mm, svorených elektrodech s 44.72



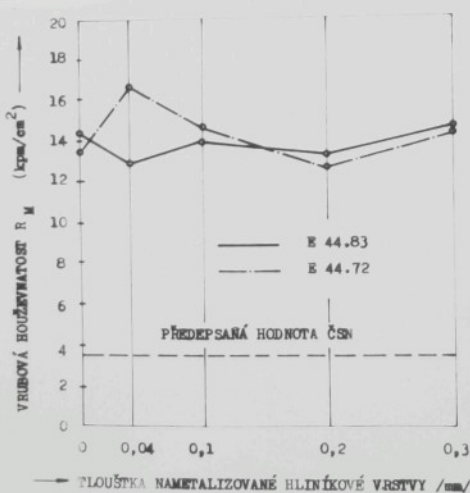
7.52 - Vzhled povrchu houšenky u návarové zkoušky závazní, u desek s nametálovanou hliníkovou vrstvou tloušťky 0,10 mm, svářených elektrodou E 44-72



7.53 - Vzhled povrchu houšenky u návarové zkoušky závazní, u desek s nametálovanou hliníkovou vrstvou tloušťky 0,20 mm, svářených elektrodou E 44-72



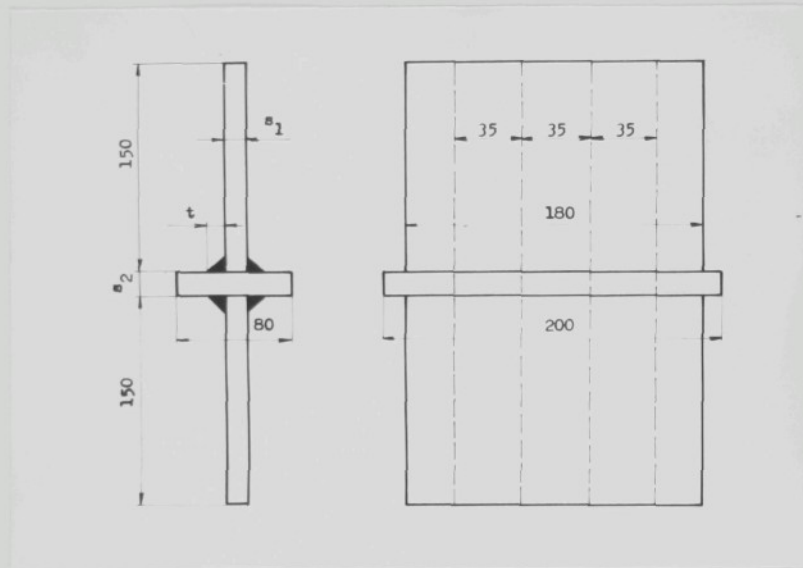
54 - Vzhled povrchu housenky u návarové skoušky rázové, u česek s nametalizovanou hliníkovou vrstvou tloušťky 0,30 mm., svařených elektrodou E 44.72



55 - Velikost vrubové kouzavnosti při návarové skoušce rázové v závislosti na tloušťce nametalizované hliníkové vrstvy

Křížové zkoušky

Zkušební deska pro tento druh zkoušky je znázorněna na obr. 56.



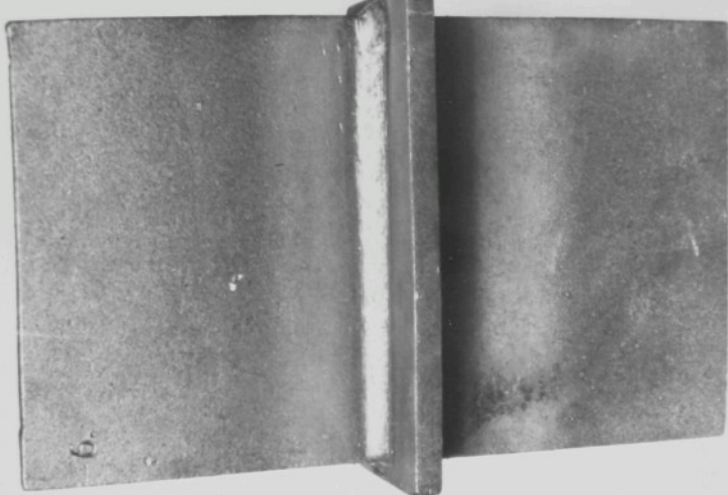
Obr.56 - Náčrtek zkušební desky pro křížovou zkoušku

Desky byly opatřeny nametalizovanou vrstvou hliníku o tloušťce uvedených tloušťkách a pak svařeny koutovým svarom 6 mm. Tato zkouška jeme si chtěli ověřit výsledky u koutových svarů, protože tento druh spoje je velmi často ve svařovaných konstrukcích používán.

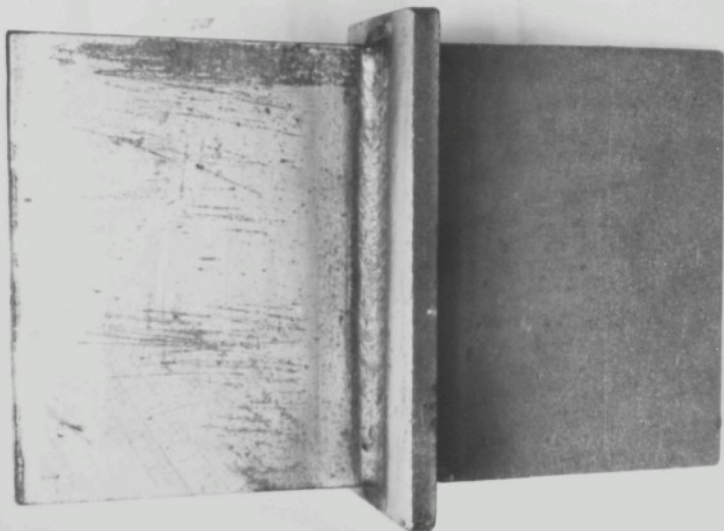
Při svařování kyselou elektrodou E 44.72 docházelo opět k místní tavné lázně a vzniku porů jak je zřejmé z obr.57 - 61. Používání baziokou elektrodou E 44.83 k tomuto jevu nedocházelo.

Na tab.34 a v diagramu na obr.62 jsou uvedeny výsledky této zkoušky /pevnost koutového svaru/.

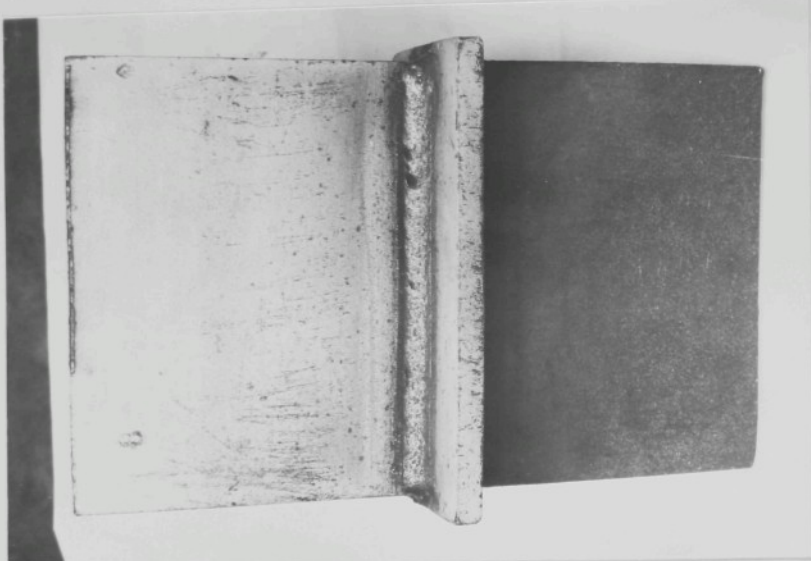
Výsledků je vidět výrazný pokles pevnosti koutových svarů v tloušťkách nametalizované hliníkové vrstvy všech ič 0,10 mm. V zadním úlohu zde opět hrála přechodová oblast svařový kov - klasický materiál velmi podstatně v tento případě ovlivněná obsahem hliníku.



7 - Vzhled povrchu koutového svaru, u desek bez nametali-
zované vrstvy hliníku, svářených elektrodou E 43.72



8 - Vzhled povrchu koutového svaru, u desek s nametali-
zovanou vrstvou hliníku o tloušťce 0,04 mm, svářených
elektrodou E 43.72



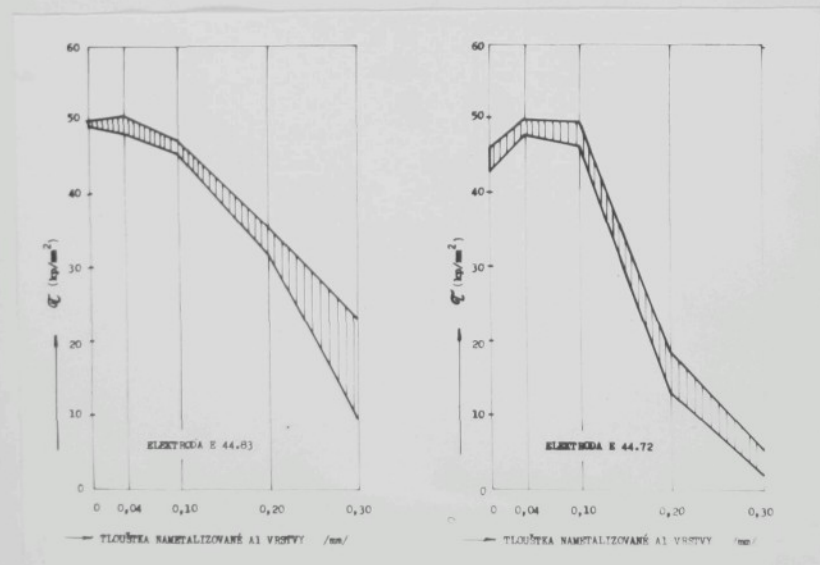
59 - Vzhled povrchu koutového svaru, u desek s unmetalizovanou vrstvou kliníku o tloušťce 0,10 mm, svářených elektrodenou E 44-72



560 - Vzhled povrchu koutového svaru, u desek s unmetalizovanou vrstvou kliníku o tloušťce 0,20 mm, svářených elektrodenou E 44-72



61 - Vzhled povrchu koutového svaru, v desek s namontovanou vratou hliníku o tloušťce 0,30 mm, svařených elektrodou E 44-72



62 - Pevnost koutových svarů při unikové zkoušce v svislosti na tloušťku namontované hliníkové vrstvy

Detaloprafičké vykreslození a chemický rozbor zkoušených svařových spojů

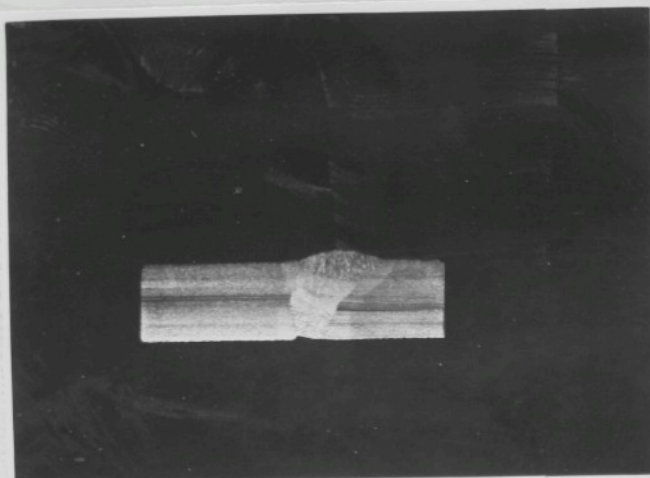
Svařové spoje byly rovněž vykresleny makroskopickému a mikroskopickému rozboru. Na obr. 63 - 72 jsou makrosníky ve skutečné velikosti 1:1 z jednotlivých skúšebních desek s různými tloušťkami nametralizované hliníkové vrstvy. Z těchto makrosnímků je zřejmé, že svařování bylo provedeno velmi pečlivě, ale zde je vidět u zkoušek s větší tloušťkou nametralizované vrstvy, že dochází k výření tavné látky a ke vzniku porák.

Na obr. 73 - 102 jsou uvedeny mikrostrukturny jednotlivých svařových spojů u zkoušek s různou tloušťkou nametralizované vrstvy, provedených elektřidem I 44,83 a I 44,72.

Struktura základního materiálu je feritické perlítická.

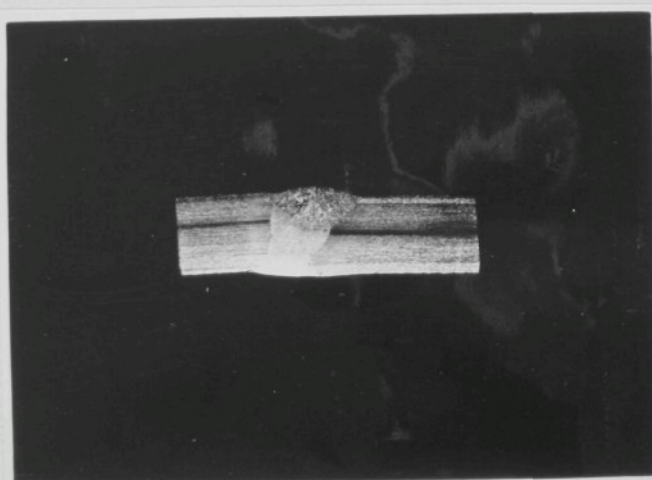
Struktura v přechodové oblasti základního materiálu je feriticko perlítická. Z náhoru s mikrosnímkem je zřejmé, že při sváření se tloušťka nametralizované hliníkové vrstvy docházelo k vytváření topelného ovlivnění základního materiálu, projovající se zvětšením čísky ovlivnění a zvětšující se zhrubnutí struktury. V přechodové oblasti svařového kova je struktura feriticko perlítická, se zvětšující se tloušťkou nametralizované hliníkové vrstvy, docházíce nejen k zvýšování zhrubnutí struktury, ale i zvýšování podílu feritové fáze ve struktuře.

Struktura svařového kova ve středních oblastech svaře je feriticko perlítická. Se zvětšující se tloušťkou materiálu, zvýšuje se opět zhrubnutí struktury a podíl feritové fáze ve svařovině.



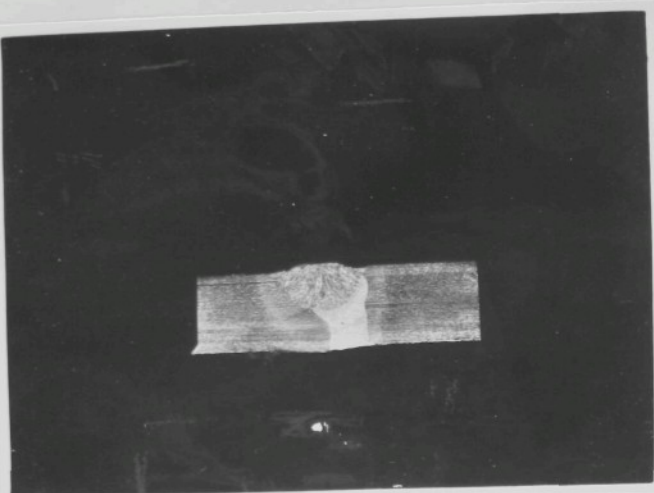
měř. 1:1

63 - Makrostruktura svarového spoje zkoušebních členek bez nanetalizované hliníkové vrstvy, elektroda E 44.83



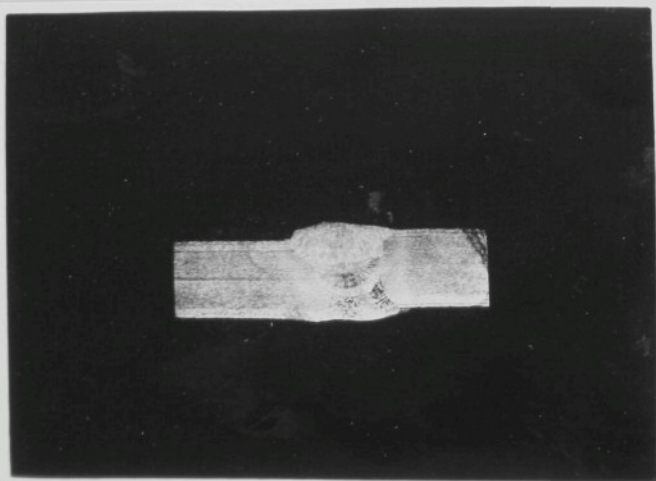
měř. 1:1

64 - Makrostruktura svarového spoje zkoušebních členek s nanetalizovanou hliníkovou vrstvou tloušťky 0,04 mm, elektroda E 44.83



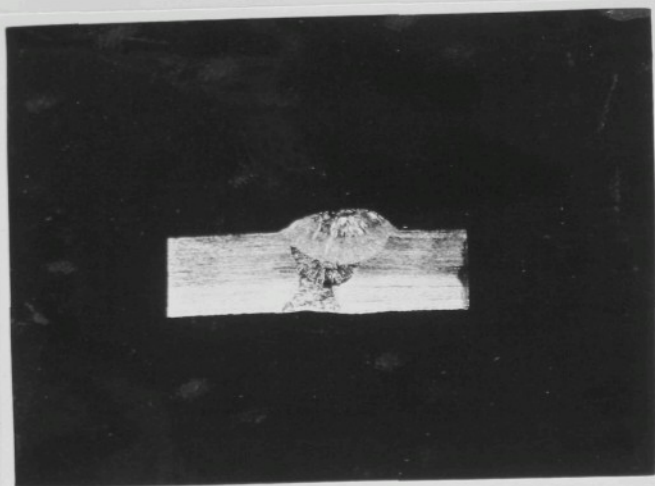
měř. 1:1

- Makrostruktura svarového spoje zkušebních desek s nane-
talizovanou hliníkovou vrstvou tloušťky 0,10 mm,
elektroda E 44.83



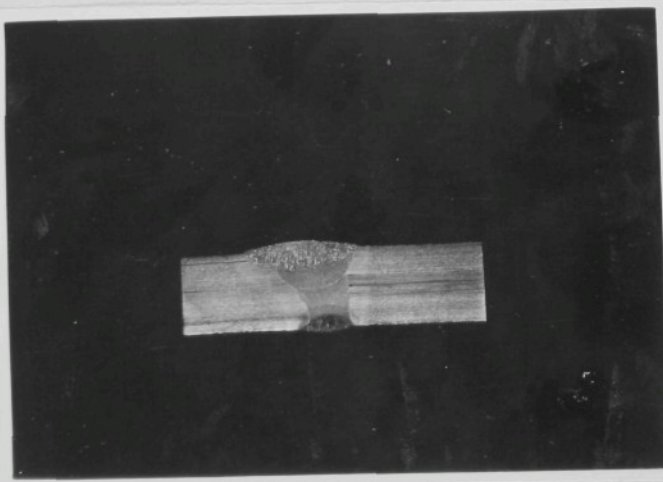
měř. 1:1

66 - Makrostruktura svarového spoje zkušebních desek s nane-
talizovanou hliníkovou vrstvou tloušťky 0,20 mm,
elektroda E 44.83



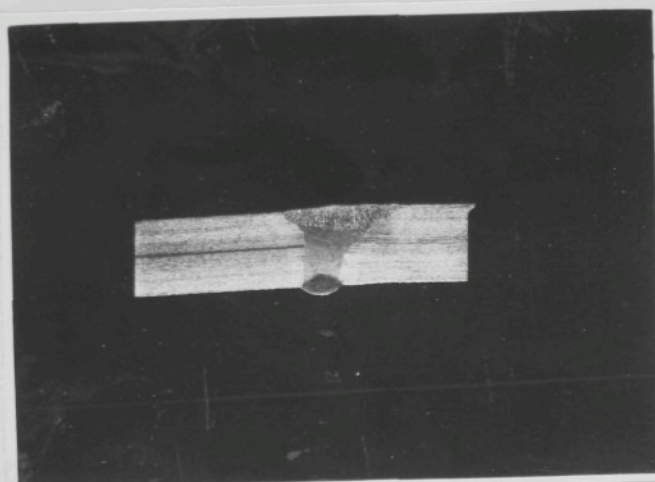
měř. 1 : 1

67 - Makrostruktura svarového spoje zkoušebních desek s nane-
talizovanou hliníkovou vrstvou tloušťky 0,30 mm,
elektroda E 44.83



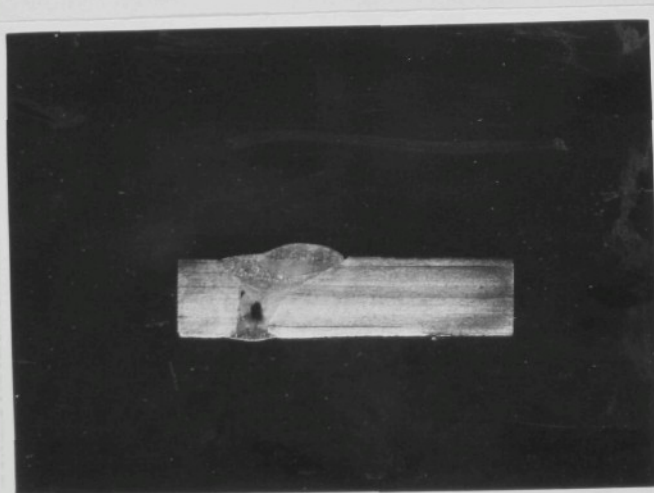
měř. 1 : 1

68 - Makrostruktura svarového spoje zkoušebních desek bez
naneatalizované hliníkové vrstvy, elektroda E 44.72



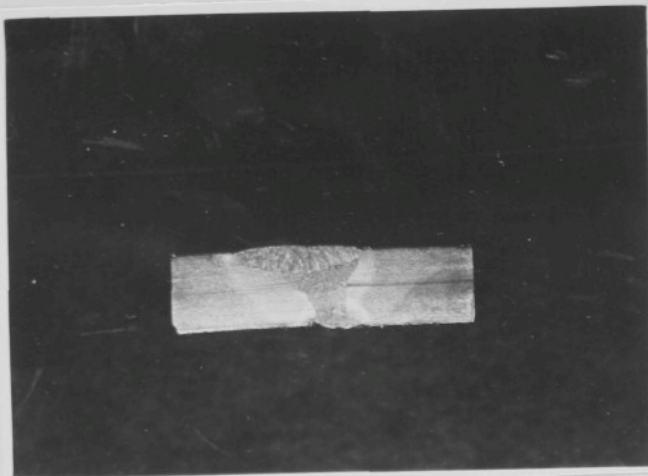
měř. 1:1

9 - Makrostruktura svarového spoje zkušebních desek s name-talizovanou hliníkovou vrstvou tloušťky 0,04 mm, elektroda E 44.72



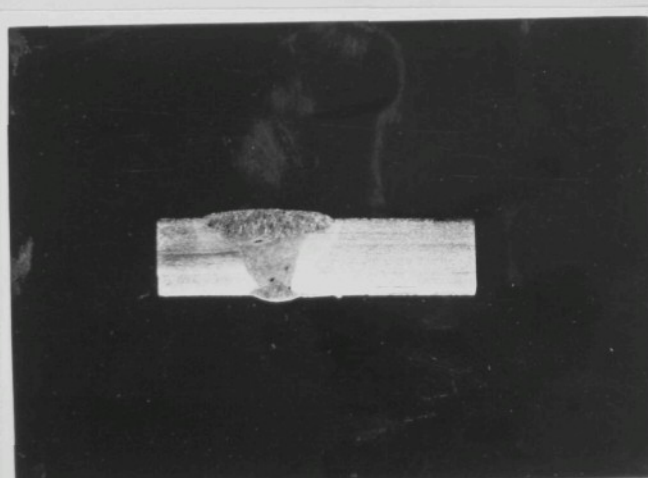
měř. 1:1

10 - Makrostruktura svarového spoje zkušebních desek s name-talizovanou hliníkovou vrstvou tloušťky 0,10 mm, elektroda E 44.72



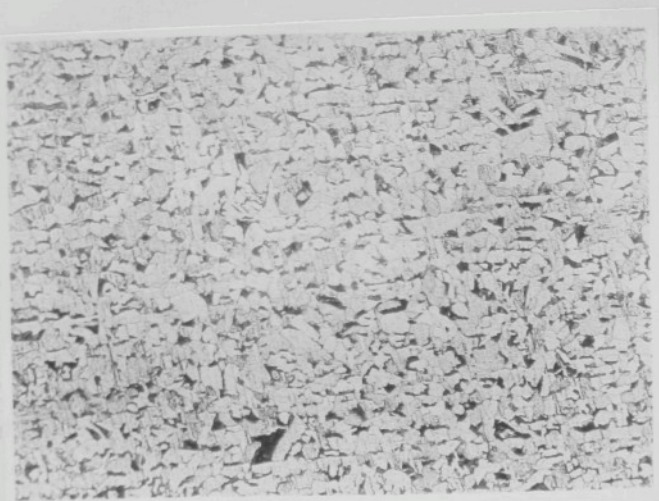
měř. 1:1

71 - Makrostruktura svarového spoje zkoušebních desek s namentalizovanou hliníkovou vrstvou tloušťky 0,20 mm, elektroda E 44.72



měř. 1:1

72 - Makrostruktura svarového spoje zkoušebních desek s namentalizovanou hliníkovou vrstvou tloušťky 0,30 mm, elektroda Ø 3,0 mm



Leptadlo : Nital
Zvětšení : 100 x

73 - Mikrostruktura základního materiálu /děška bez nametalizované hliníkové vrstvy, elektroda E 44.83/



Leptadlo : Nital
Zvětšení : 100 x

74 - Mikrostruktura přechodové oblasti svarového spoje /děška bez nametalizované hliníkové vrstvy, elektroda E 44.83/



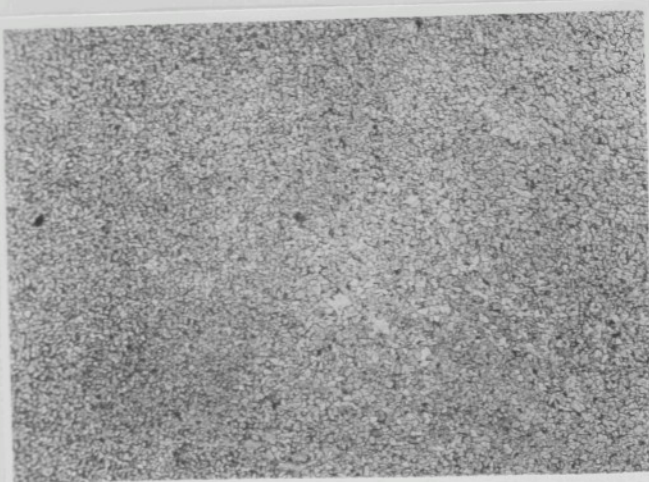
Leptadlo : Nital
Zvětšení : 100 x

.75 - Mikrostruktura svarového kovu /deska bez nametalizované hliníkové vrstvy, elektroda E 44.83/



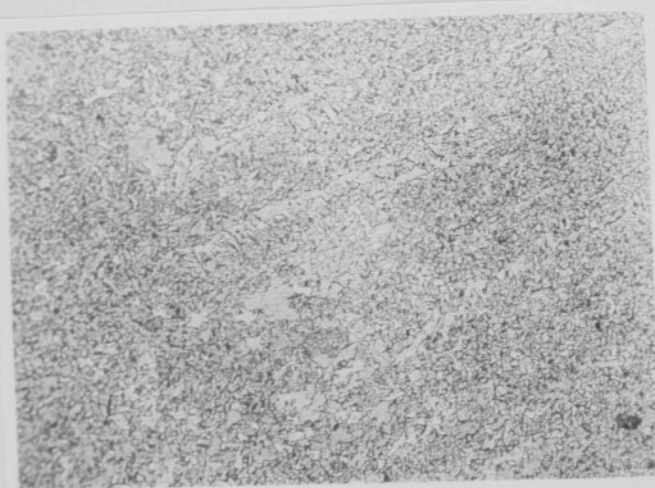
Leptadlo : Nital
Zvětšení : 100 x

.76 - Mikrostruktura základního materiálu /deska s nametali-
zovanou hliníkovou vrstvou tloušťky 0,04 mm, elektroda
E 44.83/



Lepidlo : Nital
Zvětšení : 100 x

- 77 - Mikrostruktura přechodové oblasti svarového spoje /deska s nametalizovanou hliníkovou vrstvou tloušťky 0,04 mm, elektroda E 44.83/



Lepidlo : Nital
Zvětšení : 100 x

- 78 - Mikrostruktura svarového kovu /deska s nametalizovanou hliníkovou vrstvou tloušťky 0,04 mm, elektroda E 44.83/



Leptadlo : Nital
Zvětšení : 100 x

mr.79 - Mikrostruktura nákladního materiálu /deska s nametali-
zovanou hliníkovou vrstvou tloušťky 0,10 mm, elektroda
E 44.83/



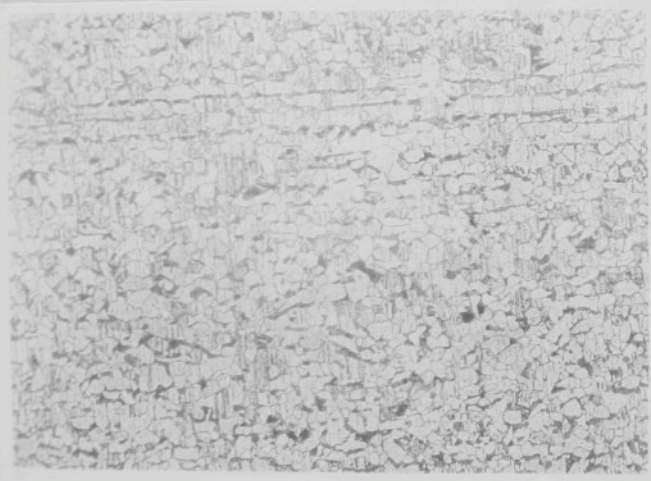
Leptadlo : Nital
Zvětšení : 100 x

mr.80 - Mikrostruktura přechodové oblasti svařového spoje
/deska s nametaličovanou hliníkovou vrstvou tloušťky
0,10 mm, elektroda E 44.83/



Lepidlo : Nital
Zvětšení : 100 x

z.81 - Mikrostruktura svarového kovu /deska s nametalizovanou hliníkovou vrstvou tloušťky 0,10 mm, elektroda E 44.83/



Lepidlo : Nital
Zvětšení : 100 x

z.82 - Mikrostruktura základního materiálu /deska s nametalizovanou hliníkovou vrstvou tloušťky 0,20 mm, elektroda E 44.83/



Leptadlo : Nitel
Zvětšení : 100 x

Mr.83 - Mikrostruktura přechodové oblasti svařového spoje /děska s nametalizovanou hliníkovou vrstvou tloušťky 0,20 mm, elektroda E 44.83/



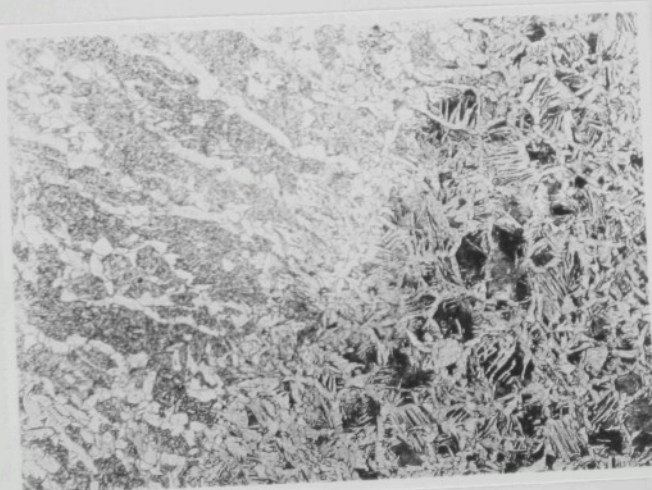
Leptadlo : Nitel
Zvětšení : 100 x

Mr.84 - Mikrostruktura svařového kovu /děska s nametalizovanou hliníkovou vrstvou tloušťky 0,20 mm, elektroda E 44.83/



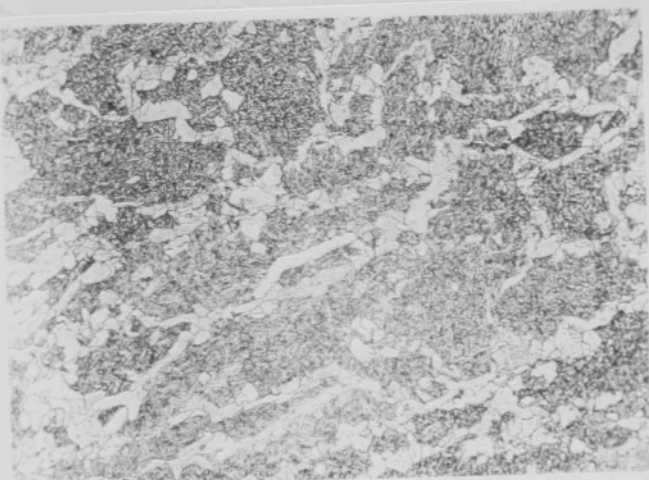
Leptadlo : Nital
Zvětšení : 100 x

Obr.85 - Mikrostruktura základního materiálu /deska s nametali-
zovanou hliníkovou vrstvou tloušťky 0,30 mm, elektroda
E 44.03/



Leptadlo : Nital
Zvětšení : 100 x

Obr.86 - Mikrostruktura přechodové oblasti svarového spoje
/deska s nametalisovánou hliníkovou vrstvou tloušťky
0,30 mm, elektroda E 44.03/



Leptadlo : Nital
Zvětšení : 100 x

Nr.87 - Mikrostruktura svarového kovu /deska s nametализovanou hliníkovou vrstvou tloušťky 0,30 mm, elektroda E 44.83/



Leptadlo : Nital
Zvětšení : 100 x

Nr.88 - Mikrostruktura základního materiálu /deska bez nametализované hliníkové vrstvy, elektroda E 44.72/



Leptadlo : Nital
Zvětšení : 100 x

Obr.89 - Mikrostruktura přechodové oblasti svarového spoje /deska bez nametalizované hliníkové vrstvy, elektroda E 44.72/



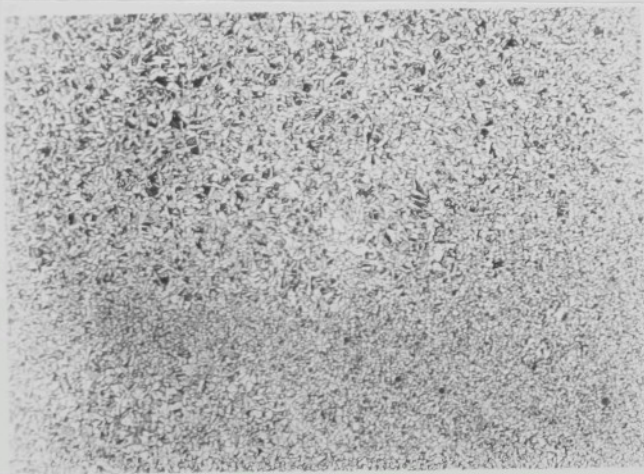
Leptadlo : Nital
Zvětšení : 100 x

Obr.90 - Mikrostruktura svarového kovu /deska bez nametalizované hliníkové vrstvy, elektroda E 44.72/



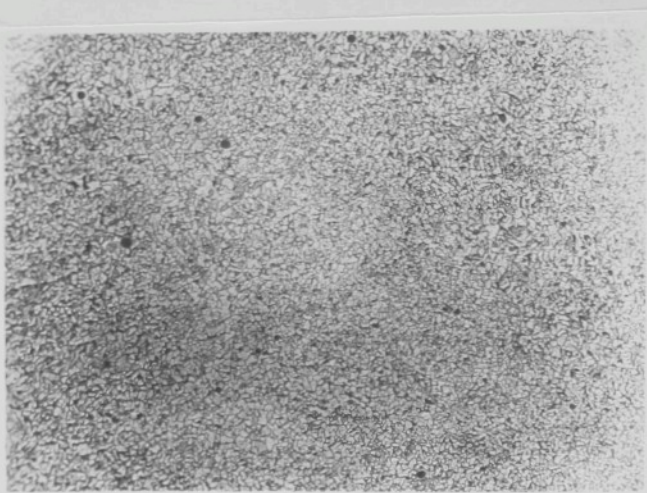
Leptadlo : Nitel
Zvětšení : 100 x

91 - Mikrostruktura základního materiálu /deska s nametalizovanou hliníkovou vrstvou tloušťky 0,04 mm, elektroda E 44.72/



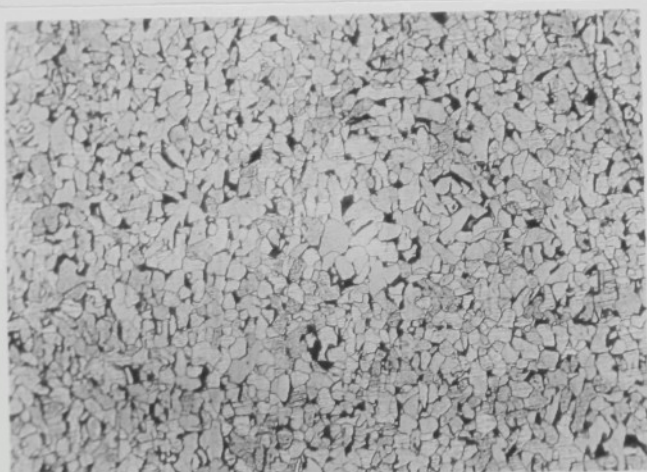
Leptadlo : Nitel
Zvětšení : 100 x

92 - Mikrostruktura přechodové oblasti svařového spoje /deska s nametalizovanou hliníkovou vrstvou tloušťky 0,04 mm, elektroda E 44.72/



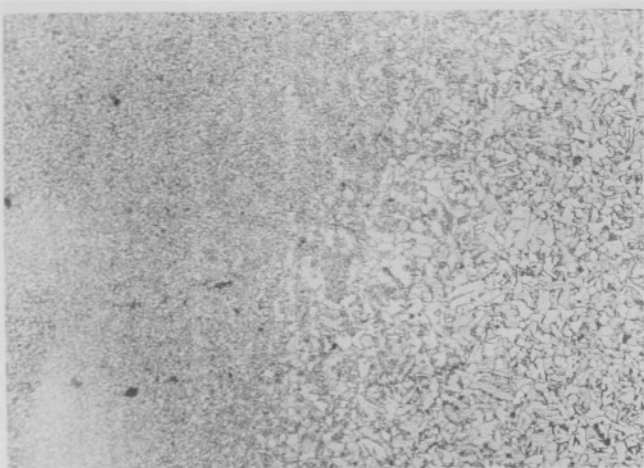
Leptadlo : Nitral
Zvětšení : 100 x

Útr.93 - Mikrostruktura svarového kovu /deska s nanetalizovanou hliníkovou vrstvou tloušťky 0,04 mm, elektroda E 44.72/



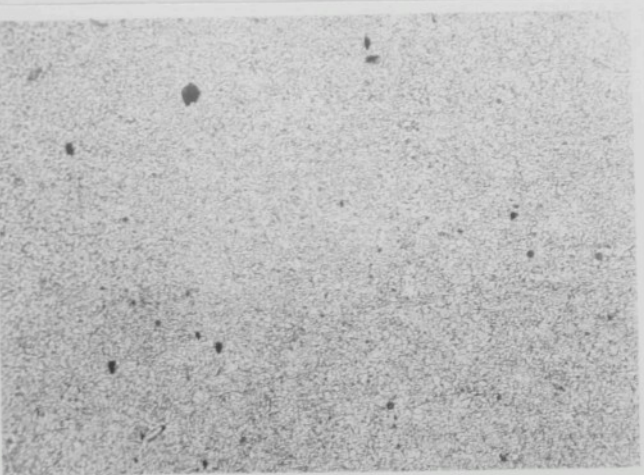
Leptadlo : Nitral
Zvětšení : 100 x

Útr.94 - Mikrostruktura základního materiálu /deska s nanetalizovanou hliníkovou vrstvou tloušťky 0,10 mm, elektroda E 44.72/



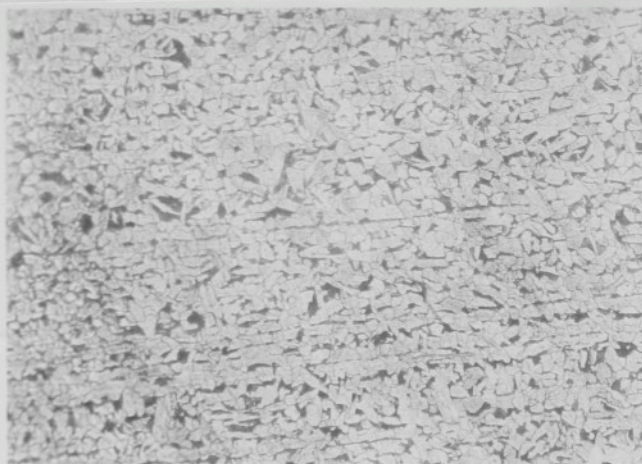
Leptadio : Mital
Zvětšení : 100 x

2.5 - Mikrostruktura přechodové oblasti svařového spoje /deska s nametalizovanou hliníkovou vrstvou tloušťky 0,10 mm, elektroda E 44.72/



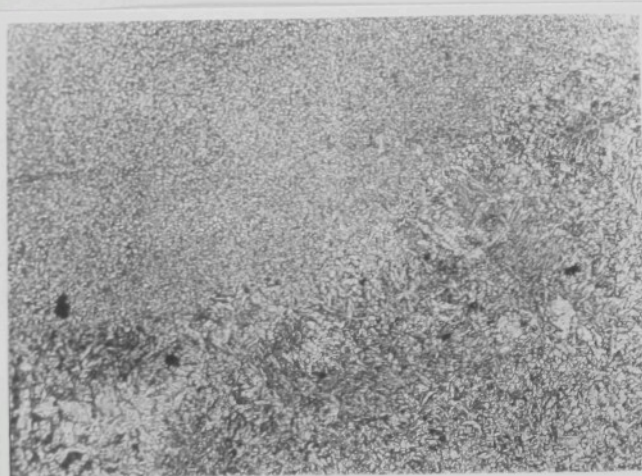
Leptadio : Mital
Zvětšení : 100 x

2.6 - Mikrostruktura svařového kovu /deska s nametalizovanou hliníkovou vrstvou tloušťky 0,10 mm, elektroda E 44.72/



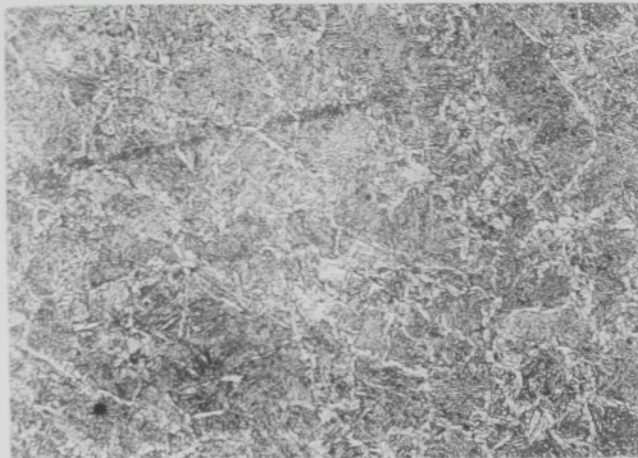
Lepidlo : Nitak
Zvětšení : 100x

š. 97 - Mikrostruktura základního materiálu /deska s nametalizovanou hliníkovou vrstvou tloušťky 0,20 mm, elektroda E 44.72/



Lepidlo : Nitak
Zvětšení : 100x

š. 98 - Mikrostruktura přechodové oblasti svařového spoje /deska s nametalizovanou hliníkovou vrstvou tloušťky 0,20 mm, elektroda E 44.72/



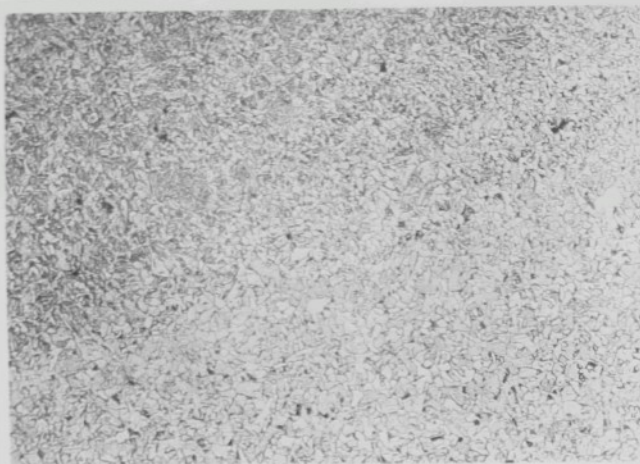
Leptadlo : Nitral
vztažení : 100 x

Obr.99 - Mikrostruktura svařového kovu /deska s nanometalizovanou hliníkovou vrstvou tloušťky 0,20 mm, elektroda S 44.72/



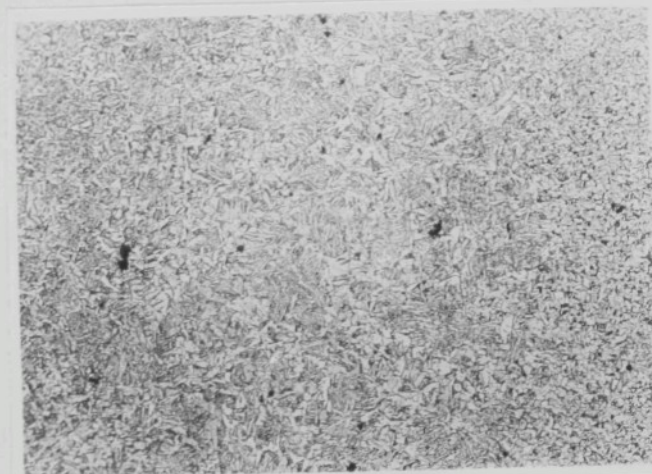
Leptadlo : Nitral
vztažení : 100 x

Obr.100 - Mikrostruktura základního materiálu /deska s nanometalizovanou hliníkovou vrstvou tloušťky 0,30 mm, elektroda S 44.72/



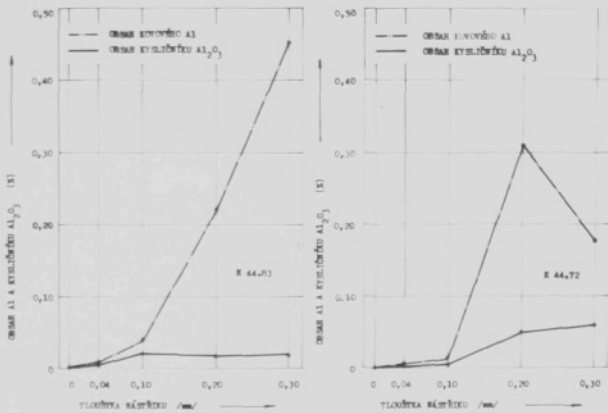
Leptádlo : Nitral
Zvětšení : 100 x

Obr.101 - Mikrostruktura přechodové oblasti svařového spoje /deska s nametalizovanou hliníkovou vrstvou tloušťky 0,30 mm, elektroda E 44.72/



Leptádlo : Nitral
Zvětšení : 100 x

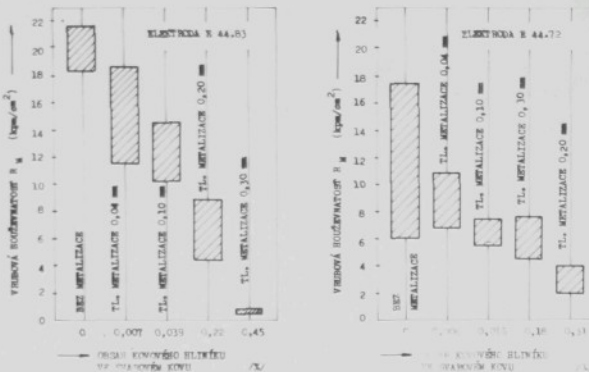
Obr.102 - Mikrostruktura svařového kovu /deska s nametalizovanou hliníkovou vrstvou tloušťky 0,30 mm, elektroda E 44.72/



Obr. 103 - Maximální obsah kovového hliníku a jeho kysličníků ve svarovém kovu v závislosti na tloušťce nástítku a použité elektrodě

Z porovnání hodnot vrubové houževnatosti svarového spoje a hlevné přechodové oblasti při různých tloušťkách nazetali-zované hliníkové vrstvy s obsahem kovového hliníku ve svarovém kovu vyplývá, že zbytkový hliník v kovové formě ve svaru bude mít podstatný vliv na mechanické vlastnosti svarového spoje, jak bylo také předpokládáno v teoretické části kandidátské práce. Tento hliník ovlivnuje mechanické vlastnosti svaru tvořením tuhých roztoků s železem a působením na růst zra, jejichž velikost rovněž pak podstatně ovlivnuje vrubovou houževnatost.

Na diagramech na obr. 104 je uveden rozsah hodnot vrubové houževnatosti přechodové oblasti svarového spoje v závislosti na obsahu zbytkového hliníku.



(br.104 - Hodnoty vrubové houževnatosti přechodové oblasti svaru v závislosti na obsahu zbytkového hliníku ve svaru

Z diagramů je vidět, že se zvětšujícím se obsahem hliníku ve svaru se podstatně snižuje vrubová houževnatost.

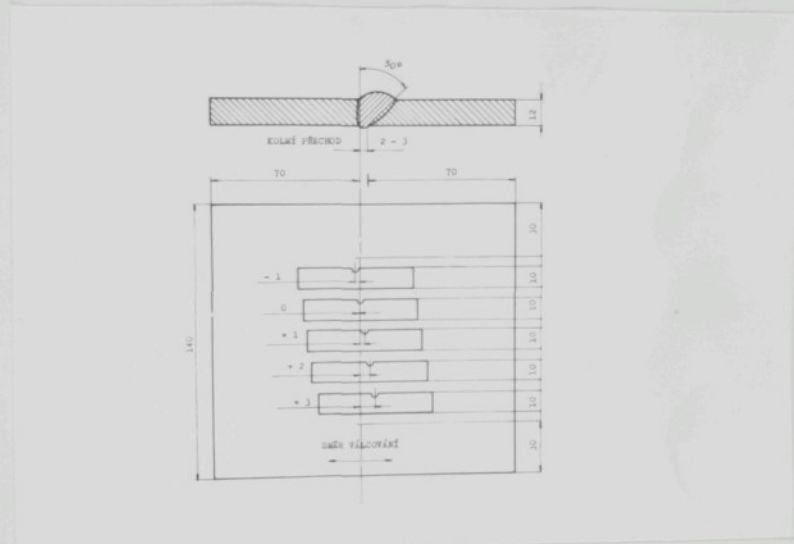
Při porovnání mikrostruktur svarů s různými obsahy hliníku je zřejmé, že při vyšším obsahu hliníku dochází k velkému zhrubení struktury, což má pak také vliv na hodnoty vrubové houževnatosti.

Je to markantně vidět v případě bázické elektrody u zkoušek nametalizovanou hliníkovou vrstvou tloušťky 0,10; 0,20; 0,30 mm. V těchto případech ve svarovém kovu a hlavně v přechodové oblasti došlo k velkému zhrubení struktury a také k maximálnímu poklesu hodnot vrubové houževnatosti, hlavně u tloušťky nametalizované vrstvy 0,30 mm. U této zkoušky přešlo do svaru velké množství hliníku /0,45 %. Ze zkoušek rovněž vyplývá, že nezáleží na tloušťce nametalizované hliníkové vrstvy, ale záleží jen na tom, kolik z této vrstvy přešlo hliníku v kovové formě do svaru. Ukazuje to případ svarového spoje provedeného elektrodou E 44.72, kdy při největší tloušťce nametalizované hliníkové vrstvy /0,30/ přešlo do svaru menší množství hliníku /0,18 %/ než u tloušťky 0,20 mm /0,31 % Al/. Hodnoty vrubové houževnatosti přechodové oblasti odovídají množstvím hliníku a rovněž tak velikost zrn.

Podrobné ověření vlastností přechodové oblasti svarový kov – základní materiál

5.91 Ověření mechanických vlastností

Bylo provedeno znova podrobné ověření hodnot vrubové houževnatosti, ale jen v přechodové oblasti svarový kov – základní materiál. Na obr. 105 jsou vidět rozměry zkoušebních desek a umístění tělisek. Zkoušky byly provedeny pro tloušťku nametalizované hliníkové vraty 0,04; 0,10; 0,20; 0,30 mm.



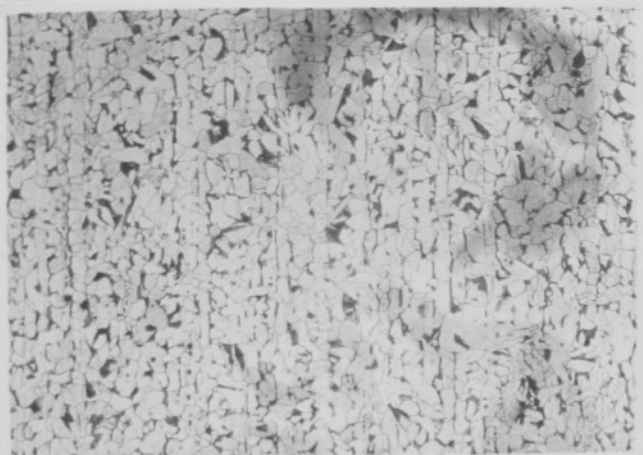
Obr. 105 – Rozměry zkoušebních desek a umístění zkoušebních tělisek pro ověření hodnot vrubové houževnatosti přechodové oblasti svarový kov – základní materiál

U přoražených tělisek byl v oblasti lomu zjištěn obsah hliníku. Na tab. 36 jsou uvedeny výsledky pro elektrodu E 44.83 a na tab. 37 pro elektrodu E 44.72. Výsledky ukazují opět veliký pokles a nerovnoměrnost hodnot vrubové houževnatosti v této oblasti. Z výsledků je zřejmé rovněž nerovnoměrné rozložení hliníku ve svarovém kovu, jak bylo také v teoretické části předpokládáno. Tato nerovnoměrnost má zřejmě za následek podstatné rozdíly v mechanických vlastnostech v různých místech svaru.

členitelné neorganické hliníkové vestivy /nm/		Výroba hliníkových kociek / m³ /					
		-1	0	+1	+2	+3	+ 3
0	vzdušná homogenizácia R ₁ (kgm ² /nm ²)	24,0	15,3	24,6	23,9	25,7	...
	obrábaná hliník (%)	-	-	-	-	-	-
0,004	vzdušná homogenizácia R ₂ (kgm ² /nm ²)	12,2	10,2	17,1	17,1	12,4	
	obrábaná hliník (%)	0,004	0,038	0,020	0,025	0,023	
0,010	vzdušná homogenizácia R ₁ (kgm ² /nm ²)	9,3	23,4	7,6	5,9	11,5	
	obrábaná hliník (%)	0,14	0,54	0,27	0,18	0,28	
0,020	vzdušná homogenizácia R ₁ (kgm ² /nm ²)	11,8	2,1	6,8	2,1	9,0	
	obrábaná hliník (%)	0,40	1,23	0,46	0,51	0,34	
0,030	vzdušná homogenizácia R ₁ (kgm ² /nm ²)	2,8	1,5	2,8	3,0	2,8	
	obrábaná hliník (%)	0,76	1,21	0,93	0,83	0,58	

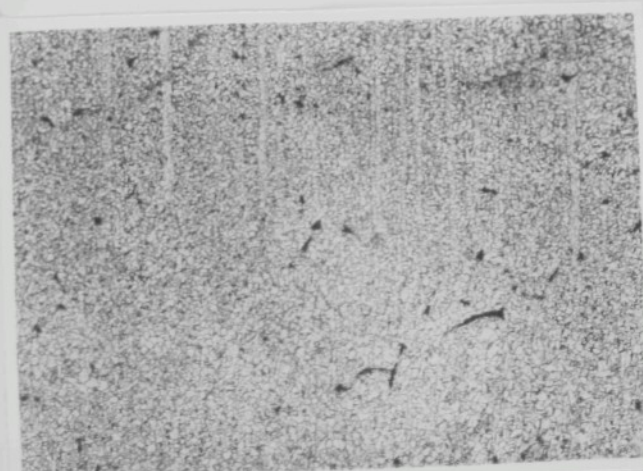
Elektronka	Obrazec	Al /S/ ve svar. kova	δ_{Pt} μm/mm ²	σ_{yt} kg/mm ²	δ_5 %	ψ %	R_M kpm/mm ²	R_H no udržen. mín. 10%+250°C (kpm/mm ²)	Pomocná
									navádzané elektrodom s navinutým Al drátem
1,2	0,40	53,0	39,9-41,7 40,6	24,3-26,3 25,3	55,6	6,8-17,5 13,0	5,5-7,8 6,4	—	—
2,4	0,82	55,5-60,1 53,6	43,8-44,9 44,5	14,7-25,3 23,7	38,6-62,0	3,0-12,1 8,1	3,6-5,9 4,8	—	—
3,6	1,53	56,5-57,2 56,8	34,6-38,2 36,3	12,7-23,7 19,2	16,0-53,2 39,3	0,5-1,5 0,9	0,9-1,5 1,1	—	—
6,1	1,53	—	—	—	—	0,3-0,4 0,3	0,3	navádzané elektrodom s navinutým Al drátem proces nekom ný	—
7,8	4,21	—	—	—	—	0,3	0,3	navádzané elektrodom v ochr. atm. atgom	—
12,2	10,82	—	—	—	—	0,3	0,3	—	—
18,3	13,34	—	—	—	—	0,5-0,8 0,6	0,4-0,5 0,43	—	—

Leptadlo : Nital
Zvětšení : 100x

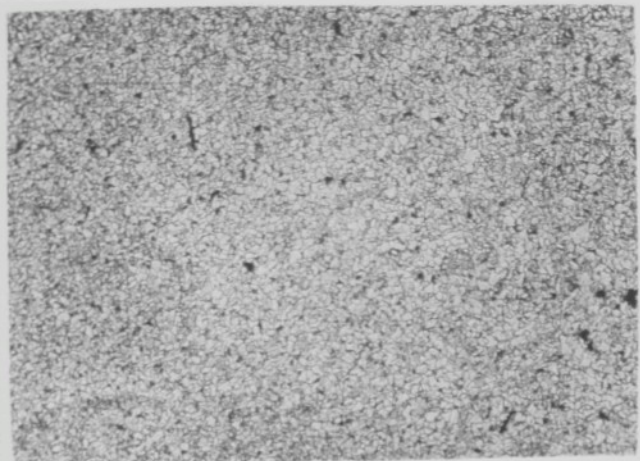


Mr. 106 Mikrostruktura základního materiálu /deská bez namatalizované hliníkové vrstvy, elektroda E 44.83/

Leptadlo : Nital
Zvětšení : 100x

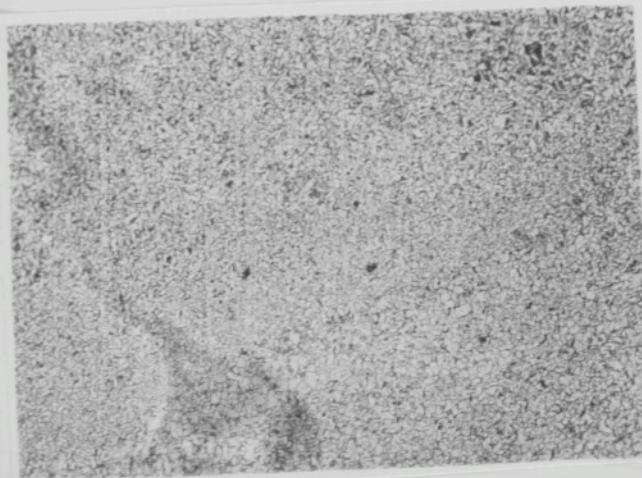


Mr. 107 Mikrostruktura přechodové oblasti svařového spoje
/deská bez namatalizované hliníkové vrstvy, elektroda



Leptadlo : Nital
Zvětšení : 100x

nr. 106 Mikrostruktura svarového kovu /deska bez nametalizované hliníkové vrstvy, elektroda E 44.83/



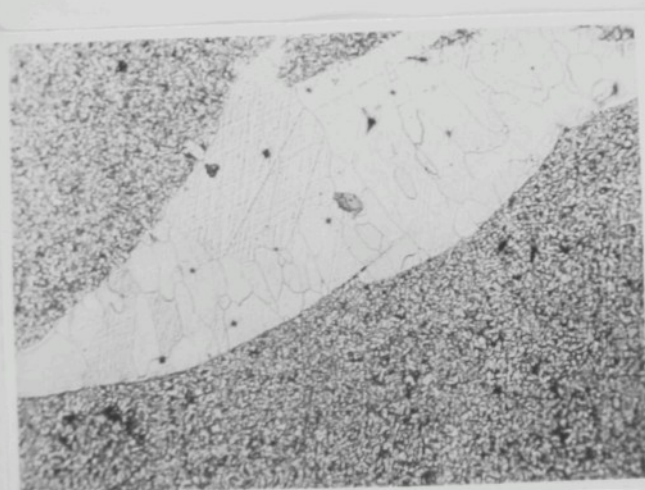
Leptadlo : Nital
Zvětšení : 100x

nr. 109 Mikrostruktura přechodové oblasti svarového spoje /deska s hliníkovou vrstvou tloušťky 0,04 mm,



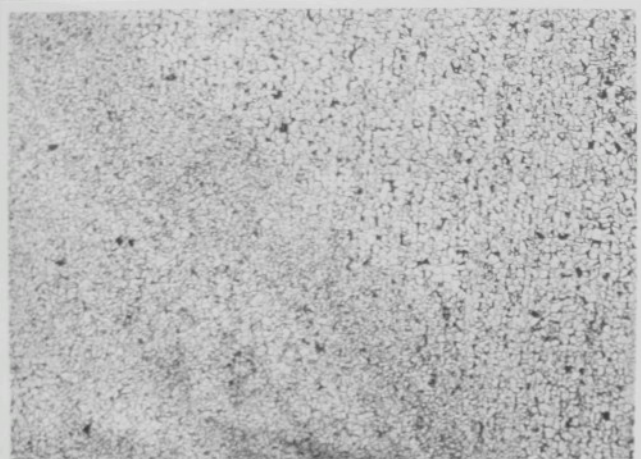
Leptadlo : Nital
Zvětšení : 100x

nr. 110 Mikrostruktura svařového kovu /deska s nametalizovanou hliníkovou vrstvou tloušťky 0,04 mm, elektroda E 44.03/



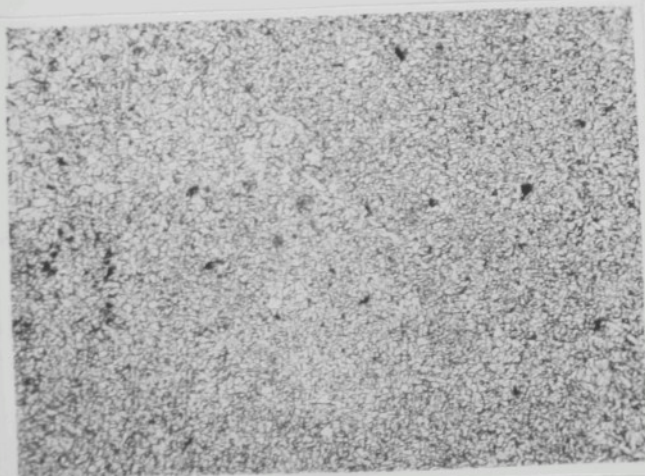
Leptadlo : Nital
Zvětšení : 100x

nr. 111 Mikrostruktura přechodové oblasti svařového spoje /deska s nametalizovanou hliníkovou vrstvou tloušťky 0,10 mm,



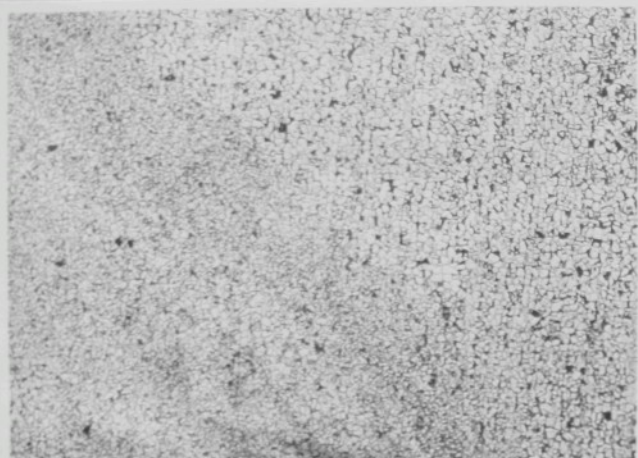
Leptadlo : Nitral
Zvětšení : 100x

112 Mikrostruktura přechodové oblasti svarového spoje /deska s nametalizovanou hliníkovou vrstvou tloušťky 0,10 mm, elektroda E 44.83/



Leptadlo : Nitral
Zvětšení : 100x

113 Mikrostruktura svarového kovu /deska s nametalizovanou hliníkovou vrstvou tloušťky 0,10 mm, elektroda E 44.83/



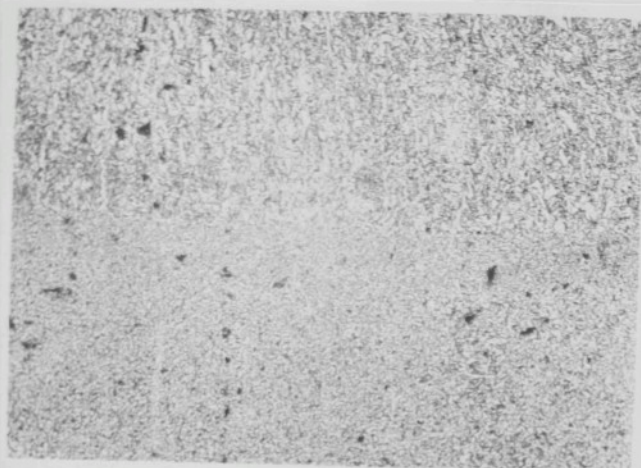
Leptadlo : Nital
Zvětšení : 100x

112 Mikrostruktura přechodové oblasti svarového spoje /deska s nametalizovanou hliníkovou vrstvou tloušťky 0,10 mm, elektroda E 44.83/



Leptadlo : Nital
Zvětšení : 100x

113 Mikrostruktura svarového kovu /deska s nametalizovanou hliníkovou vrstvou tloušťky 0,10 mm, elektroda E 44.83/



Leptadlo : Nital
Zvětšení : 100x

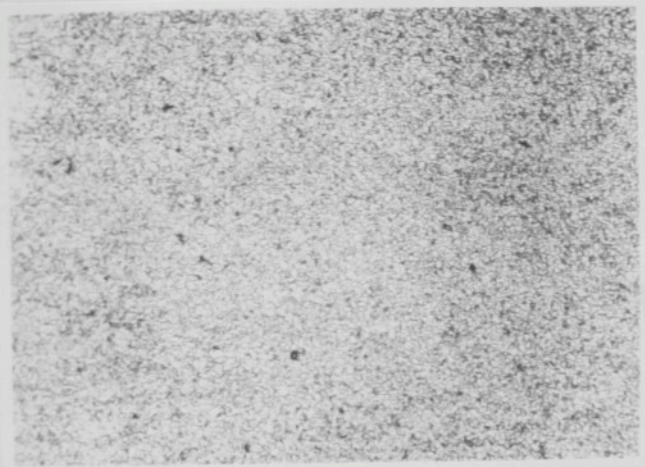
nr. 114 Mikrostruktura přechodové oblasti svařového spoje /deska s nametalisovanou hliníkovou vrstvou tloušťky 0,20 mm, elektroda E 44.83/



Leptadlo : Nital
Zvětšení : 100x

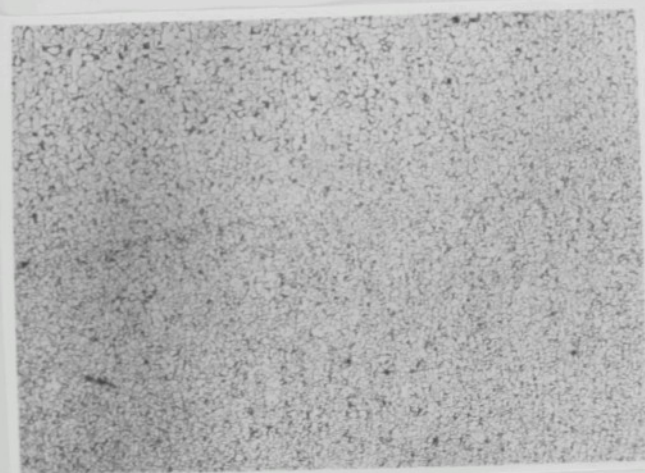
nr. 115 Mikrostruktura přechodové oblasti svařového spoje /deska s nametalisovanou hliníkovou vrstvou tloušťky 0,20 mm,

Leptadlo : Nital
Zvětšení : 100x



nr. 116 Mikrostruktura svařového kovu /deska s nametalizovanou hliníkovou vrstvou tloušťky 0,20 mm, elektroda E 44.83/

Leptadlo : Nital
Zvětšení : 100x

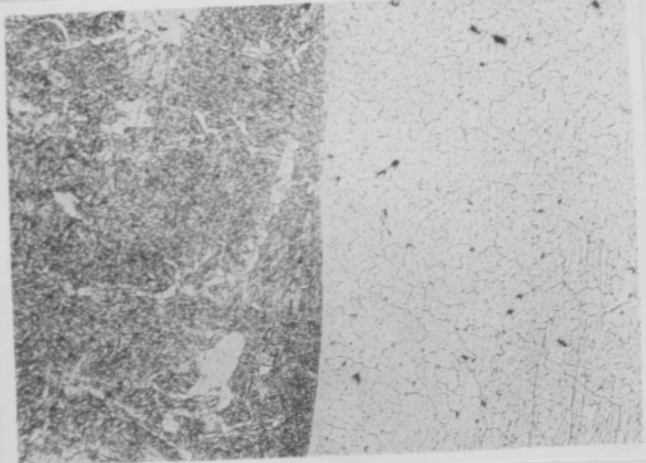


nr. 117 Mikrostruktura přechodové oblasti svařového spoje /deska s nametalizovanou hliníkovou vrstvou tloušťky 0,30 mm, elektroda E 44.83/



Leptadlo : Nital
Zvětšení : 100x

Fig. 118 Mikrostruktura přechodové oblasti svařového spoje /deska s nametalizovanou hliníkovou vrstvou tloušťky 0,30 mm, elektroda E 44.83/



Leptadlo : Nital
Zvětšení : 100x

Fig. 119 Mikrostruktura svařového kova v blízkosti kořene /deska s nametalizovanou hliníkovou vrstvou tloušťky 0,30 mm, elektroda E 44.83/



Leptadlo : Nitral
Zvětšení : 100x

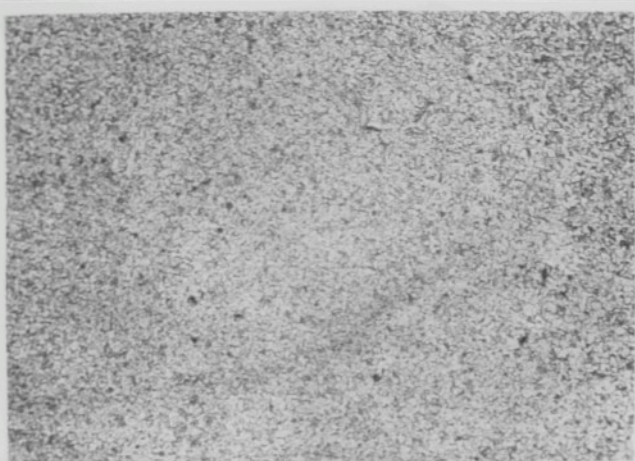
.120 Mikrostruktura svarového kovu v kořenové housecce /deska s nanetalizovanou hliníkovou vrstvou tloušťky 0,30 mm, elektroda E 44.83/



Leptadlo : Nitral
Zvětšení : 100x

. 121 Mikrostruktura přechodové oblasti svarového spoje /deska bez nanetalizované hliníkové vrstvy, elektroda E 44.72/

Leptadlo : Nital
Zvětšení : 100x



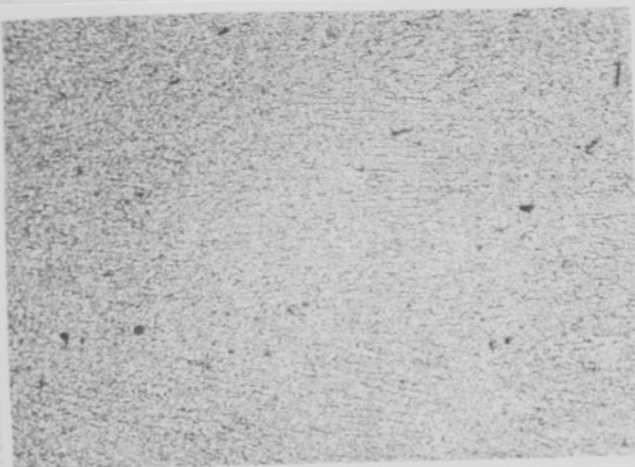
ř. 122 Mikrostruktura svarového kovu /deska bez nometalizované hliníkové vrstvy, elektroda E 44.72/

Leptadlo : Nital
Zvětšení : 100x



ř. 123 Mikrostruktura přechodové oblasti svarového spoje /deska s nometalizovanou hliníkovou vrstvou tloušťky 0,04 mm, elektroda E 44.72/

Leptadlo : Nital
Zvětšení : 100x

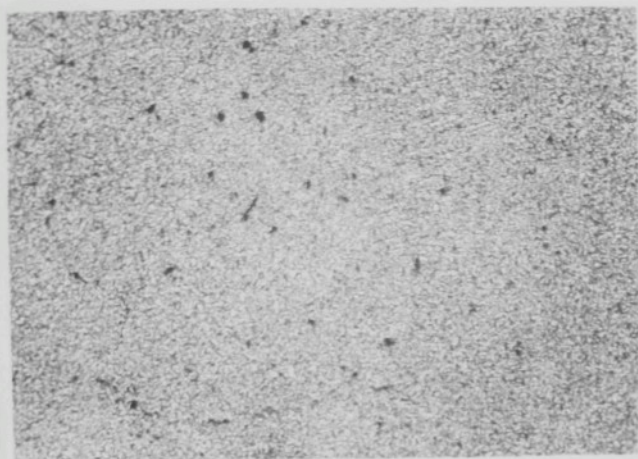


nr. 124 Mikrostruktura svarového kovu /deska s nametalizovanou hliníkovou vrstvou tloušťky 0,04 mm, elektroda E 44-72/

Leptadlo : Nital
Zvětšení : 100x

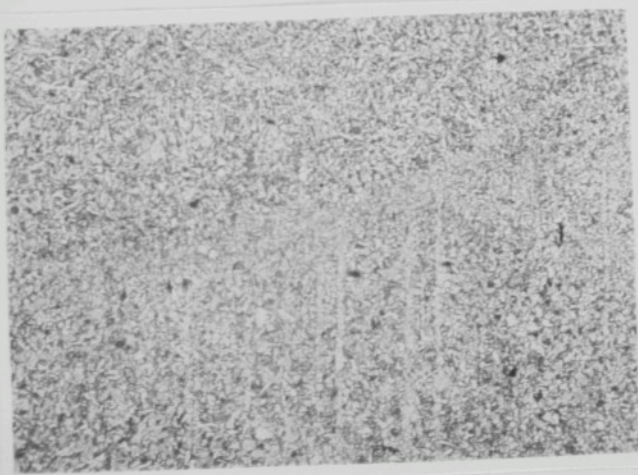


nr. 125 Mikrostruktura přechodové oblasti svarového spoje /deska s nametalizovanou hliníkovou vrstvou tloušťky 0,10 mm,



Leptadlo : Nital
Zvětšení : 100x

nr. 126 Mikrostruktura svarového kovu /deska s nametalizovanou hliníkovou vrstvou tloušťky 0,10 mm, elektroda E 44.72/



Leptadlo : Nital
Zvětšení : 100x

nr. 127 Mikrostruktura přechodové oblasti svarového spoje /deska s nametalizovanou hliníkovou vrstvou tloušťky 0,20 mm,
elektroda E 44.72/

Loptadlo : Nital
Světlení : 100x

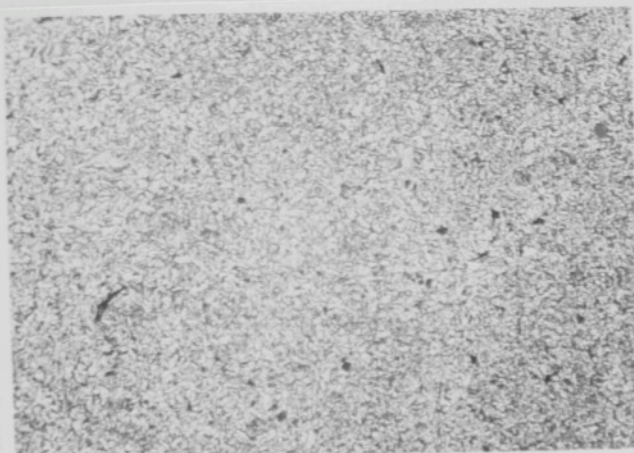
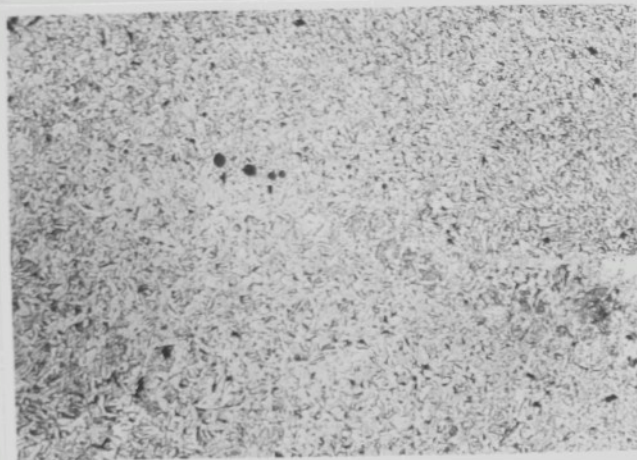


Fig. 1.8 Mikrostruktura svařového kovu /desk/ s nametukou vedenou klinickou vrstvou tloušťky 0,20 mm/, elektroda 44.72/

Loptadlo : Nital
Světlení : 100x



Fig. 1.9 Mikrostruktura přechodové oblasti svařového spoje /desk/ s nametukou vedenou klinickou vrstvou tloušťky 0,30 mm,



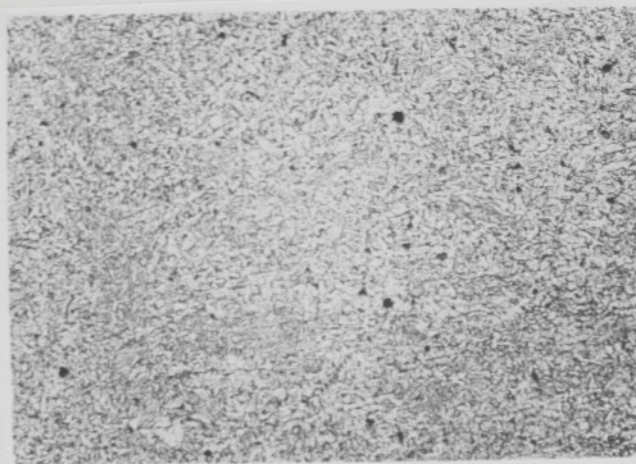
Leptadlo : Nitral
Zvětšení : 100x

Obr. 130 Mikrostruktura přechodové oblasti svařového spoje /deska s nanostalizovanou hliníkovou vrstvou tloušťky 0,30 mm, elektroda E 44.72/



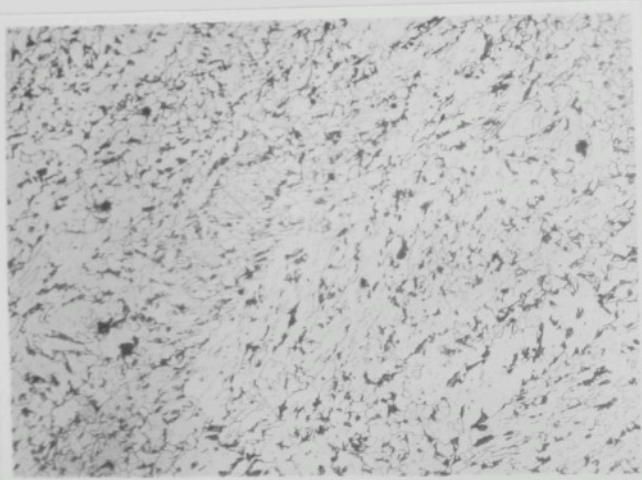
Leptadlo : Nitral
Zvětšení : 200x

Obr. 131 Mikrostruktura svařového kova /deska s nanostalizovanou hliníkovou vrstvou tloušťky 0,30 mm, elektroda E 44.72/



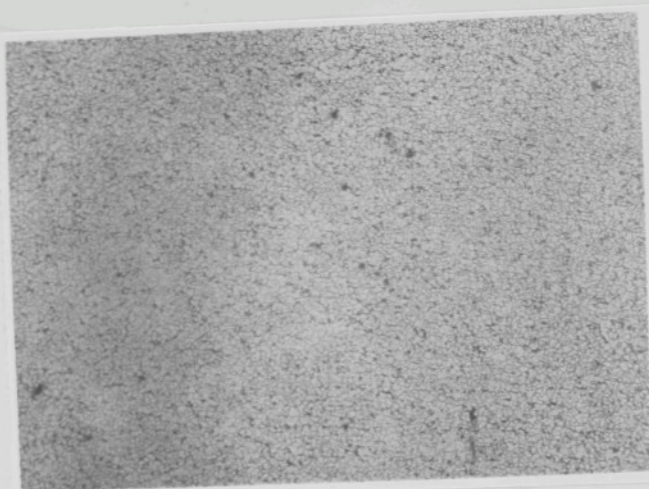
Leptadlo : Hitel
Zvětšení : 100x

Fig. 132 Mikrostruktura svařovacího kovu /deska s nanometalizovanou bimetickou vrstvou tloušťky 0,00 mm, elektroda E 44.72/



Leptadlo : Hitel
Zvětšení : 100x

Fig. 133 Mikrostruktura svařovacího kovu středové části kořenové hranice /deska s nanometalizovanou bimetickou vrstvou



Loptadlo : Nitel
Zvětšení : 100x

Obr. 134 Mikrostruktura svařového kova středové části druhé /a/
ni/ houzenky /deska s nanometalizovanou hliníkovou vrstvou/
tloušťky 0,30 mm, elektroda E 44.03/



Loptadlo : Nitel
Zvětšení : 100x

Obr. 135 Mikrostruktura svařového kova středové části lamy
houzenky /deska s nanometalizovanou hliníkovou vrstvou /

na obr. 136 - 135 je mikrografický vyhodnocení svarového kovu z povrchu drátu rozloženém hliníku /elektrody ovívané hliníkovým drátem, svařování v ochranné atmosféře argonu/.

Struktura v přechodové oblasti /bylo navářováno do širokého kruhu/ je při nižším obsahu hliníku feriticko-perlitická. Drátku zvedeném na obr. 136, 140 jsou feritické proužky, přičemž svýšený podíl feritické fáze.

Struktura svarového kovu je při nižším obsahu hliníku feriticko-perlitická, lišící se od této velikosti zrn. Se zvětšujícím se obsahem hliníku zvětšuje se podíl feritické složky /obr. 141/.

Při vyšším obsahu hliníku /při navářování v ochranné atmosféře argonu/, bylo navářování prováděno do měděné formičky, protože zveden pouze struktury svarového kova. Struktura je feritická, s patrným napovídáním základního materiálu drobnými okrouhlými částicemi. Velikost zrn odpovídá stupni 1, 2 dle ČSN.



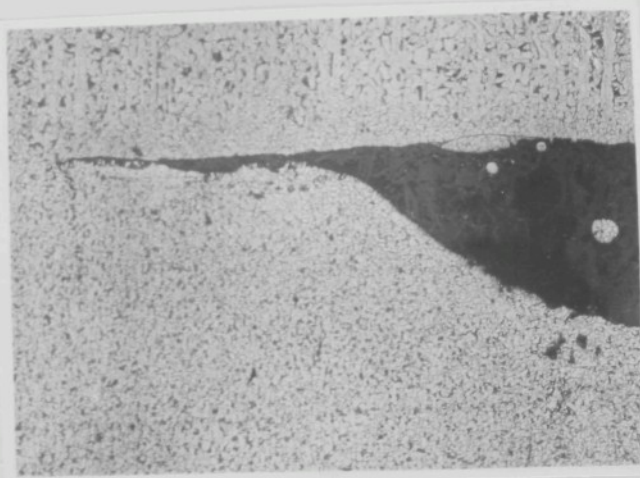
Leptáček : Rital
Zvětšení : 100x

Obr. 136 Mikrostruktura přechodové oblasti svarového kovu navářeného elektrodou D 44.83 s navinutým hliníkovým drátem /neodhnutý obsah hliníku 0,40 %/



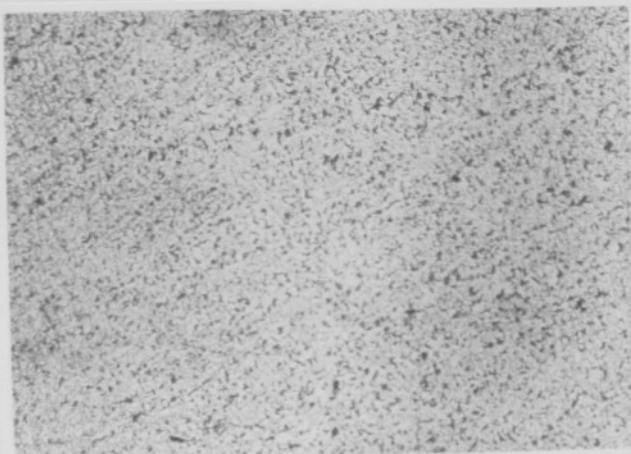
Leptaflo : Nitai
Zvětšení : 100x

Nr. 127 Mikrostruktura svařového kova naváleného elektrodenou
z 44,83 s navinutým hliníkovým drátem /cesfimutý obal
hliníku 0,40 %/



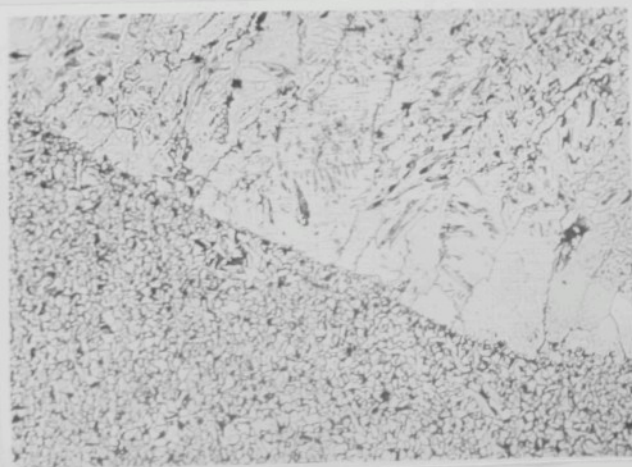
Leptaflo : Nitai
Zvětšení : 100x

Nr. 128 Mikrostruktura přechodové oblasti svařového kova na-
váleného elektrodenou z 44,83 s navinutým hliníkovým drátem
/cesfimutý obal hliníku 0,32 %/



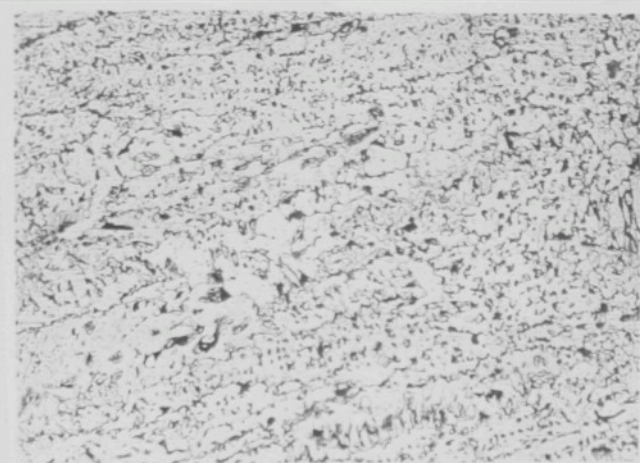
Leptadlo : Nitai
Zvětšení : 100x

Obr. 139 Mikrostruktura svarového kovu navářeného elektrodou
B 44.83 s manganem klinickým drátem /dosáhnutý obsah
manganu 0,82 %/



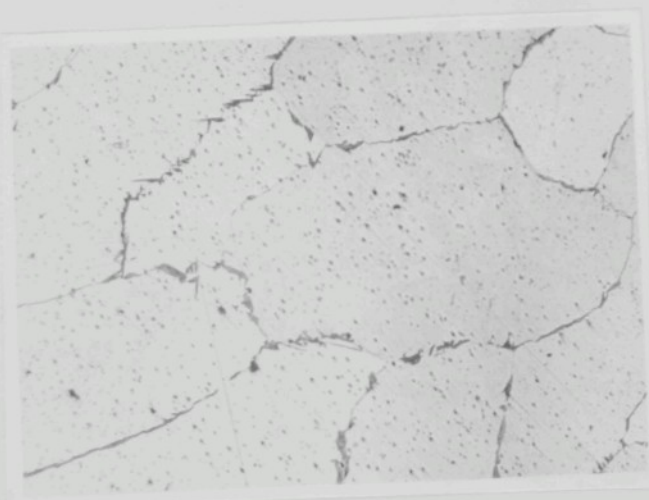
Leptadlo : Nitai
Zvětšení : 100x

Obr. 140 Mikrostruktura přechodové oblasti svarového kovu navářeného elektrodou B 44.83 s manganem klinickým drátem /dosáhnutý obsah manganu 1,53 %/



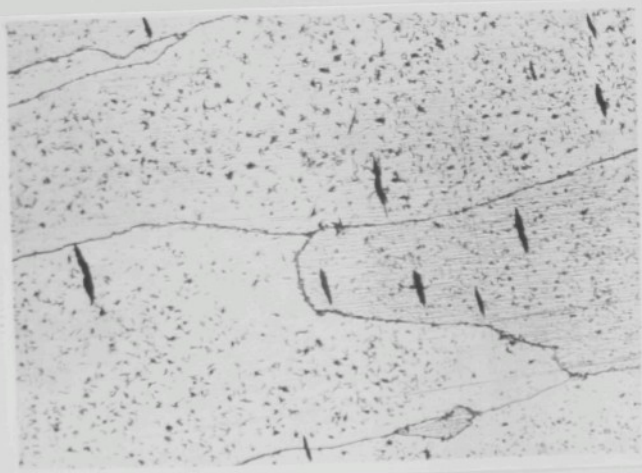
Leptadlo : Nitel
Zvětšení : 100x

Fig. 141 Mikrostruktura svařovacího kova na vedené elektrode B 44.63 s navinutým hliníkovým drátem /dosekunutý obcas hliníku 2,53 %/



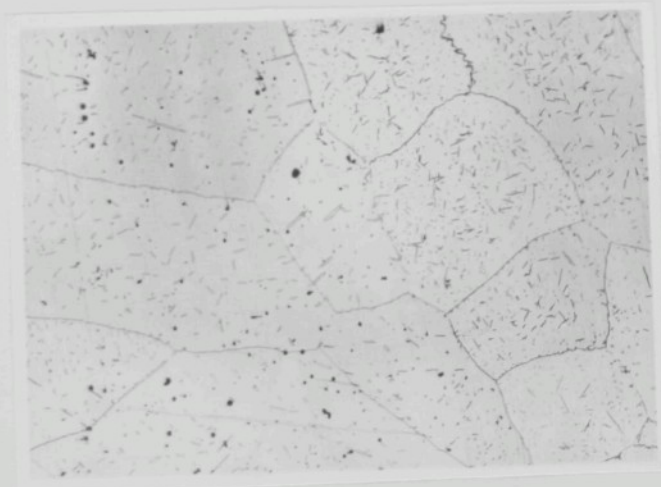
Leptadlo : lysolima
pikrová
zvětšení : 100x

Fig. 142 Mikrostruktura svařovacího kova na vedené elektrode B 44.63 s navinutým hliníkovým drátem /dosekunutý obcas hliníku 2,53 %/



Leptadlo : kyselina
pilcová
Zvětšení : 100x

Obr. 143 Mikrostruktura svařového kovu navářeného jádrem elektrody
E 44.63 s navinutým hliníkovým drátem v ochranné atmosféře
argona - 116 /dostihnutý obsah hliníku 4,21 %/



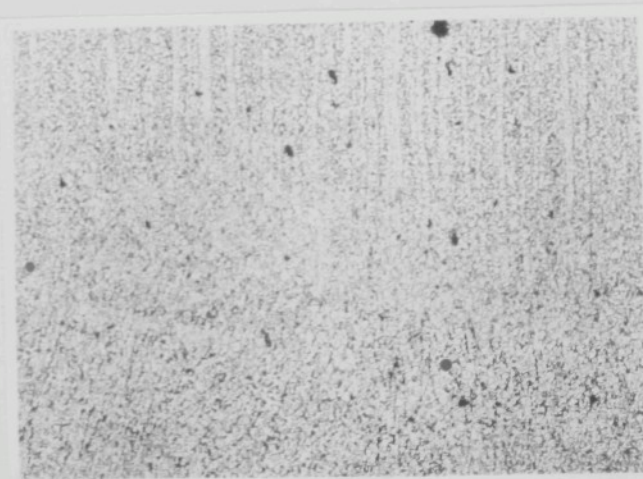
Leptadlo : kyselina
pilcová
Zvětšení : 100x

Obr. 144 Mikrostruktura svařového kovu navářeného jádrem elektrody
E 44.63 s navinutým hliníkovým drátem v ochranné atmosféře
se argonem - 116 /dostihnutý obsah hliníku 10,52 %/



Lepidlo : kyselina
pikrová
Zvětšení : 100x

Fig. 145 Mikrostruktura svařového kovu navářeného jídrém elektrody E 44.83 s navinutým hliníkovým drátem v ochranné atmosféře argona - WIG /dosudový obsah hliníku 13,34 %/



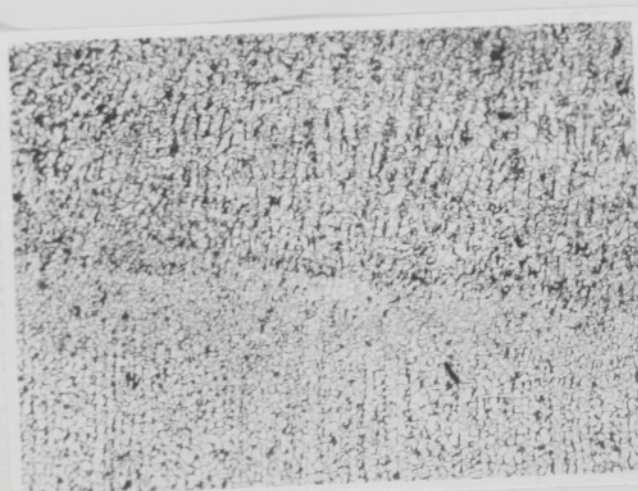
Lepidlo : Nitel
Zvětšení : 100x

Fig. 146 Mikrostruktura přechodové oblasti svařového kovu navářeného elektrodu E 44.72 s navinutým hliníkovým drátem /dosudový obsah hliníku 0,16 %/



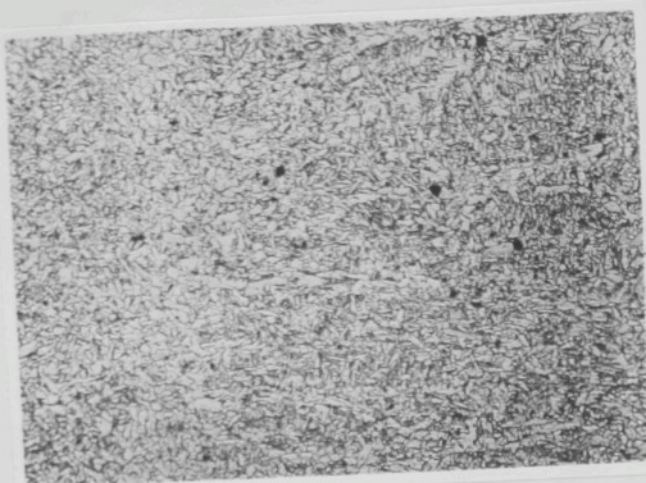
Loptadlo : Nitel
Zvětšení : 100x

Fig. 147 Mikrostruktura svařového kova navářeného elektrodou
z 44,72 % navinutým kliníkovým drátem /rozehnutej obočce
tloušťka 0,16 mm/



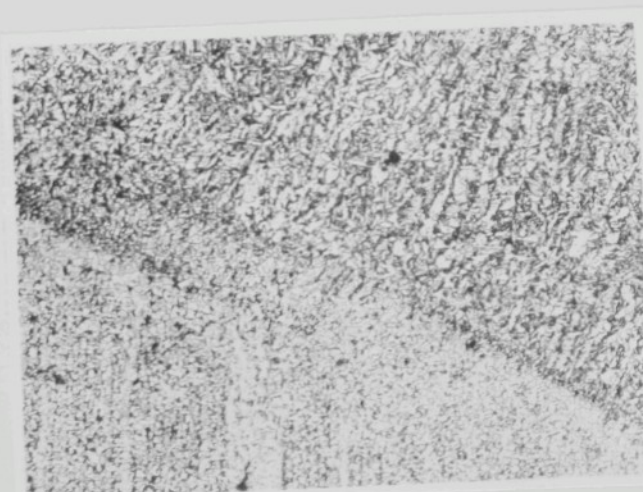
Loptadlo : Nitel
Zvětšení : 100x

Fig. 148 Mikrostruktura přechodové oblasti svařového kova naváře-
ního elektrodou z 44,72 % navinutým kliníkovým drátem
/rozehnutej obočce tloušťka 0,26 mm/



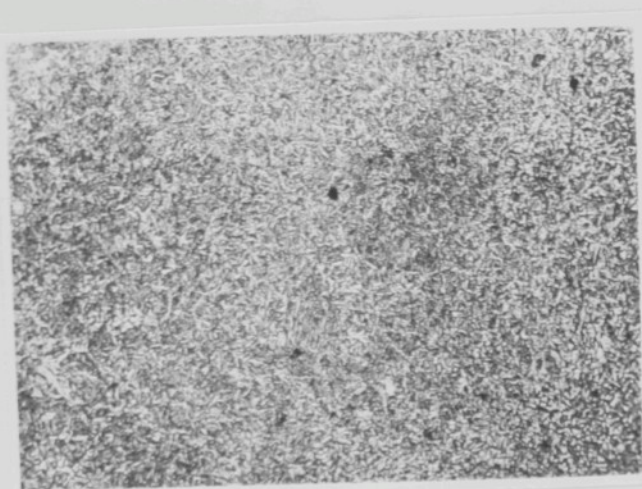
Lupyadlo : Nitel
Zvětšení : 100x

Obr. 149 Mikrostruktura svařového kovu svařeného elektrodotou
z 44,72 s nevinnutým hliníkovým drátem /neodkrouty obsah
hliníku 0,24 %/



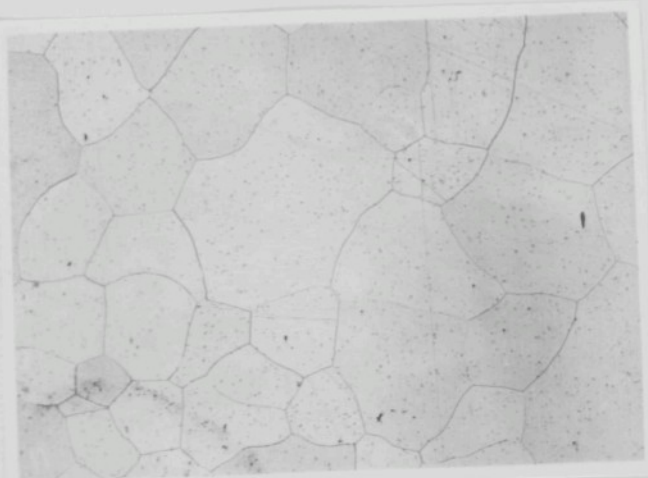
Lupyadlo : Nitel
Zvětšení : 100x

Obr. 150 Mikrostruktura přechodové oblasti svařového kovu svaře-
něho elektrodotou z 44,72 s nevinnutým hliníkovým drátem
/neodkrouty obsah hliníku 0,74 %/



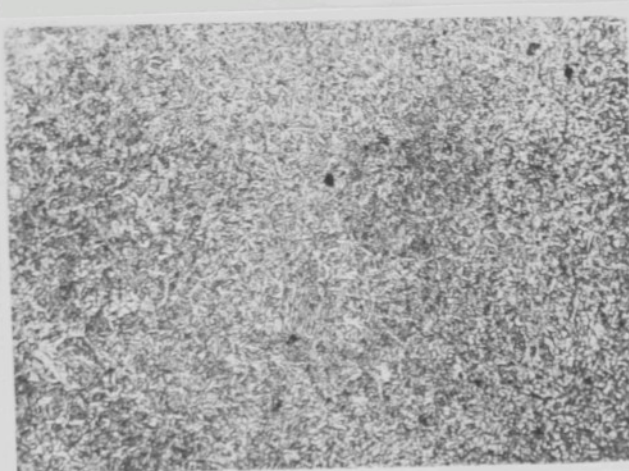
Ieptadlo : Nitro
Zvětšení : 100x

Tab. 151 Mikrostruktura svárového kova naváženého elektrodou E 44-72 s navinutým hliníkovým drátem /Aoxidovaný obsah hliníku 0,74 %/



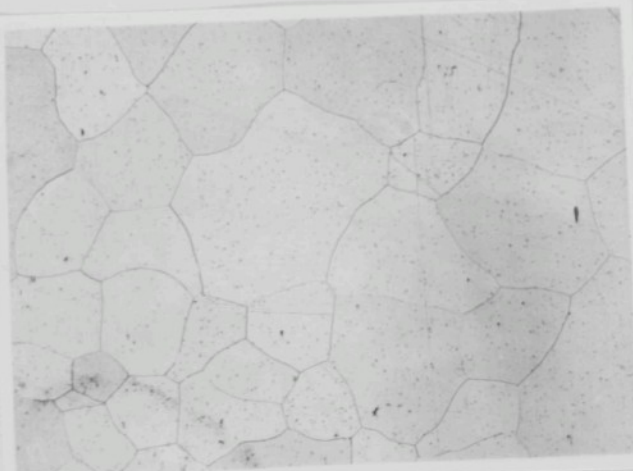
Ieptadlo : kyselina
pikrová
zvětšení : 100x

Tab. 152 Mikrostruktura svárového kova naváženého elektrodou E 44-72 s navinutým hliníkovým drátem /Aoxidovaný obsah hliníku 0,85 %/



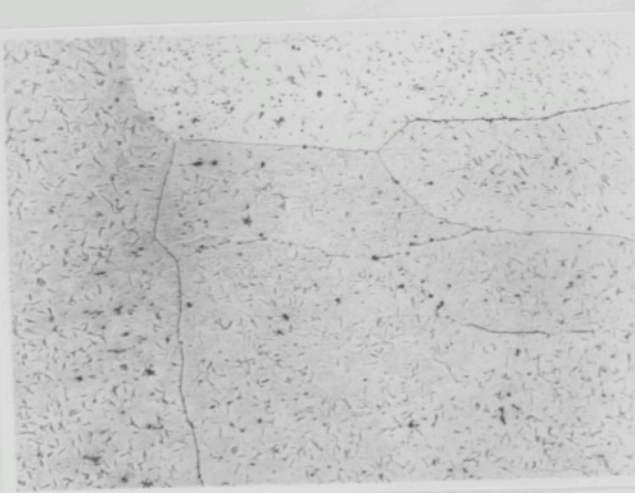
Lepidlo : Nital
Zvětšení : 100x

Tab. 151 Mikrostruktura svařového kova navářeného elektrodou S 44-72
s nevinutým hliníkovým drátem /zkontroluj obvod hliníku
0,74 %/



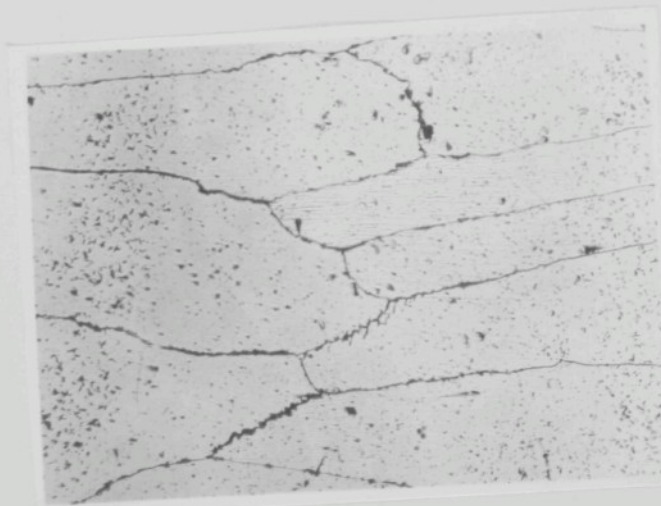
Lepidlo : kyselina
pikrová
Zvětšení : 100x

Tab. 152 Mikrostruktura svařového kova navářeného elektrodou S 44-
72 s nevinutým hliníkovým drátem /zkontroluj obvod hliníku
0,85 %/



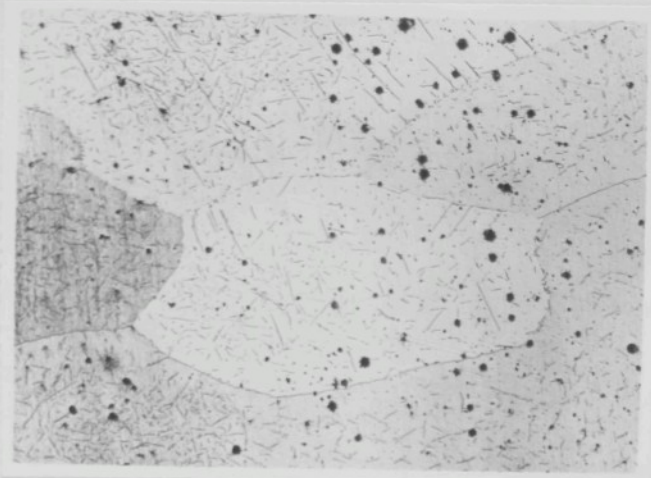
Zapádlo : kyselina
pikrová
Zvětšení : 100x

Obr. 153 Mikrostruktura svařového kovu navářeného jádrem elektrody
E 44.72 s navinutým klinickovým drátem v ochranné atmosfé-
ře argona - 310 /zdechnutý obrub kliniku 5,19 %/



Zapádlo : kyselina
pikrová
Zvětšení : 100x

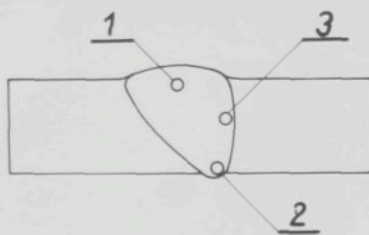
Obr. 154 Mikrostruktura svařového kovu navářeného jádrem elektrody
E 44.72 s navinutým klinickovým drátem v ochranné atmosfé-
ře argona - 310 /zdechnutý obsah kliniku 10,31 %/



Leptátko : kyselina
přírodní
Zvětšení : 100x

Obr. 155 Mikrostruktura svarového kova naváženého jádrem elektrody Z 44.72 s navijatým blíníkovým drátem v ochranné atmosféře argona - VIG /dodatečný obsah kliniku 18,25 %/

Pro ověření možnosti využití vzniklého internetalického žáru E ve struktuře svarového kova byl proveden elektronelektronoskopický rozbor na svářecné Teste 30-242 v Děčínském výsluníku a sklepním řetězu a.s. SKODA Plzeň. Ověření bylo provedeno na vzorku svarového spoje prováděnou elektrody Z 44.83 s normalizovanou blíníkovou vrtnou tloušťkou 0,30 mm, protiče tento vzorek vyhazoval dle obr. 117 - 118 největší množství a nerovnoměrnost struktur /vysoký podíl keramického fází/. Pro porovnání výsledků byl proveden rozbor rovněž u vzorku svarového spoje bez normalizované blíníkové vrtny a u základního materiálu. Elektronovým mikroskopem se zde dovaly oblasti přibližně 2,5 mm v každém svaru, v horizontální směru středu svaru a v přechodové oblasti svarového kova /obr. 156/. Pracovalo se metodou ohližových kopírek, které byly snímány elektrolyticky. Vzorky se předem elektrolyticky leštily pipeton V20 4P a leptaly nitanem. Všechny obrázky odpovídají zvětšení 8000 x, výjma obr. 177, kde zvětšení je 20 000x.



Obr. 155 Struktury svařovacích míst pro elektroondiskopický výzkum

Na obr. 157 - 161 jsou uvedeny struktury svařovacího kova v místě "1" (horní partie středu svaru) u všorin bez nanášení lemované kliníkové vstavy na sákladním materiálu. Struktura v této oblasti je ve všech případech feriticko perlítická.

Na obr. 162 - 165 jsou struktury pro tentýž vzorek v místě "2" (bočen svaru). Struktura je rovněž feriticko perlítická.

Na obr. 166 - 168 jsou pak uvedeny struktury v místě "3" (přechodová oblast svařovacího kova). Struktura je feriticko perlítická.

Na dalších obrázcích jsou pak uvedeny výsledky elektronovýmikroskopického výzkumu všorin svařovacího spoje, kdy sákladní materiál byl na povrchu nanetylizován kliníkem a tloušťka vstavby 0,26 mm.

Na obr. 169 - 172 jsou uvedeny struktury v místě "1". Struktura obsahuje ferit, boinit a velmi jemný perlit.

Na obr. 174 - 178 jsou struktury v místě "2". Struktura je feritická s vyprecipitovanými jemnými i hrubšími částicemi, které byly elektronovou difracíí identifikovány jako FeO, jak je uvedeno dále.

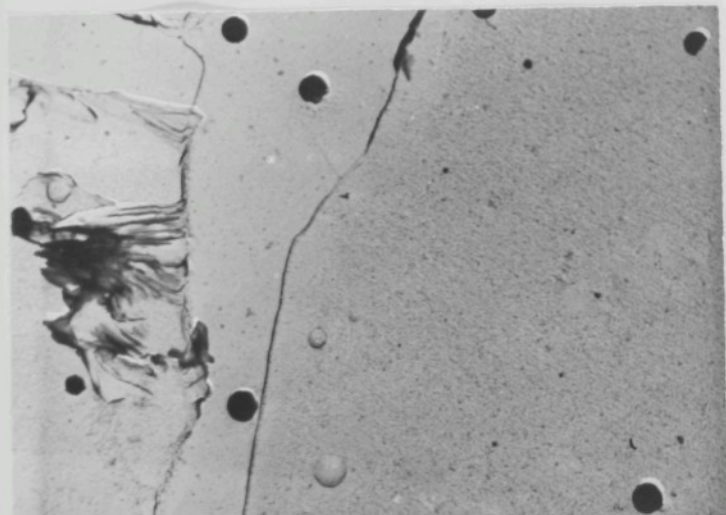
Na obr. 179 - 181 je uvedena struktura v místě "3", která je tvořena feritem, perlitem a bainitem.

Na obr. 182 - 184 je uvedena struktura základního materiálu, která je tvořena feritem a perlitem.

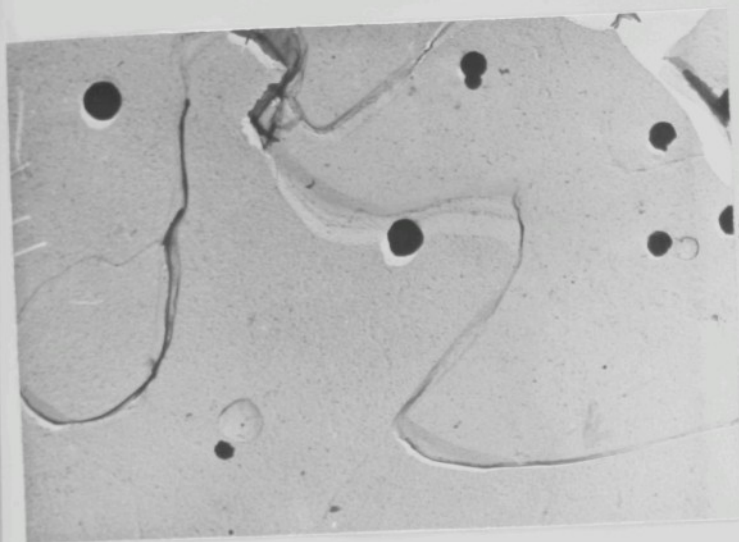
Struktura v přechodu svarového kovu se vztahuje na jediné konkrétní místo. V jiné partii přechodu směrem do svarového kovu může být struktura jiná, i čistě feritická, jak je zřejmě z předchozích mikrosnímků /feritické proužky/. V těchto místech budou pak zřejmě poměry odpovídat poměrům v místě "2".

Kresba patrná ve feritu u ostatních fotografií představuje leptané obrazce.

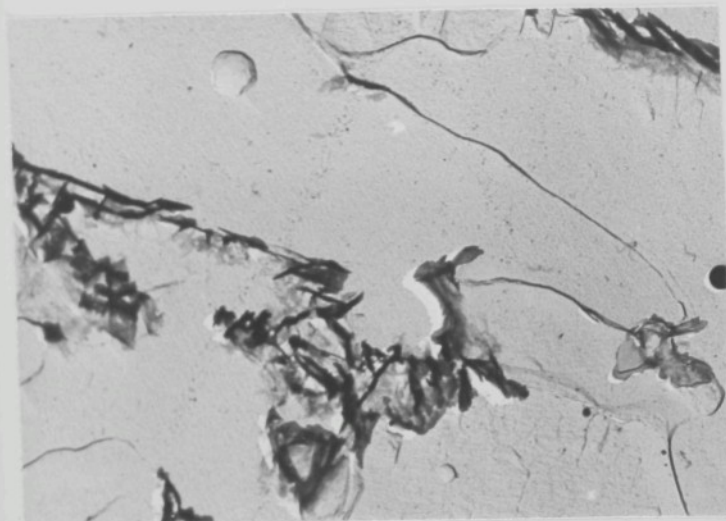
V místech "1" a "2" byla rovněž provedena chemická analýza. V místě "1" bylo zjištěno 0,32 % hliníku, v místě "2" dokonce 2,62 % hliníku.



Obr. 157 Struktura svarového kovu v místě "1" u vzorku bez namatalizované hliníkové vrstvy /elektroda E 44.83/



Obr. 158 Struktura svařovacího kovu v místě "2" a v srovnání bez namě-
talizované klinické výstavy /elektroda S 44.02/

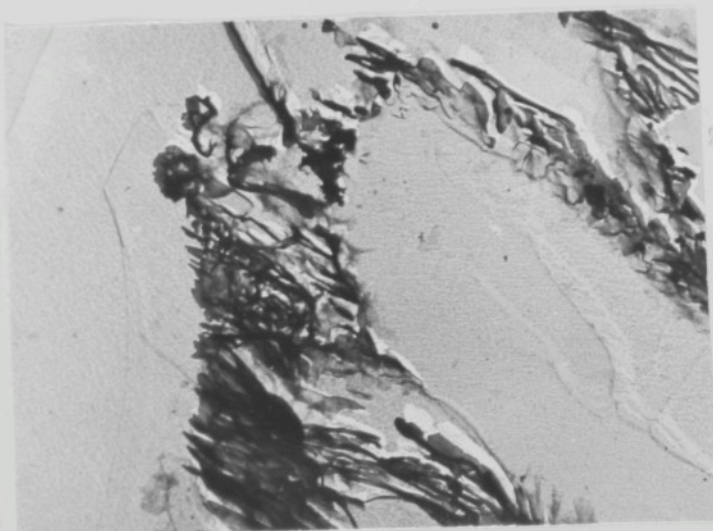


Obr. 159 Struktura svařovacího kovu v místě "2" a v srovnání les namě-
talizované klinické výstavy /elektroda S 44.02/



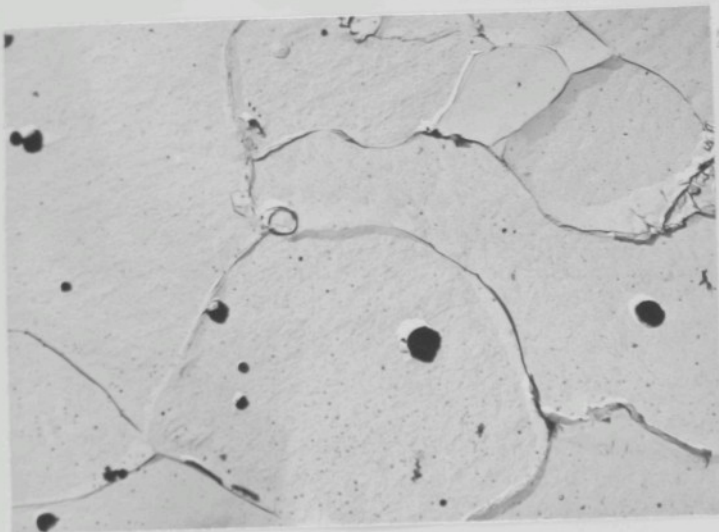
Zvětšení : 8000x

Obr. 160 Struktura sypkového kova v místě "1" u vzorku bez nane-
tolizované hliníkové vrstvy /elektroda č. 44.85/



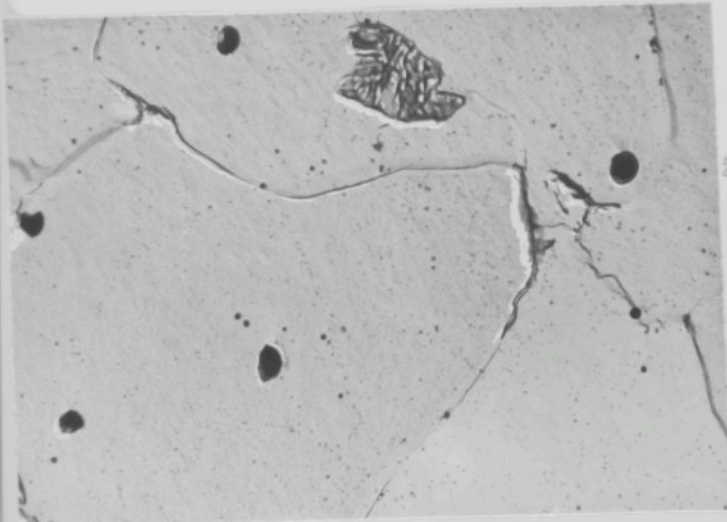
Zvětšení : 8000x

Obr. 161 Struktura sypkového kova v místě "1" u vzorku bez nane-
tolizované hliníkové vrstvy /elektroda č. 44.83/



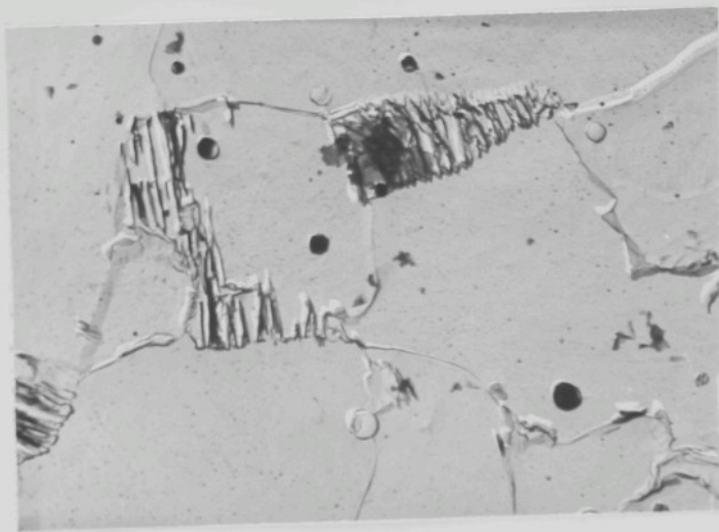
Zvětšení: 8000x

Obr. 162 Struktura svařového kovu v místě "2" /kefén svaru/
u vserku bez namastlinované hliníkové vrstvy /elektro-
da E 44.03/



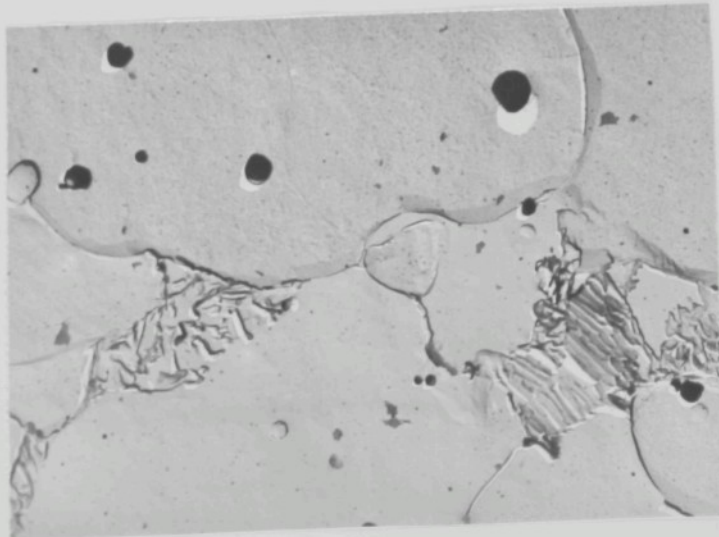
Zvětšení: 8000x

Obr. 163 Struktura svařového kovu v místě "2" /kefén svaru/
u vserku bez namastlinované hliníkové vrstvy
/elektroda E 44.03/



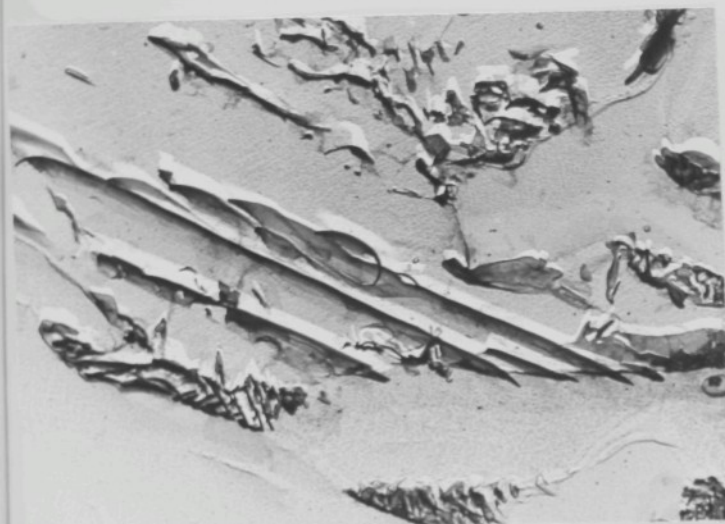
Zvětšení : 800x

Obr. 164 Struktura svařového kova v místě "22" /kořen svaru/
u vrerku bez nametávané hliníkové vrstvy /elektro-
da E 44.83/



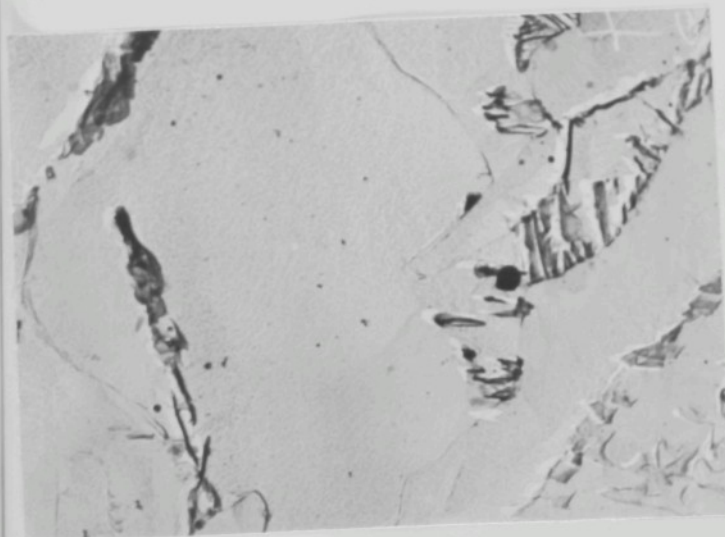
Zvětšení : 8000x

Obr. 165 Struktura svařového kova v místě "22" /kořen svaru/
u vrerku bez nametávané hliníkové vrstvy /elektro-
da E 44.83/



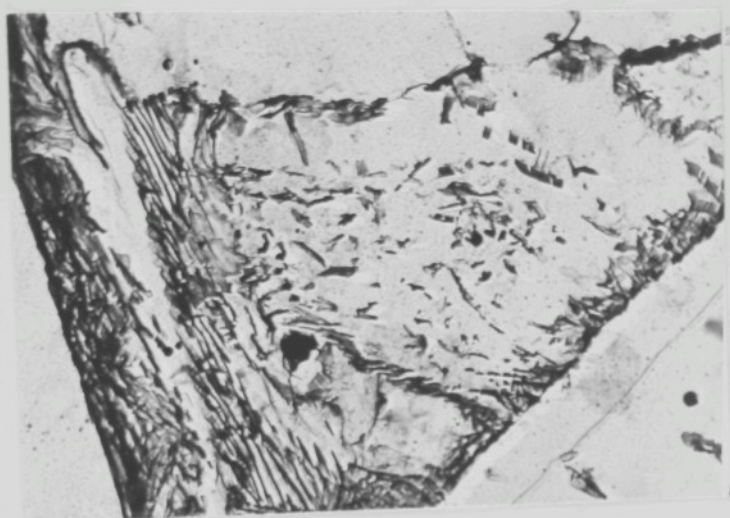
Zvětšení : 3000x

Obr. 166 Struktura svařového kova v místě "3" /přechodová oblast/
v vzorku bez neometalizované klíníkové vrstvy /elektroda
E 44.83/



Zvětšení : 3000x

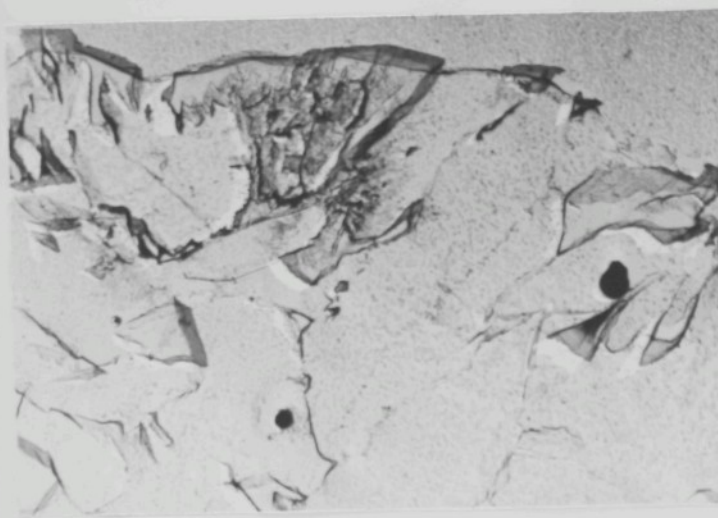
Obr. 167 Struktura svařového kova v místě "3" /přechodová oblast/
v vzorku bez neometalizované klíníkové vrstvy /elektroda
E 44.83/



Obr. 168 Struktura svařového kova v místě "22" /přechodová oblast/
u vršku bez nametallizované hillykové vrstvy /elektroda
E 44.33/

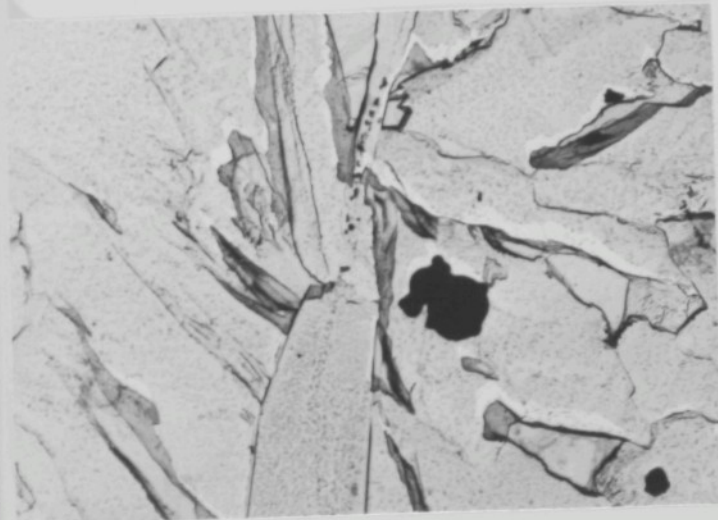


Obr. 169 Struktura svařového kova v místě "11" /střed svaru/
u vršku s nemetallizovanou hillykovou vrstvou s tloušťkou
0,30 mm /elektroda E 44.33/



Zvětšení : 3000x

Obr. 170 Struktura svařového kova v síťči "1" /střed svaru/
u výseku s nonmetalizovanou blikuhevou vrstvou o tloušť-
ce 0,30 mm /elektroda E 44.03/



Zvětšení : 3000x

Obr. 171 Struktura svařového kova v síťči "1" /střed svaru/
u výseku s nonmetalizovanou blikuhevou vrstvou o tloušť-
ce 0,30 mm /elektroda E 44.03/



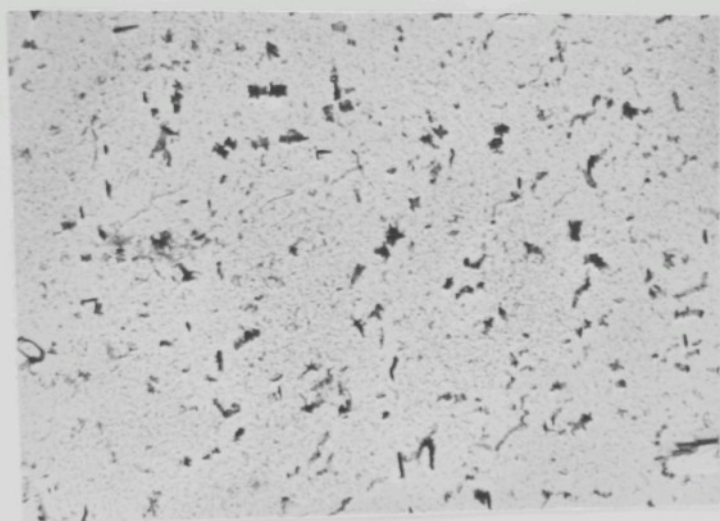
Zvětšení : 8000x

Obr. 172 Struktura svařovacího kova v místě "1" /střed svařu/
u vzorku s nametálovanou klinickou vrstvou o tloušťce
0,30 mm /elektroda E 44.03/



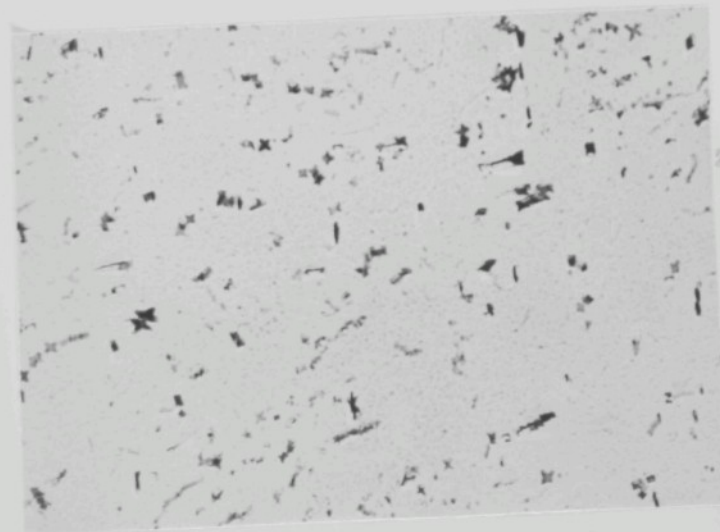
Zvětšení : 8000x

Obr. 173 Struktura svařovacího kova v místě "1" /střed svařu/
u vzorku s nametálovanou klinickou vrstvou o tloušťce
0,30 mm /elektroda E 44.03/



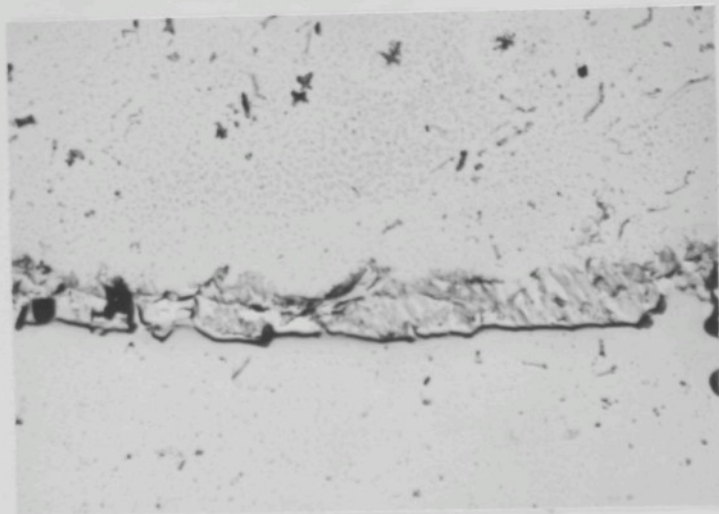
Zvětšení : 2000x

Obr. 174 Struktura svařového kova v místě "2" /kořen svařu/ u vzorku s univerzalizovanou hliníkovou vrstvou o tloušťce 0,30 mm /elektroda N 44.03/



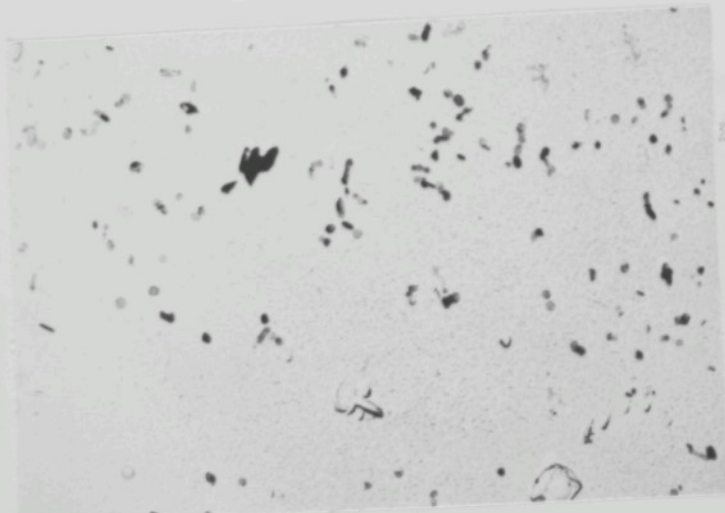
Zvětšení : 2000x

Obr. 175 Struktura svařového kova v místě "2" /kořen svařu/ u vzorku s univerzalizovanou hliníkovou vrstvou o tloušťce 0,30 mm /elektroda N 44.03/



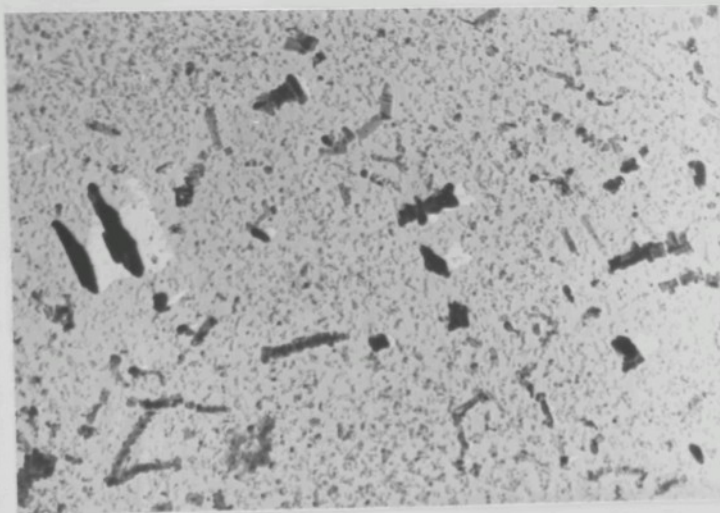
Zvětšení : 2000x

Obr. 176 Struktura svařového kova v místě "2" /koten svařu/
u výrobku s nonmetalickou klíníkovou vrstvou o tloušť-
ce 0,30 mm /elektroda E 44.03/

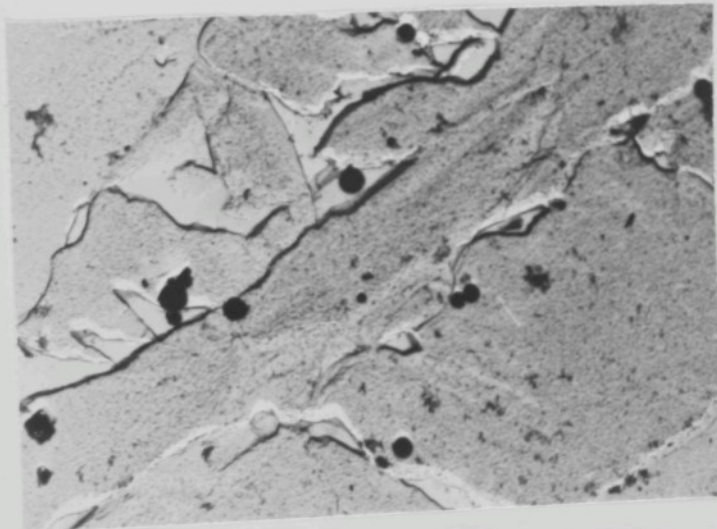


Zvětšení : 2000x

Obr. 177 Struktura svařového kova v místě "2" /koten svařu/
u výrobku s nonmetalickou klíníkovou vrstvou o tloušť-
ce 0,30 mm /elektroda E 44.03/

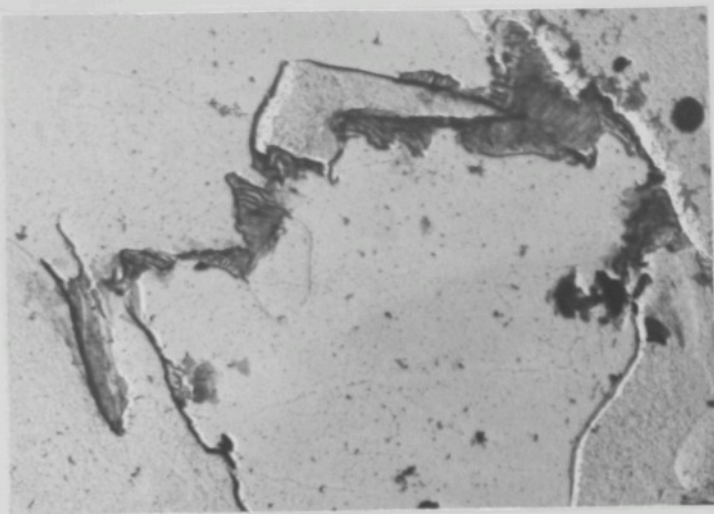


Obr. 178 Struktura svařového kova v místě "2" /kotouč zveru/ u vzorku s unmetalizovanou hliníkovou vrstvou s tloušťkou 0,30 mm /elektroda E 44-83/



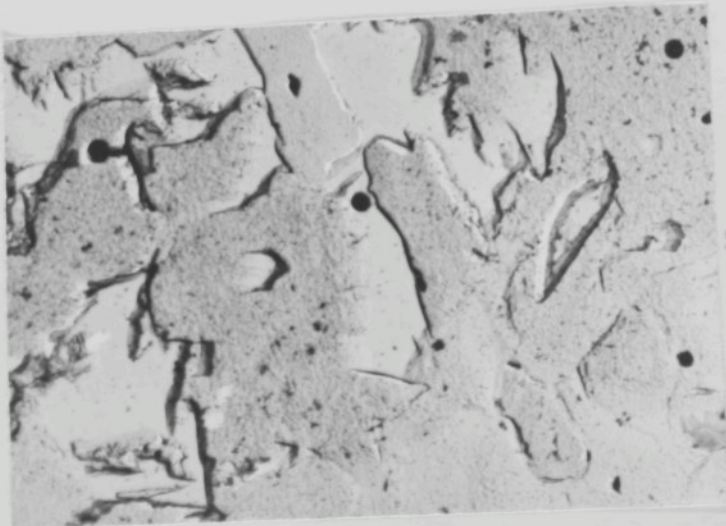
Zvětšení : 8000x

Obr. 179 Struktura svařového kova v místě "3" /niedegeová oblast/ u vzorku s unmetalizovanou hliníkovou vrstvou s tloušťkou 0,30 mm /elektroda E 44-83/



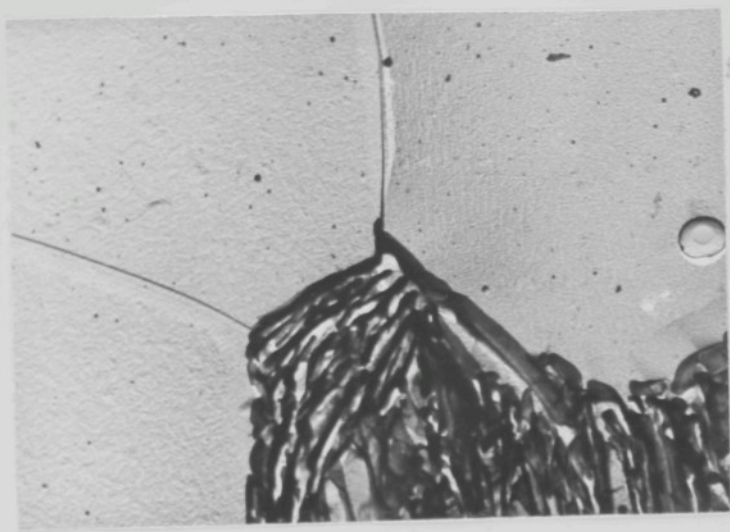
Zvětšení : 8000x

Obr. 180 Struktura svařového kova v zóně "3" /přechodová oblast/ u vserku s unmetalizovanou břidlicovou vrstvou e tloušťce
0,30 mm /elektrode E 44.63/



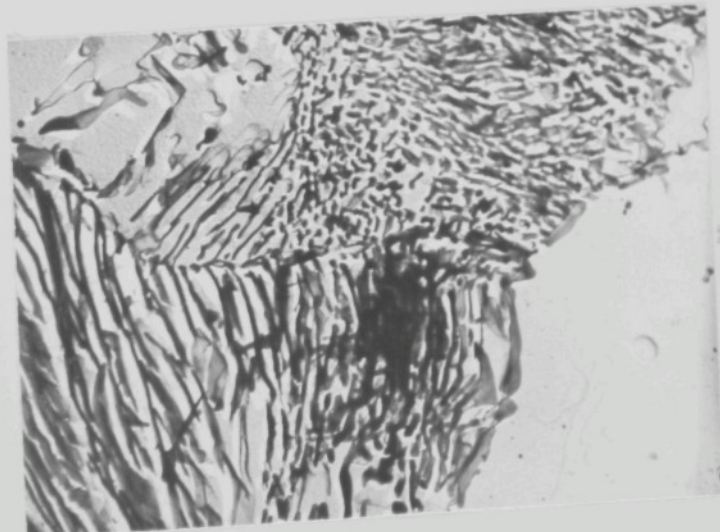
Zvětšení : 8000x

Obr. 181 Struktura svařového kova v zóně "3" /přechodová oblast/ u vserku s unmetalizovanou břidlicovou vrstvou e tloušťce
0,30 mm /elektrode E 44.63/



Zvětšení : 8000x

Obr. 182 Struktura základního materiálu, ČSN 41 1373



Zvětšení : 8000x

Obr. 183 Struktura základního materiálu, ČSN 41 1373

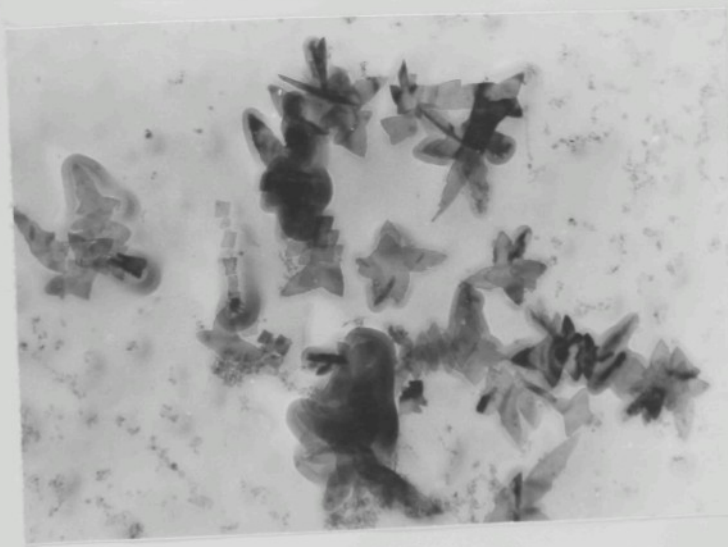


Zvětšení : 3000x

Obr. 184 Struktura sákladního materiálu, ČSN 41 1073

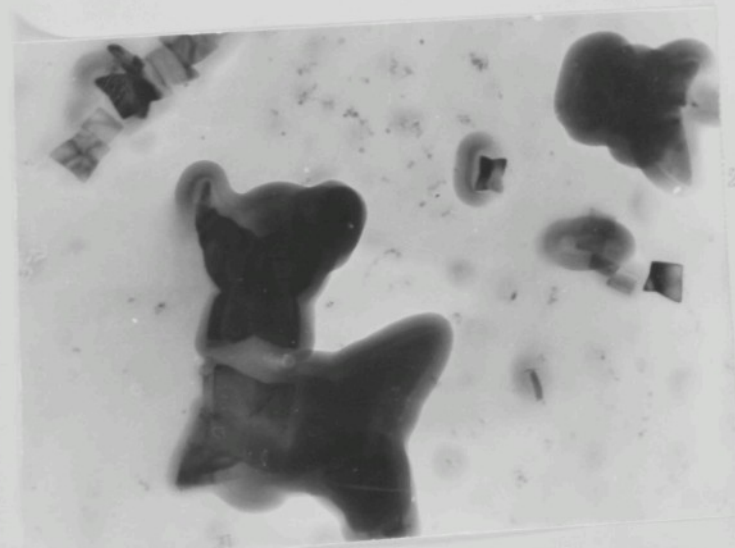
Pro určení morfologie vyprecipitovaných čisticí byl jednotd proveden elektronomikroskopický záber při velkém zvětšení. Byl proveden na Vysoké škole technické v Kožicích na elektronovém mikroskopu JEM 7. Pracovalo se opět metodou uklikových replik.

Na obr. 185 - 189 jsou uvedeny výsledky.



Zvětšení : 125 000x

Obr. 185 Tvar a rozložení vyloučených částic FeO ve ferritu



Zvětšení : 125 000x

Obr. 186 Morfologie vyloučené částice FeO ve ferritu

Zvětšení : 125 000x

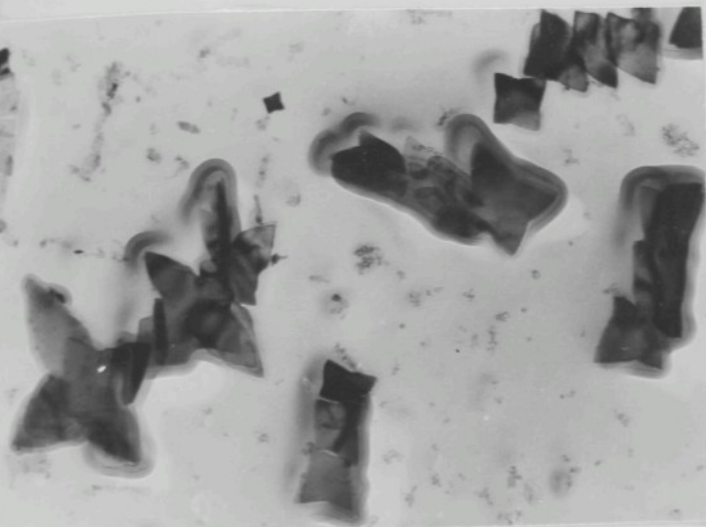


Fig. 187 Morfologie vyloučených částic NbC ve feritu

Zvětšení : 33 000x

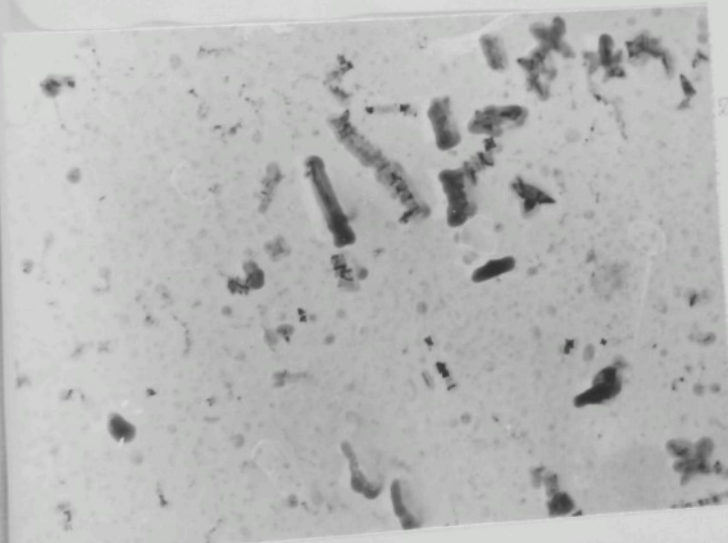
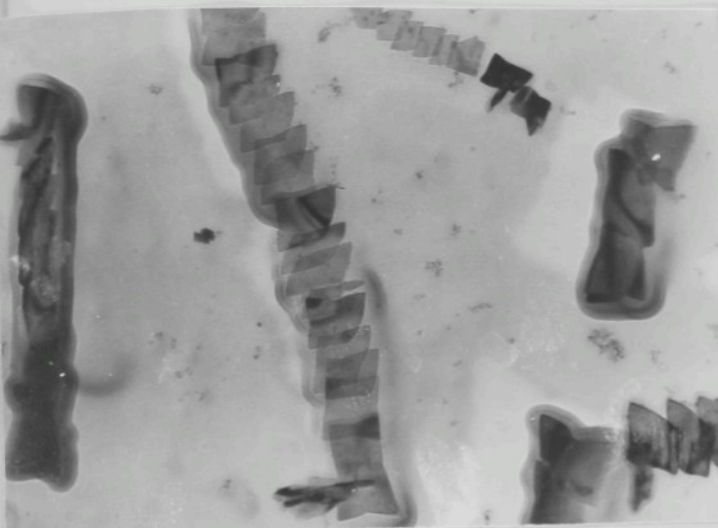


Fig. 188 Tvar a rozložení vyloučených částic NbC ve feritu



Zvětšení : 325 000x

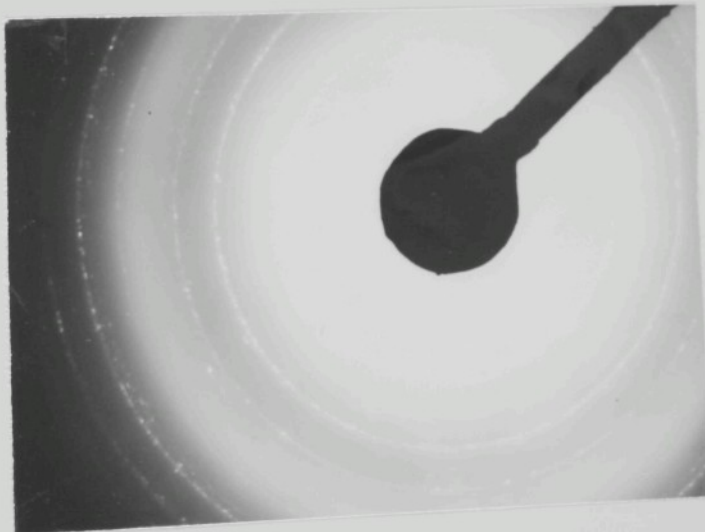
Mr. 189 Precipitaci vyloučených částic BaSO_4 do souvislostího pásu

Na zámořích je vlast kvasiceovitý tvar disperzních částic BaSO_4 .
Mikrokohmeho využití tis. že kryštalinické částice
probíhala při nesouměrném rozložení mimořádcech, v prostředí ze
se nehomogenitě a při značné rychlosti. Vlivem těchto faktorů se
do stejném věku kryštalizace k přednostnemu růstu precipitujících
mikrokohomických částic - vytvořil se kvasiceovitý tvar. Mikroskopie
ve sníru ohlasy - vytvořil se kvasiceovitý tvar. Mikroskopický rozběr a elektronova difrakce ukázaly, že se jedná
o monokristalický, polikristalický tvar, který maximálně bude perafo-
vanou homogenitou maticové feritové fází. V některých místech došlo
k precipitaci těchto částic v řadách, k vytvoření souvislostí pásu.

5.93 Elektronová difrakce, identifikace disperzního precipitátu

Aby bylo možno identifikovat vyprecipitované žártice ve ferzitové hmotě a posoudit možnost vzniku interseparativé fáze byla provedena elektronová difrakce na vzorku s magnetizovanou klinickou vrstvou tloušťky 0,30 mm, v místě "2" v koforu svaru. Difrákční vykreslování bylo provedeno na dvojku na sobě nezávislých pracovních stolcích: Ustříkní výškový a zkoušecí ústav u.p. ŠKODA Plzeň, na elektronovém mikroskopu Tesla B3 242 a Vysocká škola technická, Košice na elektronovém mikroskopu JEM 7.

Na obr. 190 je uveden elektronový difraktogram.



Obr. 190 Difrákční spektrum disperzních žártic ve ferzitové hmotě v místě "2" /kofor svaru/ s vrstvou s magnetizovanou klinickou vrstvou tloušťky 0,30 mm /elektronova mikroskopa B 44.83/

Poznávacím hodnotou měřených interplanárních distancí s hodnotami tablovanými ASTM /tab. 39/ byly disperzní čártice /tzv. kruhové kvádratice/ identifikovány jako kyselíkikrystaly FeO. Růlkový parametr čártic je $a = 4,31 \text{ \AA}$.

Tab. 39 Hodnoty interplanárních distancí vyprecipitovaných čártic FeO, měřené a tablované ASTM.

hkl	Hodnoty interplanárních distancí exp	teoretické /tablované/
111	2,67	2,69
200	2,16	2,15
220	1,32	1,32
311	1,29	1,30
222	1,25	1,24
400	1,07	1,08
331	0,99	0,99
420	0,97	0,96

5.94 Nezložení nedílčet, vlastnosti ve svařovaném kovu

Chemickým rozborom byla zjištěna obsahem Al_2O_3 ve svařovaném kovu, i když v poměrně malém množství /tab. 38, obr. 102/. Aby bylo možno posoudit rozložení a množství disperzního Al_2O_3 , případně dalších nedílčet v jednotlivých blízké slíčkových oblastech svařu, byly provedeny mikrostrukturní analýzy svařovacího kovu bez upevnění, při světlení 100 x a 500x. Na obr. 191 - 193 jsou uvedeny výsledky a vzorku bez konstantizované klinickové vrstvy a s vrstvou tloušťky 0,20 mm.

Množství nedílčet bylo hodnoceno při 100násobném světlení dle ŠČS. U vzorku bez konstantizované klinickové vrstvy odpovídá množství nedílčet stupni 1, u vzorku s konstantizovanou klinickovou vrstvou tloušťky 0,10 a 0,20 mm stupni 2 a u vzorku s konstantizovanou vrstvou tloušťky 0,50 mm pak stupni 4-5, což je nevyhovující.

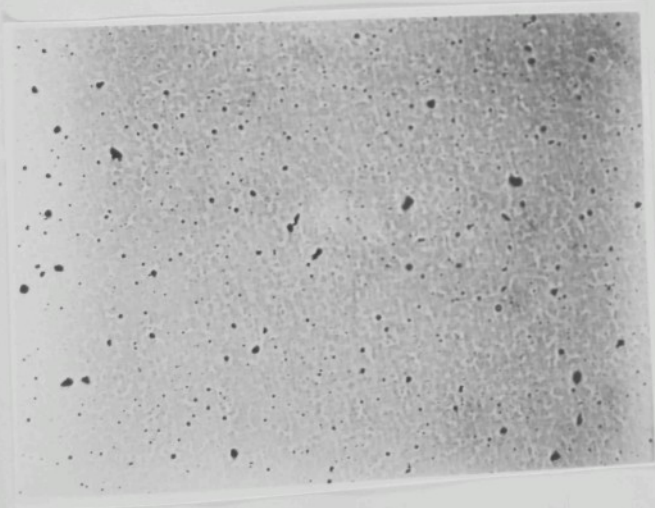
Po dle Korčuleggie lze většinu nedílčet /obr. 193/ identifikovat jako Al_2O_3 a FeO.

zvětšení : 100x



nr. 191 Mikrostruktura svařového kova v worku bez mettalizace
kladíkové vrstvy k určení mezištít /vnistří/ -
elektroda E 44.03

zvětšení : 100x



nr. 192 Mikrostruktura svařového kova v worku s mettalizací
kladíkovou vrstvou tloušťky 0,30 mm k určení mezištít
vnistří /vnistří/ - elektroda E 44.03

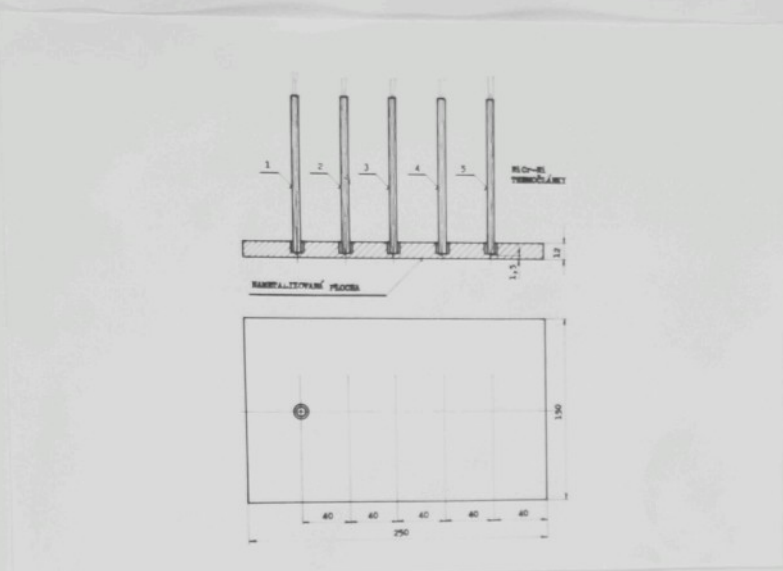
 Žvýkání : 500x

kr. 193 Mikro struktura svařového kovu včetně s metalizovanou bimetalickou vrstvou tloušťky 0,30 mm k určení mezičlenských vlastností - elektroda K 44.03

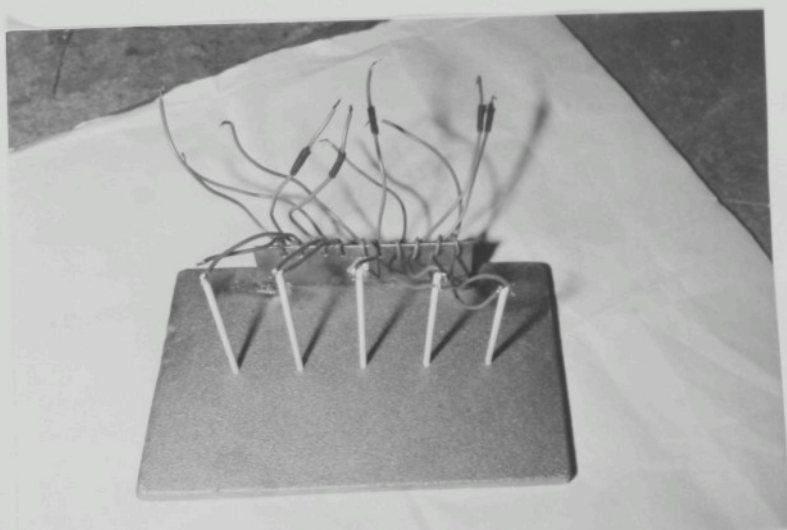
5.10 Svojství přídavného tepložnění vlivem metalizované bimetalické vrstvy na stávání základního materiálu a svařované spoje.

5.101 Teploty dosahované na povrchu základního materiálu při různých tloušťkách metalizované vrstvy.

Aby bylo možné porovnat přídavné čidlo metalizace se stáváním základního materiálu a svařování spoje, bylo provedeno měření svýšek teploty, ke kterému dojde v průběhu metalizace, kdy rozšířené kapilitu očekávaného kova předívají teplo základního materiálu. Tříkrof bylo provedeno na 4 destičkách s rozdílných uvedených na obr. 194, na které byla metalizační pistole AD 1 umístěna vrstva bimatu s tloušťkou 0,04; 0,10; 0,20; 0,30 mm.



kr. 194 Rozložení skubební desky a unikátní termočlánků pro měření svýšení teploty materiálu vlivem vatačování.
teplotná s kuličkovou skubební desky byla nazvána půti Ti Cr-El
termočlánky, jejichž umístění je vidět z obr. 195.



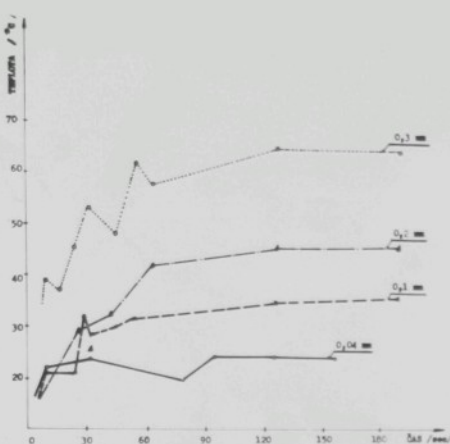
kr. 195 Připevnění termočlánků ke skubebním deskám

gistrace teplet byla prováděna třemi přístroji Vareg /Metra/ a livelotetrem /Metra/ a Servogeren /Elektro GRK - Rekousko/.
zpětadání pracoviště je stejné z obr. 196.

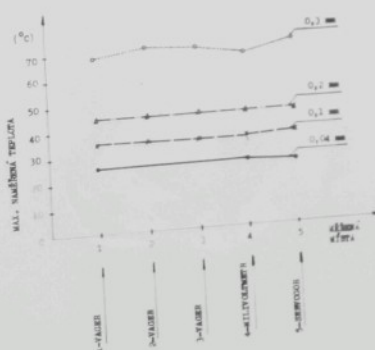


Obr. 196 Uzávěrka pracoviště na měření teplot dírek při se-
stavovací

Průměr měřených teplet je na obr. 197 a maximální koncentrá-
ce teplet na obr. 198.



Obr. 197 Přibývání tepla na povrchu sákladního materiálu, při různých tloušťkách neustále se zlepšující klinickové vztahy



Obr. 198 Maximální decalcifikace teploty v jednotlivých místech zuba

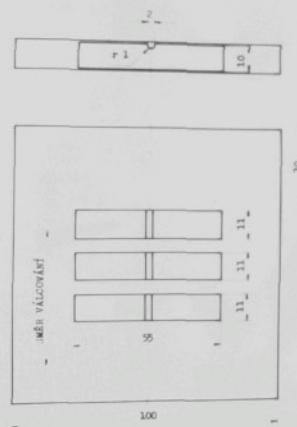
Z uvedených diagramů je vidět, že maximální teploty 70°C dosáhne při tloušťce nametalizované hliníkové vrstvy 0,3 mm, jednostranně. Při uvažování oboustranné metálizace plechů v nezávislostní linii lze předpokládat zvýšení teplot na dvojnásobek. Všem tak silná vrstva nepřichází v úvahu s ohledem na nemožnost řezání kyslíkem /39, 19/ a nevhodující výsledky svařování uvedené v předešlých kapitolách. Realně lze uvažovat s tloušťkou nametalizované vrstvy maximálně cca 0,10 mm, při které lze případě oboustranného nástřiku předpokládat maximální zvýšení teplot povrchu sádlového materiálu na $60 - 70^{\circ}\text{C}$. Při metalizaci hotevního svařeného v případě, že nametalizovaná vrstva by měla tloušťku až 0,30 mm, nebylo by dosaženo vysší teploty než 70°C . Plnil se tedy dříve vyslovený předpoklad, že metalizací dojde en k nepatrnému zvýšení teploty.

Z průběhu teploty je také zřejmé, že její působení na sádlový materiál bude krátkodobé. Teplota s maximální hodnotou může působit nejvíce 4 - 5 minut.

Lze tedy předpokládat minimální vliv na stárnutí. Tento předpoklad byl ověřen ještě zkouškami.

102 Ověření přidavného teplotního vlivu metálizace na stříbrný
materiál s vysokou spec.

Nejprve byla ověřována velikost zářehantí základního materiálu vlivem teploty od metálizace přes sváteční. Záležitost obou stran zámetálizovaná ochycená vrstva hliníku s tloušťkou uvedených tloušťek (obr. 199.).



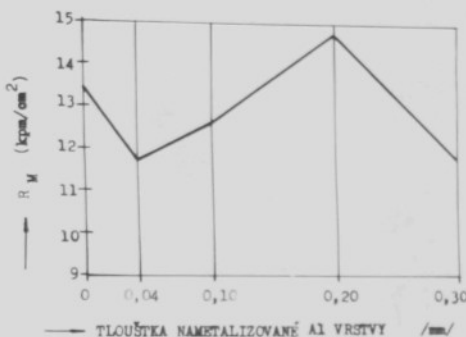
Obr. 199 Zářehantí desky pro ověření vlivu unimetálizované hliníkové vrstvy na zářehantí materiálu

Na tab. 40 jsou uvedeny minimální, maximální a průměrné hodnoty vrubové houževnatosti, dosažené při zkouškách. Z hodnot je vidět, že nedochází k ovlivnění základního materiálu, znělou hodnotu můžeme přidat na vrub rozptýlu.

Tab. 40 Hodnoty vrubové houževnatosti základního materiálu s různou tloušťkou kacetizované břidlicové vrstvy

Tloušťka kacetiz. vrstvy /mm/	Vrubová houževnatost R_H min. až max. průměr
0	<u>11,5 - 14,6</u> 13,4
0,04	<u>10,9 - 12,9</u> 11,7
0,10	<u>10,9 - 15,5</u> 12,6
0,20	<u>14,0 - 16,0</u> 14,8
0,30	<u>10,9 - 12,1</u> 11,7

Na obr. 200 je graficky zobrazen průběh vrubové houževnatosti základního materiálu v závislosti na tloušťce nametalizované vrstvy.

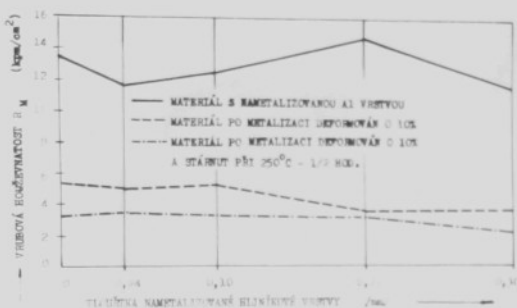


Obr. 200 Průběh průměrných hodnot vrubové houževnatosti základního materiálu v závislosti na tloušťce nametalizované hliníkové vrstvy.

Dále byla ověřována uchylnost základního materiálu předem ovlivněného tepletem od nametalizované hliníkové vrstvy různé tloušťky, k ménělému stáremu. Zkoušky byly provedeny tak, že pružiny a deformace, vyvolané svařováním, byly nahrazeny stlačením výšek o 10 %, kdežto účinek tepla obouciky byl nahrazen snížením působení teplem /250°C - 0,5 hod. - vzduch/.

Tímto pestříškem stav materiálu ovlivněného nejprve teplem a nametalizované hliníkové vrstvy a pak procesem svařování /nahrazením deformací a teplotou pálení/. Zkušební vrubová těleska byla odstraněna a dásek pro předchozí zkoušku, které byly po nametalizování deformovány, stáruhny a přeráženy. Na tab. 41 jsou uvedeny průměrné hodnoty vrubové houževnatosti, mískené ze zkoušek. Z výsledků je opět zřejmé, že k ovlivnění nedojede.

Na obr. 201 je graficky znázorněn průběh získaných průměrných hodnot vrubové houšťnatosti.



Obr. 201 Průběh průměrných hodnot vrubové houšťnatosti základního materiálu ovlivněného nametalizovánem hliníkovou vrstvou a uměle stárnutým

Konečně byl ještě ověřován vliv nametalizované hliníkové vrstvy na proces stárnutí základního materiálu a svařového spoje po svaření. Tento případ přichází v úvahu při metalizaci hrotových svařenců.

Zkuška byla prováděna tak, že skúšební desky pro zkoušku svařitelnosti vývojových coeli dle ČSN 05 1312 byly nametalizovány, svařeny a pak znova nametalizovány. Z těchto desek byla pak vznata skúšební těleska. Zkuška byla provedena jen s těleskem nametalizované hliníkové vrstvou 0,30 mm, kde lze sčekávat největší ovlivnění, a pro elektrodu E 44.83.

Výsledky zkoušky jsou na tab. 42. Z výsledků vyplývá, že ani v tomto případě nedojde k ovlivnění.

Tab. 42 Hodnoty vrubové houževnatosti svarového spoje ovlivněného dědatskou metalizací kliníkem s tloušťkou 0,30 mm

Vzdálenost od osy přechodu /mm/	Hodnota vrubové houževnatosti R_u (kpm/cm ²)	
	Svarový spoj bez dědatského ov- livnění	Svarový spoj ovlivněn metalizací s tloušťkou 0,30 mm
~ 1,5	5,0	5,1
0	4,3	4,0
1,5	2,9	3,0
3	12,1	15,3
4,5	11,5	10,9
6	12,0	11,5
8	12,1	12,8
10	13,6	13,4
12	15,0	14,0
15	13,2	14,5
18	13,5	13,6
21	13,8	14,0

5.11 Rozbor vyslovených výsledků a závěry

Následou provedených zkoušek měla být ověřena tvrzení a domněnký vyslovené v teoretické části kandidátské práce. Výsledky zkoušek většinu teoretických závěr potvrdily.

Provedené zkoušky potvrdily maximální vliv nametalizované hliníkové vrstvy na metalurgické děje při tavném svařování elektrodami, jak bylo předpokládáno v teoretické části práce a vliv této na mechanické vlastnosti svařového kova a speje.

V dalším je proveden poárobný rozbor vyslovených teoretických závěrů.

5.111 Vliv nametalizované hliníkové vrstvy na ionizaci elektrického oblouku

Vlivem nametalizované hliníkové vrstvy dochází k podstatnému zvýšení stability oblouku. Se zvětšující se tloušťkou vrstvy se poměry shorňují, vlivem zvětšujícího se obsahu Al_2O_3 v nástřiku a vlivem vzniku většího množství Al_2O_3 okysličováním kevového hliníku při svařování. Důkazem vzniku většího množství Al_2O_3 při zvětšující se tloušťce nametalizované hliníkové vrstvy je zjištěny zvětšující se jeho obsah ve svarevném kovu (obr. 103), zvláště u elektrod kyselých. Dochází také k výhořívání hliníku, výšimu většího množství plynu, vloni tavné lázně při větších tloušťkách nametalizované hliníkové vrstvy, což vše podstatně zhorňuje stabilitu elektrického oblouku. Svařec, aby zlepšil stabilitu oblouku, zvýšil proudovou sítěz, což vedlo k zvětšení tepelného otlivu v přechodové oblasti základního materiálu, jak je vidět z mikro a makrostruktur (obr. 63 - 102/), kde se projevilo zhybnutí struktury a zvětšení šířky této oblasti. Do tloušťky nametalizované hliníkové vrstvy 0,10 mm byl tento vliv celkem nepatrný. S ohledem na to, že zkoušky se prováděly na zkušebních deskách, které neměly nametalizované i návarové hranu /1 na nich byla tloušťka vrstvy stejná jako na povrchu plechu/, budou v případě návarových hran bez ohružené hliníkové vrstvy poněkud podstatně lepší. Dohadečně prováděnými zkouškami potvrdily.

5.112 Vliv nametalizované hliníkové vrstvy na deoxydaci, krystalizaci, strukturu a chemické složení svarového kova a vliv vlastností na mechanické vlastnosti svaru
petrálky

Právě uvedené akademické petrálky, kdy působení nametalizované hliníkové vrstvy na metalurgické děje při výrobním procesu, hlavně průběhem metalurgických činností v mikroobjektech a rychlosti tahu. Hliník v kovové formě a Al_2O_3 , působí hlavně v kapičkách kova a částech tavné lázně v oblasti bezprostředního jejich styku s nametalizovanou hliníkovou vrstvou. Dílčenem pro tato tvrzení je nerevnoučnost v chemickém složení a struktuře svarového kova.

Průběh reakcí v mikroobjektech mimo jiné podstatně ovlivnil deoxydační působení hliníku. Vznikající kysličníky a Al_2O_3 , půční do tavné lázně s nametalizované hliníkové vrstvy, nejvíce vlastnosti hliníku v kovové formě na růst zrn. Metalografické rozbory petrálky růst velikosti zrn a mechanické zkoušky pak nepřesnivý vliv tehotné na mechanické hodnoty. Výsledky uváděné Bernem a Kochem /chr. 7/ a naše závěry v teoretické části práce /str. 34/ se zkouškami plně potvrzily.

Průběh metalurgických reakcí byl maximálně ovlivněn změnou viskozity nataveného kova, způsobenou dispergovanými částicemi Al_2O_3 a elektromechanickým rozberem objeveným FeO. Potvrzdilo to opět správnost úvah v teoretické části práce /str. 36 a další/. Zvýšený obsah vnitřní kovové petrálky předpoklády snížení počtu zrníků pro jejich vyplňování /str. 37/. Zvýšená viskozita měla vliv na vznik porů, potvrzdily se úvahy o zvláště nepřesnivých poměrech u kyselých elektrod.

Zkouškami se potvrzdilo nerevnoučné rozložení hliníku ve svarovém kovu. Jeho nejvyšší obsah je v kořenové partií a přechodové oblasti svarového kova, v místech bezprostředního styku kapk kova elektrod a nataveného základního materiálu s nametalizovanou hliníkovou vrstvou. Obsah hliníku v tědru oblastech je násobitě vyšší, než ve středu svaru, jak je zřejmé z tab. 43.

Tab. 43 Obsah hliníku v různých oblastech svaru

Použitá elektroda	Tloušťka nametal. Al vrstvy /mm/	Obsah hliníku	
		ve středu svaru /%	v kořeniu a přechodové oblasti svaru /%
E 44.83	0,04	0,004 - 0,007	0,004 - 0,038
	0,10	0,030 - 0,039	0,140 - 0,340
	0,20	0,120 - 0,220	0,400 - 1,230
	0,30	0,390 - 0,450	0,580 - 2,62
E 44.72	0,04	0,005 - 0,006	0,006 - 0,012
	0,10	0,006 - 0,016	0,200 - 0,240
	0,20	0,010 - 0,310	0,120 - 0,450
	0,30	0,054 - 0,180	0,450 - 0,600

Vlivem změny koncentrace hliníku došlo k změnám struktury, k vzniku velkého množství dispersních precipitátů a to vše prostatně ovlivnilo plastické vlastnosti svarového kovu. Plasticita je závislá na složení a stupni spevnění trubkové roztoky na těsní fáze. Je všeobecně známo, že hliník jako prvek s větším atomovým poloměrem než železo ($r_{Fe} = 1,27 \text{ \AA}$; $r_{Al} = 1,43 \text{ \AA}$) působí unavírání oblasti δ - ferititové. Je jako prvek neisomorfní železu zvětšuje stabilitu δ -fáze. Výsledky metalografických rozboret učinují, že v kořenové partii, kde je největší koncentrace hliníku, došlo také k vytvoření feritické fáze. V přechodové oblasti, v místech, kde došlo k místní koncentraci hliníku, výkonně se souvisejí feritové proužky a oblasti. Projevilo se zde také dálce nepřímé žádinek hliníku ve smyslu snížené rezistivity kyslíku v sítidlové hmotě, která se odrazila v tvorbě FeO při nižších teplotách. Tyto strukturální fáze nevhodné morfologie a velikosti, obsah vlnětek, spůsobují křehkost, zvyšují vnitřní vratby vlněinky v zrnech, v skluzevých rovinách se kromě překážky proti pohybu dislokací a valtanici, materiál ztrácí schopnost k většímu plastickým deformacím - křehke. Křehkost očeli pouzdrová výrazně přechodové teploty k vyššímu hodnotám. Projevilo se to i v našem případě. Přechodové teploty svarového kova z elektrody E 44.83 neovlivněné nametalováním hliníkovou vrstvou je v našem případě cca -50°C , svarového kova z téže elektrody ovlivněného namatalizovanou hliníkovou vrstvou tloušťky 0,10 mm je -40°C . Při vyšším obsahu hliníku je pesim

přescheďové spojety k vyšším hodnotám ještě větší, zkřehnutí houševnatesti.

Ve středu svaru, kde je nízká koncentrace hliniku je strukturně výraznější, jak se také projevilo na výsledku zkoušek vrubové houševnatesti.

Tyto výsledky odpovídají známým zákonitostem zjištěným nejdříve, že tvrdost tuhých roztoků se zvyšuje s výše vnitřního tlaku a s větším atomovým poloměrem než má železo, deformační snadnosť železa a dochází proto k podstatnému zvýšení tvrdesti /73/.

V kořenové partii svaru a v přeschedové oblasti svarového kovu, kde je maximální koncentrace hliníku, došlo ke známě strukturálnímu vzniku feritické fáze, k vytvoření feritických proulíků a k maximálnímu peklesu plasticity. Ve feritové fázi je velké možnosti dispersního precipitátu / FeO , Al_2O_3 /, čímž se zvyšuje vnitřní tlak v trubové dílnce v závesech a vede to k podstatnému snížení plasticity. Tento nepříznivý vliv hliníku na plasticitu svarového kovu potvrdily zavařké chybací zkoušky, návratové zkoušky chybací a hříčkové zkoušky, kde k vzniku trhlin došlo také výdy v přeschedové a kořenové oblasti svaru se zvýšenou koncentrací hliníku.

Intermetalická fáze ϵ nebyla zjištěna ani u vzorku s největší tloušťkou nanatalizované hliníkové vrstvy /0,30 mm/. Zjistěný disperzní precipitát / FeO / má kubickou, plošně centrovou strukturu, parametr mřížky je $a = 4,31 \text{ \AA}$, saturované fáze ϵ má mřížku sice rovnej kubickou, plošně centrovou, ale s parametrem $a = 3,74 \text{ \AA}$. Pro výskyt fáze ϵ byly zdejší vytvořeny podmínky a hlediska chemického složení, zatot jak býlo ověřeno chemickou analýzou, byl maximálně zjištěný obsah hliníku 2,62 % a jak vyplývá z prací Ing. Vyklického /57 - 60/ je možnost její existenci podmíněna koncentrací hliníku 8 %. Této hodnoty zdejší nikdo nebyl dosažen.

Dá se tedy souhrnně říci, že hliník při nižším obsahu zvětšuje podíl feritové fáze, posporuje vznik základních struktur, při vyšším obsahu stabilizuje ferit a způsobuje nepříznivým důsledkem na tavnou lásce tverbu FeO .

Feritevá fáze s vysokým obsahem disperzního precipitátu je svou špatnou plasticitou nejslabším článkem svarového spoje, který usnadňuje iniciaci řízení trhlin.

Je proto k dosažení vyhovujících mechatologických vlastností svarového spoje nutno zamezit vzniku souvislých oblastí ferritové fáze. Podle výsledků zkoušek je nutno uvažovat o maximální tloušťce nanometalizované hliníkové vrstvy 0,10 mm, metalizaci neprovádět na návarevých hranačích, případně je čistit od nástříku. Pro svařování je vhodná pouze elektroda bazická E 44.83.

Hliník může způsobit se metalurgických reakcích neovlivňuje nijak poškození, jak ukázaly zkoušky, proces stárnutí svarového spoje. Rovněž zkoušky prokázaly, že nedochází k žádnému přídatnému tepelnému vlivu nanometalizované hliníkové vrstvy na stárnutí základního materiálu a svarového spoje /u kontových svařených detailech metalizovaných/ předtím tepelně a deformačně ovlivněných.

4. Příprava materiálu a technologie svařování povrchů na sítě klesající zkoušek

Na základě zkoušek a závěrů z nich, lze navrhovat následující opatření a technologii pro svařování materiálu CSM 41 1373 s nanometalizovanou hliníkovou vrstvou:

- a/ Poletovary /plechy, profily apod./ je možno opatřit nanometalizovanou ochrannou hliníkovou vrstvou maximální tloušťky 0,10 mm.
- b/ Metalizaci provádět a co nejkratší vzdálenosti, k dosažení vyhovujících ochranných vlastností, nízkého obsahu Al_2O_3 v nástříku.
- c/ Metalizaci provádět na pokud možno celých kulatých plechů, ne na detailech, aby nedošlo k nanometalizování návarevých hrán.
- d/ Kontrolovat čistotu návarevých hrán v případě částečného nanesení hliníkové vrstvy tuto odstranit. U kontových a závěrových spojů pokud je možno odstranit nanesenou hliníkovou vrstvu v místech, kde bude vytvořen kontový svar.
- e/ Svařování provádět bazickou elektrodem E 44.83, svařovací proužek velit dle průměru elektrody, nepřipustit zvýšování proužku.

7. Použitá literatura

1. Kopeček Radolf a kolktiv :
Tepelné úpravy povrchu kovů
SNTL 1959
2. Příšek :
Nauka o materiálu I/1, I/2
ČSAV 1966
3. Ing. Vállo :
Zkušenosti s ocelí a ostatními kovů
Práce 1952
4. Příšek :
Nauka o materiálu II/1
ČSAV 1959
5. Retrekl, Bitrych, Tanchyna :
Pečevování
SVTL 1966
6. R. Štúriansky - Št. Bobro :
Ranenovacia strojových súčiastok
SVTL Bratislava
7. F. Frejdáček :
Opatření a mechanické úpravy
SNTL 1962
8. R. Kopeček :
Základy nauky o povrchu a jeho úpravě
9. Narodis H. :
Metallizing of Plastics
Reinhold, New York 1960
10. F. Princ :
Stříkání kovů
SNTL Praha 1962

11. Ing. J. Kuncipál a kolektiv :
Svařování ve strojírenství - možnosti aplikace a problémy
SNTL Praha 1967
12. Ing. J. Kuncipál :
Úspory materiálu a pracnosti při svařovaných konstrukcích
Zváranie č. 5 - 1963
13. Ing. J. Kuncipál :
Lighter and Cheaper weldments
Technical Digest 1964, No. 7
14. Ing. J. Kuncipál :
Rozvoj svařování v Leninových závodech v Plzni po r. 1945
Zváranie č. 6 - 1965
15. Vl. Veselý :
Vlastnosti elektrometalizovaných materiálů
Výzkumná zpráva SVÚOM Praha 1962
16. Sýkoraová, Šmejkalecová :
Technicko-ekonomický rozbor menší operační ochrany plechů
metalizací
Výzkumná zpráva SVÚOM Praha 1962
17. Ing. Fiala :
Výhledový sertiment ocelových plechů a pásů
Zpráva VUSTE Praha
18. Ing. O. Medráček, Šindelář :
Zkušení materiálů
19. Nevák :
Vliv povrchových úprav plechů na dělení materiálu fyzáním
kyslikou a svařování
Zpráva SKODA-Plzen, IPRU-ORT, výzkum a technologie svařování,
1966
20. Kolektiv :
Korese za vyšších teplot a ochrana proti ni

21. P. Gröbner :
Koroze oceli a litin v plynném prostředí za vysokých teplot
SNTL 1964
22. Kolektiv :
Ochrana kovových konstrukcí
SNTL 1963
23. Prof. Ing. Dr. Josef Teindl :
Pekáreky v hutnickém pokovování v nezavřených kovech
a elektrolytech
SNTL 1960
24. Sborník :
Koroze a ochrana proti korozi
FVV 1952
25. Prof. Ing. Dr. Josef Teindl :
Koroze kovů a boj proti ní
Orbis 1955
26. Ing. O. Švečepa, Svobodný :
Koroze hliníku a jeho slitin
Práce 1959
27. A. H. Cottrell :
Základy fyziky kovů
SVTL 1962
28. Properties and used of Aluminized steel
separát spol. Nippon Light Metal Company, LTD.
29. Chem. and Industry, r. 1955 č. 10 - článek W.E.Bellarda
30. Ing. Josef Kuncipál :
Vliv povrchových úprav plechů na jednotlivé technologie po-
užití při výrobě svařenou a na ekonomii výroby
Referát kandidátského minima, 1967
31. Doc. Ing. I. Hrivňák GSc :
Teorie svařitelnosti měkkých ocelí
Zváranie r. 1967, č. 7-8

21. P. Gröbner :
Koroze ocelí a litin v plynárném prostředí za vysokých teplot
SNTL 1964
22. Kolektiv :
Ochrana kovových konstrukcí
SNTL 1963
23. Prof. Ing. Dr. Josef Teindl :
Pekraky v hutnickém pokrovování v nezastavených kovech
a elektrolytech
SNTL 1960
24. Sborník :
Koroze a ochrana proti korozi
FVV 3952
25. Prof. Ing. Dr. Josef Teindl :
Koroze kovů a boj proti ní
Orbis 1955
26. Ing. O. Šveřepa, Svobodný :
Koroze hliníku a jeho slitin
Práce 1959
27. A. H. Cottrell :
Základy fyziky kovov
SVTL 1962
28. Properties and used of Aluminized steel
separát spcl. Nippon Light Metal Company, LTD.
29. Chem. and Industry, r. 1955 č. 10 - článek W.E.Bellarda
30. Ing. Josef Kancipál :
Vliv povrchových úprav plechů na jednotlivé technologie po-
užití při výrobě svařenou a na ekonomii výroby
Referát kandidátského minima, 1967
31. Doc. Ing. I. Hrivňák ČSc :
Teorie svávitelnosti měkkých ocelí
Zváranie r. 1967, č. 7-8

32. Ing. J. Vrtěl CSc :
Sdílení s jeho vztah k svařitelnosti
Zváranie, r. 1967, č. 7-8
33. Akad. prof. Ing. Dr. J. Čubelka :
Metalurgická svařitelnost některých konstrukčních ocelí
ČAV - Bratislava 1968
34. Akad. prof. Ing. Dr. J. Čubelka :
Metalurgická svařitelnost některých konstrukčních ocelí
ČAV - Bratislava 1968
35. P. Šicha :
Vlivy metalurgických faktérů na spárovitost ocelí ke svaře-
vání
Zváranie r. 1967, č. 7-8
36. Doc. Ing. V. Pileus CSc :
Svařitelnost konstrukčních ocelí novětské výroby Vlt 3
a pohromadě s dcl. ocelení II 373 a II 458
SKODA Plzeň, 1967, TIZ 820
37. Doc. Ing. V. Pileus CSc :
Svařitelnost nízkolehových ocelí pro dynamicky namáhané
konstrukce
Zváranie, r. 1967, č. 7-8
38. Prof. Ing. J. Keutschý DrSc, doc. Ing. V. Pileus CSc :
Výběr nízkouhlinitých a nízkolehových ocelí o pevnosti
27 a 52 kp/mm² pro dynamicky namáhané svařované konstrukce
SKODA Plzeň, Technika a ekonomika SKODA, r. 1967, č. 2
39. Doc. Ing. V. Pileus CSc, Ing. J. Václav :
Nízkolehové konstrukční oceli s přidanou Ni a Cr pro dy-
namicky namáhané svařované konstrukce kolejových vozidel
SKODA Plzeň, 1968, TIZ 850
40. Ing. J. Tauchan :
Ověřování metalurgické svařitelnosti nízkouhlíkových a níz-
kolehových ocelí pro elektrické lokomotivy
SKODA Plzeň, závod El.lokomotivy, dílčí správa k účelu
č. Po 456-4319
41. Prof. Ing. J. Keutschý DrSc, doc. Ing. V. Pileus CSc, Šmid :
Vlastnosti svařitelných nízkolehových ocelí používaných
při stavbě kolejových vozidel
Strojírenství 1966, č. 6

42. Doc.Ing.V.Pileus CSc :
Konstruktér a tavné svařování ocelí
SNTL Praha, 1961
43. Akad.prof.J. Čabelka :
Význam studia fyziky kovů pro svařování
Zváračský sborník r. 1962, č. 1
44. Ing. I. Hrívňák CSc :
Metalurgická svářitelnost některých konstrukčních ocelí
Zváračský sborník r. 1962, č. 3, 4
45. Ing. J. Vrtěl CSc :
Svářitelné oceli pro blákové nádoby
Zváračský r. 1967, č. 2
46. Ing. J. Lombardini CSc :
K výroce křehkých lemů
Zváračský r. 1965, č. 5
47. Ing. J. Vrtěl CSc, Ješek, Tykva :
Příspěvek ke studiu precipitací v uhlíkových ocelích
modifikovaných mlettou
Kovové materiály, r. 1965, č. 3
48. Ing. J. Vrtěl CSc :
Vliv deformačního stárnutí na mechanické vlastnosti uklid-
něných jednosrnných ocelí
Kovové materiály, r. 1965, č. 6
49. Ing. J. Vrtěl CSc :
Změny mechanických vlastností uhlíkové oceli vyvolané
stárnutím
Kovové materiály, r. 1966, č. 3
50. Ing. J. Vrtěl CSc :
Zkrhuati jako kriterium odolnosti proti stárnutí odlišné
dezoxidovaných ocelí
Hudnické listy, r. 1967, č. 5
51. Prof.Dr.Ing.Faltus a kolektiv :
Příručka svařování 1, 2, 3. díl
SNTL Praha

52. Ing.P.Jehoš, Klestil :
Mechanické charakteristiky u mikrodeformací v oblasti
cyclicky znevázaného železa /
Kovové materiály, n. 1966, č. 4
53. Prof.v.Secte :
Souditelnost, mechanický problém
Zváranie, n. 1967, č. 7-8
54. Snällman R.B. :
Hedčení měděných kovů
55. Ing.J.Pluhař, Keritt :
Cerajicové materiály
SNTL Praha, 1966
56. Büniger G.H. :
Slitinu železa s hliníkem - výroba speciálních edlitík
SNTL Praha, 1957
57. Ing.Dr.Pluhař, Ing.Vyklický :
Vlastnosti žáruvzdorné slitiny ČSN 42 2484 /Pyroforal/
a její použití
MTP, Technické správy 189, Praha 1959
58. Ing.Dr.Pluhař :
Karbidecké žáruvzdorné slitiny železa s hliníkem
Přečítány o výhodách našeho hutnického a slévárenství
SNTL Praha, 1956
59. Ing.Dr.Pluhař, Ing.Vyklický :
Upravené žáruvzdorné slitiny pro teploty nad 300°C
Slévárenství 1954, č. 4, Práce řed. výzkumu slévárenství č. 1
60. Ing.H.Vyklický, Ing.Pluhař :
Krystalizace technických slitin Fe-Al-C v oblasti tvrdého
rostlinky
Hutnické listy 1959, č. 2
61. Neubärentz E. :
Handbuch der Sonderstahlschlacken - Band I, II
Berlin, Springer - Verlag 1956
62. Metals Handbook
American Society for Metals, Cleveland 3, Ohio 1948

63. Sase, Horn :
Aluminum in Iron and Steel
J.Wiley & Sons, Hongkong 1953
64. Doc. Ing. L. Lakateš :
Metalurgické problémy obecněho svařovacího procesu
Zváranie r. 1969, č. 9-10
65. J. Vádrma :
Příspěvek k objasnění příčin půrovnitosti svařovacího kova
Zváranie r. 1969, č. 9-10
66. T. Myslivec :
Fyzikálně chemické základy ocelářství
SNTL Praha 1965
67. Kolektív :
Vněstky v oceli
SNTL Praha, 1960
68. W. Hume - Rothery :
The Structure of Metals and Alloys
The Institute of Metals, London, 1956
69. Sykes C., Evans H. :
Transformations in Iron-Aluminium Alloys
The Journal of the Iron and Steel Institute 1935
70. Bradley A., Jay A. :
The Formation of Superlattices in Alloys of Iron and Aluminium
Proceedings of Royal Society r. 1932 No 329
71. Bradley A., Taylor :
An X-ray Study of the Iron-Nickel-Aluminium Ternary
Equilibrium Diagram
Proc. Roy Soc. 1928, 1926
72. Rainman J. :
Jakost hrubých plechů z feritických ocelí na tlakové nádoby
presazující za nízkých teplot
Strojírenství r. 1968, č. 12
73. I.E. Kenterovič :
Teplné upravování oceli a litiny číl III. - legované oceli
SNTL 1953